



PROYEK AKHIR TERAPAN – RC 096599

**MODIFIKASI STRUKTUR JEMBATAN PULOREJO-
BLOOTO DENGAN SISTEM BUSUR BOX BAJA DI
KOTA MOJOKERTO**

**LUKI DIA UTARININGRUM
NRP. 3115040504**

**Dosen Pembimbing 1
Prof. Ir. M. SIGIT DARMAWAN M.Eng.Sc, Ph.D
NIP. 19630726 198903 1 003**

**Dosen Pembimbing 2
AFIF NAVIR REVANI, ST., MT
NIP. 19840919 201504 1 001**

**PROGRAM STUDI DIPLOMA IV LJ TEKNIK SIPIL
FAKULTAS TEKNIK SIPIL DAN PERENCANAAN
INSTITUT TEKNOLOGI SEPULUH NOPEMBER
SURABAYA 2016**



PROYEK AKHIR TERAPAN – RC 096599

**MODIFIKASI STRUKTUR JEMBATAN PULOREJO-
BLOOTO DENGAN SISTEM BUSUR BOX BAJA DI
KOTA MOJOKERTO**

LUKI DIA UTARININGRUM
NRP. 3115040504

Dosen Pembimbing
Prof. Ir. M. SIGIT DARMAWAN M.Eng.Sc, Ph.D
NIP. 19630726 198903 1 003

Dosen Pembimbing 2
AFIF NAVIR REVANI, ST., MT
NIP. 19840919 201504 1 001

**PROGRAM STUDI DIPLOMA IV LJ TEKNIK SIPIL
FAKULTAS TEKNIK SIPIL DAN PERENCANAAN
INSTITUT TEKNOLOGI SEPULUH NOPEMBER
SURABAYA 2016**



FINAL PROJECT APPLIED – RC 096599

**STRUCTURE MODIFICATION OF PULOREJO-
BLOOTO BRIDGE IN MOJOKERTO WITH STEEL
BOX ARC SYSTEM**

**LUKI DIA UTARININGRUM
NRP. 3115040504**

**Counsellor Lecturer 1
Prof. Ir. M. SIGIT DARMAWAN M.Eng.Sc, Ph.D
NIP. 19630726 198903 1 003**

**Counsellor Lecturer 2
AFIF NAVIR REVANI, ST., MT
NIP. 19840919 201504 1 001**

**DIPLOMA IV CIVIL ENGINEERING STUDY PROGRAM
FACULTY OF CIVIL ENGINEERING AND PLANNING
SEPULUH NOPEMBER INSTITUTE OF TECHNOLOGY
SURABAYA 2016**



FINAL PROJECT APPLIED – RC 096599

**STRUCTURE MODIFICATION OF PULOREJO-
BLOOTO BRIDGE IN MOJOKERTO WITH STEEL
BOX ARC SYSTEM**

LUKI DIA UTARININGRUM
NRP. 3115040504

Counsellor Lecturer 1
Prof. Ir. M. SIGIT DARMAWAN M.Eng.Sc, Ph.D
NIP. 19630726 198903 1 003

Counsellor Lecturer 2
AFIF NAVIR REVANI, ST., MT
NIP. 19840919 201504 1 001

**DIPLOMA IV CIVIL ENGINEERING STUDY PROGRAM
FACULTY OF CIVIL ENGINEERING AND PLANNING
SEPULUH NOPEMBER INSTITUTE OF TECHNOLOGY
SURABAYA 2016**

LEMBAR PENGESAHAN

PROYEK AKHIR

Diajukan Untuk Memenuhi Salah Satu Syarat
Memperoleh Gelar Sarjana Sains Terapan
Pada
Program Studi Lanjut Jenjang DIV Teknik Sipil
Fakultas Teknik Sipil dan Perencanaan
Institut Teknologi Sepuluh Nopember

Surabaya, Juli 2016

Disusun Oleh :

Mahasiswa



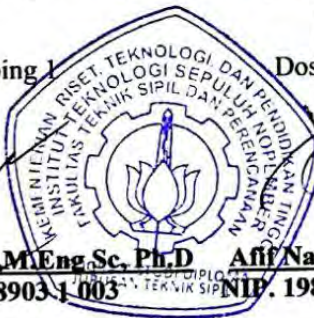
Luki Dia Utariningrum
NRP. 3115040504

Disetujui oleh pembimbing proyek akhir :

29 JUL 2016

Dosen Pembimbing 1

Dosen Pembimbing 2



Prof. Ir. M. Sigit D., M. Eng. Sc., Ph.D **Affif Navir Revani, ST, MT**
NIP. 19630726 198903 1 003 **NIP. 19840919 201504 1 001**

**LEMBAR PERNYATAAN
PERSETUJUAN PUBLIKASI KARYA ILMUAH
UNTUK KEPENTINGAN AKADEMIS**

Sebagai mahasiswa Institut Teknologi Sepuluh Nopember Surabaya, yang bertanda tangan di bawah ini saya:

Nama : LUKI DA UTARININERUM
Nrp : 3115040504
Jurusan / Fak. : LI DA TEKNIK SIPIL / FTSP
Alamat Kontak : Jl. KELUD 12/18 WATES MODOKERTO
a. Email : lukidias@gmail.com
b. Telp/HP : 0857 3587 2299

Menyatakan bahwa semua yang saya *upload* di Digital Library ITS merupakan hasil final (revisi terakhir) dari karya ilmiah saya yang sudah disahkan oleh dosen penguji. Apabila dikemudian hari ditemukan ada ketidaksesuaian dengan kenyataan, maka saya bersedia menerima sanksi.

Demi perkembangan ilmu pengetahuan, saya menyetujui untuk memberikan **Hak Bebas Royalti Non-Eksklusif (Non-Exclusif Royalti Free Right)** kepada Institut Teknologi Sepuluh Nopember Surabaya atas karya ilmiah saya yang berjudul:

MODIFIKASI STRUKTUR JEMBATAN PALUREJO - BLOTO DENGAN SISTEM BUSUR BOX BATA
DI KOTA MODOKERTO

Dengan Hal Bebas Royalti Non-Eksklusif ini, Institut Teknologi Sepuluh Nopember Surabaya berhak menyimpan, mengalih-media/format-kan, mengelolanya dalam bentuk pangkalan data lain untuk kepentingan akademis tanpa meminta ijin dari saya selama tetap mencantumkan nama hukum yang timbul atas pelanggaran Hak Cipta dalam karya ilmiah saya ini tanpa melibatkan pihak Institut Teknologi Sepuluh Nopember Surabaya.

Demikian pernyataan ini saya buat dengan sebenarnya.

Dibuat di : Surabaya
Pada tanggal :
Yang menyatakan, 29 Juli 2016

Dosen Pembimbing 1 :
Dosen pembimbing 2 :
Prof. Ir. M. Sidiyasa, ST., MT
Z. Navir Kevani, ST., MT
NIP. 196507261989031001
NIP. 198409192015041001

Luki Da U.
Nrp 3115040504

KETERANGAN:
Tanda tangan pembimbing wajib dibubuhi stempel jurusan.
Form dicetak dan diserahkan ke bagian Pengadaan saat mengumpulkan hard copy TA/Tesis/Disertasi

MODIFIKASI STRUKTUR JEMBATAN PULOREJO-BLOOTO DENGAN SISTEM BUSUR BOX BAJA DI KOTA MOJOKERTO

Nama Mahasiswa : Luki Dia Utariningrum
NRP : 3115040504
Jurusan : Diploma IV Lanjut Jenjang
Teknik Sipil FTSP ITS
Dosen Pembimbing 1 : Prof.Ir.M.Sigit D.,M.EngSc, Ph.D
Dosen Pembimbing 2 : Afif Navir Revani, ST., MT

ABSTRAK

Dalam perancangan dan perencanaan struktur jembatan, kekuatan struktur merupakan hal utama yang harus diperhatikan dalam mendesain suatu jembatan. Struktur yang kuat dapat menjadi tolok ukur bagaimana kelayakan jembatan untuk digunakan. Pada perencanaan jembatan ini, akan dibahas mengenai perencanaan struktur atas yang akan dihitung sesuai dengan standar pembebanan untuk jembatan (RSNI T-02-2005), perencanaan struktur baja untuk jembatan (RSNI T-03-2005), perencanaan struktur beton untuk jembatan (RSNI T-12-2004), dan peraturan gempa untuk jembatan (RSNI 2833-201X). serta akan dibahas mengenai metode pelaksanaan pada pembangunan jembatan pulorejo-blooto secara singkat.

Dalam tugas akhir ini akan direncanakan struktur jembatan menggunakan sistem busur box baja. Struktur yang akan direncanakan adalah jembatan yang terletak di wilayah kelurahan Prajurit Kulon Kota Mojokerto, jembatan ini yang akan nanti nya menghubungkan dua wilayah yaitu desa Pulorejo dan desa Blotoo. Kelebihan menggunakan metode ini, antara lain jembatan mampu mengurangi kebutuhan pilar, dan estetika bentuk fisik pada jembatan menjadi nilai tambahan dalam modifikasi jembatan

tersebut. Untuk keperluan Tugas Akhir Terapan diprogram studi Lanjut Jenjang D4 Teknik Sipil ini, jembatan direncanakan dengan bentang sepanjang 130 meter. Diharapkan dengan menggunakan Sistem busur Box baja ini dapat diaplikasikan dan bermanfaat bagi diri sendiri sesuai dengan standar peraturan yang ada.

Kata Kunci : Jembatan Busur, Box Baja

STRUCTURE MODIFICATION OF PULOREJO-BLOOTO BRIDGE IN MOJOKERTO WITH STEEL BOX ARC SYSTEM

Name : Luki Dia Utariningrum
Register Number : 3115040504
Faculty : Diploma IV LJ Teknik Sipil FTSP ITS
Counsellor Lecturer 1 : Prof.Ir.M.Sigit D.,M.EngSc, Ph.D
Counsellor Lecturer 2 : Afif Navir Revani, ST., MT

ABSTRACT

In the design and planning of the bridge structure, the strength of the structure is the main thing that must be considered in designing a bridge. A strong structure to be a measurement of how the feasibility of the bridge to be used. In planning this bridge, will discuss the planning of the structure on which will be calculated according to the standard loading on the bridge (RSNI T-02-2005), planning of steel structures for bridges (RSNI T-03-2005), the planning of concrete structures for bridges (RSNI T-12-2004), and the regulations of the earthquake to the bridge (RSNI 2833-201X). and will discuss the method of exercising on the construction of the bridge Pulorejo-blooto briefly.

In this final project will be planned bridge structure using steel box arc system. The structure to be planned is a bridge located in the village Soldiers Kulon Mojokerto, this bridge which will later connect the two regions of his village and the village Puloorejo Blotoo. Advantages of using this method, among others, reduce the need for bridge pillars, and the aesthetics of the bridge into the physical form of value added in the modification of the bridge. For the purposes of the study Final programmed Applied Civil Engineering Advanced Study D4 is, the bridge is planned with a 130 meter span. The system is expected to use a steel box arc

system is applicable and beneficial to themselves according to the standard rules.

Keywords : Bridge Arc, Box Steel

DAFTAR ISI

ABSTRAK.....	i
KATA PENGANTAR	v
DAFTAR ISI.....	vii
DAFTAR GAMBAR.....	xi
DAFTAR TABEL.....	xiv
DAFTAR NOTASI.....	xvi
BAB I.....	1
PENDAHULUAN	1
1.1 Latar Belakang	1
1.2 Perumusan Masalah	2
1.3 Batasan Masalah	3
1.4 Maksud dan Tujuan.....	3
1.5 Manfaat	4
1.6 Data Perencanaan.....	4
BAB II.....	9
TINJAUAN PUSTAKA	9
2.1 Umum	9
2.2 Elemen – Elemen Struktur Dalam Jembatan Busur	10
2.3 Pembebanan Pada jembatan.....	15
2.4 Perencanaan Struktur Jembatan	22
2.5 Struktur Box Baja	35
2.6 Metode Pelaksanaan Pekerjaan.....	37

2.7	Pemilihan Alat Berat.....	38
BAB III		41
DATA DAN ANALISA		41
3.1	Outline Penyusunan Laporan.....	41
3.2	Data perencanaan	42
3.3	Preliminary desain.....	42
3.4	Analisa pembebanan	47
3.5	Flowchart dan Jadwal.....	56
BAB IV		59
PERENCANAAN STRUKTUR UTAMA		59
4.1	Perencanaan Tebal Pelat Lantai Kendaraan.....	59
4.1.1	Perencanaan Dimensi Pelat.....	59
4.1.2	Pembebanan Pelat Lantai Kendaraan.....	60
4.1.3	Perhitungan Momen.....	61
4.1.4	Perhitungan Penulangan.....	61
4.1.5	Perhitungan Tiang dan Pipa Sandaran.....	67
4.1.6	Perhitungan Kolom Sandaran.....	69
4.2	Perencanaan Balok Memanjang.....	71
4.2.1	Perencanaan Balok Memanjang.....	71
4.2.2	Hasil analisa perhitungan momen.....	74
4.2.3	Analisa kapasitas penampang balok memanjang.....	75
4.2.4	Kontrol kapasitas geser.....	78
4.2.5	Interaksi geser dan lentur.....	79
4.2.6	Kontrol lendutan.....	79

4.2.7	Kontrol Kapasitas Lentur (Sesudah Komposit).....	80
4.2.8	Shear Connector balok memanjang.....	83
4.3	Perencanaan Balok Melintang	88
4.3.1	Perencanaan Balok Melintang.....	88
4.3.2	Hasil analisa perhitungan momen.....	89
4.3.3	Analisa kapasitas penampang balok melintang.....	93
4.3.4	Kontrol kapasitas geser.....	96
4.3.5	Interaksi geser dan lentur.....	98
4.3.6	Kontrol lendutan.....	98
4.3.7	Kontrol Kapasitas Lentur (Sesudah Komposit).....	99
4.3.8	Shear Connector balok melintang.....	101
4.4	Perencanaan Batang Penggantung	106
4.5	Perencanaan Konstruksi Busur	111
BAB V		130
PERENCANAAN STRUKTUR SEKUNDER		131
5.1	Ikatan Angin Atas	131
5.2	Ikatan Angin Bawah	142
5.3	Perencanaan Sambungan	148
5.3.1	Sambungan Gelagar Melintang – Gelagar Memanjang....	148
5.3.2	Sambungan Busur Batang Atas.....	150
5.3.3	Sambungan Busur Batang Bawah.....	151
5.3.4	Sambungan Busur dan Gelagar Melintang.....	153
5.4	Perencanaan Perletakan	155
5.4.1	Perencanaan Perletakan Sendi.....	155
BAB VI.....		163

METODE PELAKSANAAN.....	163
BAB VII.....	169
KESIMPULAN.....	169
DAFTAR PUSTAKA	171

DAFTAR TABEL

Tabel 2.1	Faktor beban akibat gaya rem	18
Tabel 2.2	Faktor beban akibat pembebanan untuk pejalan kaki ...	19
Tabel 2.3	Temperatur jembatan rata-rata nominal	20
Tabel 2.4	Sifat dan bahan rata-rata akibat pengaruh temperatur ...	20
Tabel 2.5	Koefisien seret C_w	22
Tabel 2.6	Kecepatan angin rencana V_w	22
Tabel 2.7	Ukuran minimum las sudut	33
Tabel 3.1	Panjang Penggantung	44
Tabel 3.2	Panjang Penggantung	44
Tabel 3.3	Faktor beban	47
Tabel 3.4	Kombinasi Pembebanan	47
Tabel 4.1	Rekapitulasi pembebanan gelagar memanjang	74
Tabel 4.2	Panjang Penggantung	106
Tabel 4.3	Gaya yang terjadi pada batang penggantung	107
Tabel 4.4	Pembebanan Busur	112
Tabel 5.1	Muller – Breslau	155
Tabel 6.1	Gaya Kabel Penarik Jembatan	167
Tabel 6.2	Gaya Kabel Penahan Temporary Tower	168

“Halaman ini sengaja dikosongkan”

DAFTAR GAMBAR

Gambar 1.1 Peta Lokasi Kegiatan	4
Gambar 1.2 Peta Lokasi Proyek.....	5
Gambar 1.3 Tampak Samping Eksisting	6
Gambar 1.4 Tampak Samping Eksisting	6
Gambar 1.5 Tampak Melintang Abutment Eksisting	7
Gambar 1.6 Tampak Melintang Eksisting	7
Gambar 2.1 Elemen struktur jembatan busur	10
Gambar 2.2 Tipe ” Deck Arch ”	11
Gambar 2.3 Jogakura Ohashi Bridge di Jepang.....	11
Gambar 2.4 Tipe “ Through Arch ”	11
Gambar 2.5 Jembatan Martadipura dalam masa pembangunan ...	12
Gambar 2.6 Tipe ” A Half – Through Arch “	12
Gambar 2.7 Bayonne Bridge di Kota New York Amerika Serikat	13
Gambar 2.8 Beban Lajur” D “	16
Gambar 2.9 Pembebanan truk "T" (500 kN).....	17
Gambar 2.10 Gaya Rem per lajur 2,75m(KBU).....	18
Gambar 2.11 Pembebanan untuk pejalan kaki.....	19
Gambar 2.12 Analisis Posisi Roda Kendaraan	26
Gambar 2.13 Penyebaran beban akibat roda kendaraan	26
Gambar 2.14 Robekan baut terhadap pelat sambung.....	32
Gambar 2.15 Jenis perletakan sendi dapat dibuat dari kontruksi baja.....	34
Gambar 2.16 Jenis perletakan rol dapat dibuat dari kontruksi baja	34
Gambar 2.17 Contoh Profil Box	35

Gambar 2.18 Crane.....	38
Gambar 2.19 Dump truck.....	39
Gambar 2.20 Concrete Pump	39
Gambar 2.21 Concrete Mixer	40
Gambar 2.22 Tandem Roller	40
Gambar 2.23 Asphalt finisher.....	40
Gambar 3.1 Gaya rem per lajur 2,75 m (KBU).....	49
Gambar 3.2 Data tanah untuk menentukan jenis tanah	51
Gambar 3.3 Bentuk tipikal respons spektra di permukaan tanah ..	53
Gambar 4.1 Potongan Melintang Pelat Lantai Kendaraan	59
Gambar 4.2 Momen Balok Menerus Potongan Melintang.....	61
Gambar 4.3 Gaya yang bekerja pada kerb.....	64
Gambar 4.5 Profil Balok Memanjang	71
Gambar 4.6 Pembebanan pada beban mati.....	72
Gambar 4.7 Pembebanan UDL dan KEL pada gelagar memanjang	73
Gambar 4.8 Pembebanan Truk.....	73
Gambar 4.9 Distribusi gaya pada penampang	81
Gambar 4.10 Jembatan komposit	84
Gambar 4.11 Diagram tegangan plastis.....	85
Gambar 4.12 Konektor Stud.....	86
Gambar 4.13 Jarak antara konektor stud	87
Gambar 4.14 Profil Balok Melintang	88
Gambar 4.15 Pembebanan gelagar melintang	90
Gambar 4.16 Pembebanan akibat beban UDL dan KEL.....	91
Gambar 4.17 Pembebanan akibat beban Truk (Kondisi 1)	92
Gambar 4.18 Pembebanan akibat beban Truk (Kondisi 2)	93

Gambar 4.19	Beban merata geser sebelum komposit	96
Gambar 4.20	Beban merata geser setelah komposit	96
Gambar 4.21	Gaya geser akibat UDL dan KEL tidak simetris.....	97
Gambar 4.22	Distribusi gaya pada penampang	100
Gambar 4.23	Jembatan komposit.....	102
Gambar 4.24	Diagram tegangan plastis gelagar melintang	103
Gambar 4.25	Konektor Stud	105
Gambar 4.26	Jarak antara konektor stud.....	105
Gambar 4.27	Konstruksi Pemikul Utama	106
Gambar 5.1	Ikatan angin atas.....	131
Gambar 5.2	Ikatan angin bawah	142
Gambar 5.3	Detail perletakan sendi.....	156
Gambar 5.4	Detail perletakan pen sendi dan letak baut angker...	159
Gambar 5.5	Perletakan rol	161
Gambar 6.1	Pemasangan segmen 1	164
Gambar 6.2	Pemasangan segmen 2	164
Gambar 6.3	Pemasangan segmen 2	165
Gambar 6.4	Pemasangan segmen 4-13	165
Gambar 6.5	Pemasangan deck jembatan	166
Gambar 6.6	Pekerjaan Finishing.....	166

“Halaman ini sengaja dikosongkan”

DAFTAR NOTASI

b	= pelat sayap, dinyatakan dalam milimeter, (mm)
l	= bentang pelat diukur dari pusat ke pusat tumpuan (dalam meter)
ts	= tebal slab/pelat
γ	= berat jenis
q_D	= beban mati
q_L	= beban hidup
M_D	= Momen akibat beban mati
M_L	= Momen akibat beban hidup
M_u	= momen ultimate
f_c'	= Kuat tekan beton yang disyaratkan (Mpa)
f_y	= Kuat leleh yang disyaratkan untuk tulangan non prategang
ρ_{max}	= Rasio tulangan tarik maksimum
ρ_{min}	= Rasio tulangan tarik minimum
ϕ	= Faktor reduksi kekuatan
ϕ_b	= Faktor reduksi kuat lentur
ϕ_f	= Faktor reduksi kekuatan saat fraktur
ϕR_n	= kuat rencana
E_c	= Modulus elastisitas beton (Mpa)
E	= Modulus elastisitas baja (Mpa)
f_{CR}	= tegangan kritis
G	= Modulus geser baja, dinyatakan dalam Mega Pascal (MPa)
h	= tinggi bersih pelat sayap profil baja (mm)
I	= Momen inersia (mm^4)
I_w	= konstanta warping, (mm^6)
I_y	= Momen inersia pada sumbu-y (mm^4)
J	= konstanta torsi (mm^4)
I_e	= Faktor keutamaan gempa
L	= panjang bentang diantara dua pengekang lateral terhadap displacement lateral dari sayap tekan, atau diantara dua pengekang untuk menahan potongan terhadap twist, dinyatakan dalam milimeter, (mm)
m	= Jumlah bidang geser
M_n	= Kuat lentur nominal (Nmm)

- M_A = momen absolut pada $\frac{1}{4}$ bentang
 M_B = momen absolut pada $\frac{1}{2}$ bentang
 M_C = momen absolut pada $\frac{3}{4}$ bentang
 M_p = momen lentur yang menyebabkan seluruh penampang mengalami tegangan leleh disebut juga momen lentur plastis, dinyatakan dalam newton milimeter (N-mm).
 M_r = momen batas tekuk
 S = Spasi tulangan geser atau torsi kearah yang diberikan
 tw = tebal pelat badan profil baja, dinyatakan dalam (mm)
 tf = tebal pelat sayap, dinyatakan dalam milimeter, (mm).
 V_u = gaya geser terfaktor, dinyatakan dalam newton, (N);
 V_n = kuat geser nominal pelat badan (N).
 λ = Kelangsingan
 λ_p = Batas maksimum untuk penampang kompak
 λ_r = Batas maksimum untuk penampang tak-kompak

BAB I

PENDAHULUAN

1.1 Latar Belakang

Berkembangnya Negara maju seperti Indonesia tidak akan jauh dari sebuah pembangunan yang bersifat berkelanjutan, tahap demi tahap dalam membangun suatu daerah satu dengan daerah lainnya akan menjadi poin utama untuk mengkases seluruh wilayah yang ada di Indonesia. Jembatan merupakan salah satu prasarana yang memiliki fungsi sebagai penghubung jalur transportasi baik dalam kota maupun daerah seperti pedesaan. Untuk melayani kebutuhan masyarakat agar wilayah tersebut lebih berkembang, maka Pemerintah Kota Mojokerto Dinas Pekerjaan Umum (PU) membangun jembatan baru yang rencananya akan menghubungkan desa Pulorejo dengan desa Bluto, kedua desa tersebut berada di Kota Mojokerto Provinsi Jawa Timur.

Dengan meninjau pentingnya dalam merencanakan jembatan tersebut, harapan kedepan dapat berfungsi secara maksimal terutama menjadi penghubung desa Pulorejo dengan desa Bluto Kota Mojokerto. Rencana pembangunan jembatan Pulorejo-bluto yang melewati sungai tersebut memiliki panjang total 130m. Jembatan ini direncanakan memiliki 2 pilar dan 3 segmen, yaitu segmen 1 dengan panjang bentang antar tumpuan sebesar 40m, segmen 2 dengan panjang bentang antar tumpuan sebesar 50m, dan pada segmen 3 dengan jarak antar tumpuan sebesar 40m. Proyek ini diharapkan mampu meminimalisir kemacetan di wilayah Kota Mojokoerto dan mampu menghubungkan kedua wilayah sehingga dapat menjadi jalur alternatif antar wilayah tersebut. Untuk mendapatkan suatu desain jembatan yang baik dan memenuhi persyaratan sesuai dengan peraturan pembebanan jembatan. Adapun acuan peraturan yang digunakan adalah BMS (*Bridge Design Manual*), RSNI T-02-2005 standar pembebanan untuk jembatan. Perlu

diperhatikan dalam perencanaan serta perancangan yang baik sehingga diperoleh jembatan yang kokoh dan aman dalam bidang transportasi, maka perlu didesain dimensi serta kebutuhan tulangan plat, balok, tiang sandaran, pilar, abutmen dan bagian jembatan lainnya yang sesuai dengan peraturan pembebanan yang berlaku. Pada Tugas akhir ini akan dimodifikasi menjadi jembatan busur box baja dengan lantai tepat di springline busurnya (*Through Arch*). Metode jembatan box baja digunakan untuk bentang panjang, termasuk jembatan pulorejo-bluto ini, serta mampu mengurangi kebutuhan pilar jembatan, dan estetika bentuk fisik pada jembatan menjadi nilai tambahan dalam modifikasi jembatan tersebut. Untuk keperluan Tugas Akhir Terapan diprogram studi Lanjut Jenjang D4 Teknik Sipil ini, jembatan direncanakan dengan bentang sepanjang 130 meter dan direncanakan lantai kendaraan dibawah, karena melihat fungsi sebagai penghubung dan berada di atas sungai brantas sehingga pangkal busur tidak akan mengenai Muka Air Banjir (MAB). Dan jembatan ini direncanakan dengan penampang box baja sebagai pemikul utamanya mengingat bentang jembatan ini cukup panjang.

1.2 Perumusan Masalah

Dalam judul “Modifikasi Struktur Jembatan Pulorejo-Bluto Dengan Sistem Busur Box Baja di Kota Mojokerto” permasalahan yang akan dibahas sebagai berikut:

1. Bagaimana menganalisa gaya-gaya yang terjadi pada struktur jembatan
2. Bagaimana menentukan profil baja pada jembatan (*preliminary desain*)
3. Bagaimana merencanakan struktur atas pada jembatan
4. Bagaimana mengaplikasikan kedalam gambar teknik yang sesuai dengan perencanaan dan perhitungan pada jembatan

5. Bagaimana metode pelaksanaan dalam perencanaan busur box baja

1.3 Batasan Masalah

Batasan yang akan dibahas pada Tugas Akhir dengan judul “Modifikasi Struktur Jembatan Pulorejo-Blooto Dengan Sistem Busur Box Baja di Kota Mojokerto” adalah sebagai berikut:

1. Perencanaan ini hanya membahas struktural atas dan tidak membahas struktur bawah
2. Perhitungan sambungan dibatasi pada bagian-bagian tertentu yang dianggap mewakili secara keseluruhan
3. Analisis beban gempa menggunakan respons spectrum RSNI 2833-201X, dengan merencanakan gempa 500 tahun
4. Gambar rencana berdasarkan hasil perhitungan dalam tugas akhir
5. Tidak membahas RAB pada tugas akhir ini.

1.4 Maksud dan Tujuan

Maksud disusunnya tugas akhir agar dapat memberikan manfaat untuk diri sendiri agar lebih memahami teori yang telah diperoleh selama perkuliahan mengenai perencanaan jembatan dengan menggunakan sistem busur baja.

Tujuan dari penyusunan tugas akhir “Modifikasi Struktur Jembatan Pulorejo-Blooto Dengan Sistem Busur Box Baja di Kota Mojokerto” ini adalah:

1. Dapat merencanakan jembatan dengan ketentuan pada SNI yang nantinya diaplikasikan ke dalam gambar teknik sesuai dengan struktur yang akan direncanakan
2. Dapat mengetahui metode pelaksanaan pada pembangunan perencanaan struktur jembatan tersebut.

1.5 Manfaat

Manfaat dari penyusunan tugas akhir antara lain :
Mendapatkan desain struktur jembatan dengan menggunakan Metode Sistem Busur Box Baja serta metode pelasanaannya,

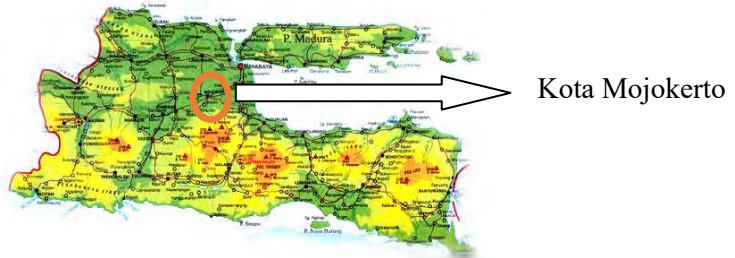
1.6 Data Perencanaan

Sebagai dasar dalam merencanakan struktur Jembatan Busur Box Baja ini diperlukan data-data perencanaan. Dari data-data perencanaan tersebut kemudian dilakukan perhitungan-perhitungan.

Data-data perencanaan yang diperlukan akan diuraikan berikut ini :

➤ Lokasi Proyek

a. Gambar Lokasi Peta Jawa Timur



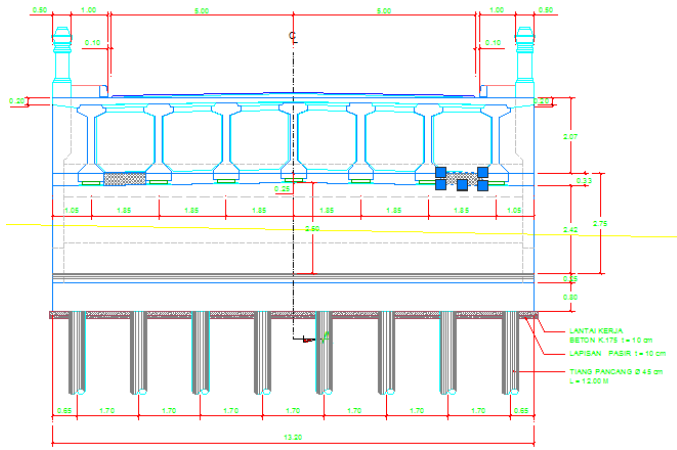
Gambar 1.1 Peta Lokasi Kegiatan

b. Gambar Lokasi Kegiatan

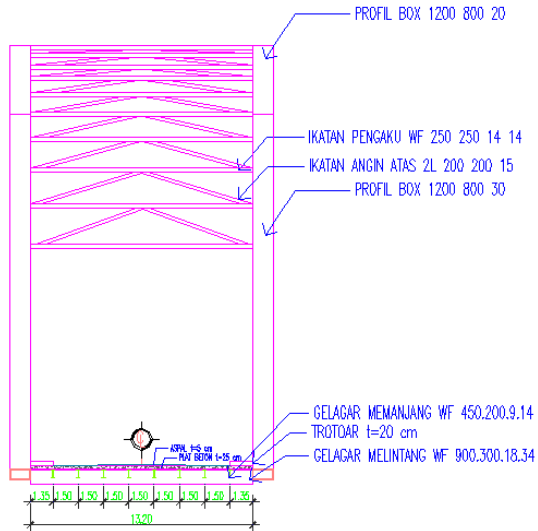


Gambar 1.2 Peta Lokasi Proyek

- Data Umum Jembatan
 - Nama Proyek
Perencanaan Teknis Pembangunan Jembatan Pulorejo - Blooto Kota Mojokerto
 - Pemilik Proyek
Pemerintahan Kota Mojokerto Dinas Pekerjaan Umum(PU)
 - Lokasi : Kota Mojokerto
 - Bentang Jembatan : 130 meter
 - Bangunan Atas : Busur Box Baja
- Data Bahan yang digunakan pada jembatan adalah sebagai berikut:
 - Mutu beton (f_c') : 35 Mpa



Gambar 1.5 Tampak Melintang Abutment Eksisting



Gambar 1.6 Tampak Melintang Eksisting

“Halaman ini sengaja dikosongkan”

BAB II

TINJAUAN PUSTAKA

2.1 Umum

Definisi jembatan adalah suatu konstruksi yang gunanya untuk meneruskan jalan melalui suatu rintangan yang berada lebih rendah. Rintangan ini biasanya jalan lain(jalan air atau jalan lalu lintas biasa). Sehingga memungkinkan kendaraan, seperti kereta api maupun pejalan kaki untuk melintas dengan lancar dan aman.

Bab ini membahas stuktur atas dan merencanakan metode pelaksanaan anggaran dan biaya pelaksanaan struktur bangunan atas pada jembatan busur box baja sehingga dapat di perhitungkan biaya yang akan di butuhkan dalam mendesain struktur bangunan jembatan ini.

Jembatan-jembatan dapat dibagi-bagi dalam golongan-golongan seperti berikut:

1. Jembatan-jembatan Tetap
2. Jembatan-jembatan dapat digerakkan

Kedua golongan dipergunakan untuk lalulintas kereta api dan lalu lintas biasa.

Golongan 1 dibagi-bagi dalam:

- Jembatan Kayu
- Jembatan Baja
 - Jembatan yang sederhana
 - Jembatan-jembatan gelagar kembar
 - Jembatan palengkung/Busur
 - Jembatan gantung
- Jembatan dari beton bertulang
- Jembatan Batu

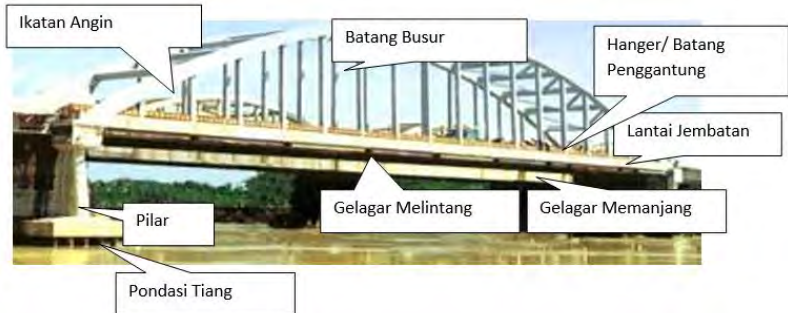
Golongan 2 dibagi-bagi dalam:

- Jembatan-jembatan angkat
- Jembatan-jembatan baskul
- Jembatan lipat strauss
- Jembatan angkat

- Jembatan berroda
- Jembatan gojah atau ponts transbordeur

Pada Jembatan Pulorejo-Blooto di Kota Mojokerto akan dimodifikasi dengan menggunakan sistem busur box baja. Pada modifikasi ini jembatan direncanakan dengan bentang sepanjang 130 meter dan direncanakan lantai kendaraan dibawah, karena melihat fungsi sebagai penghubung antar wilayah yang melintasi sungai brantas, sehingga pangkal busur tidak akan mengenai Muka Air Banjir (MAB).

2.2 Elemen – Elemen Struktur Dalam Jembatan Busur



Gambar 2.1 Elemen struktur jembatan busur

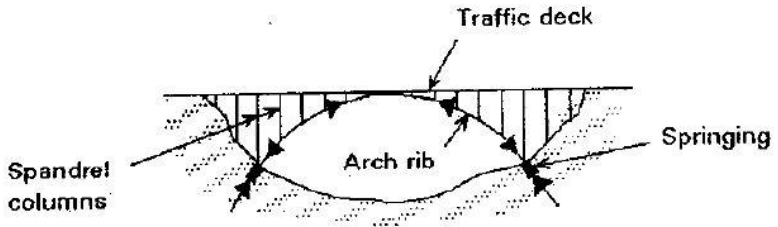
2.2.1 Struktur Primer

2.2.1.1 Deck Girder atau Lantai Jembatan

Berfungsi sebagai penahan lapisan perkerasan yang menahan langsung beban lalu lintas yang melewati jembatan itu. Komponen ini merupakan komponen yang menahan suatu beban yang langsung dan ditransferkan secara merata keseluruh lantai. Berdasarkan lantai kendaraannya, ada beberapa bentuk jenis yang umum dipakai yaitu:

➤ *Deck Arch*

Salah satu jenis jembatan busur dimana letak lantainya menopang beban lalu – lintas secara langsung dan berada di bagian paling atas busur.



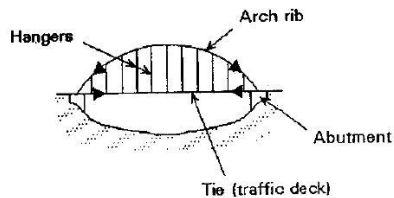
Gambar 2.2 Tipe " Deck Arch "



Gambar 2.3 Jogakura Ohashi Bridge di Jepang

➤ *Through Arch*

Merupakan jenis lainnya, dimana letak lantai jembatan terdapat tepat di springline busurnya.

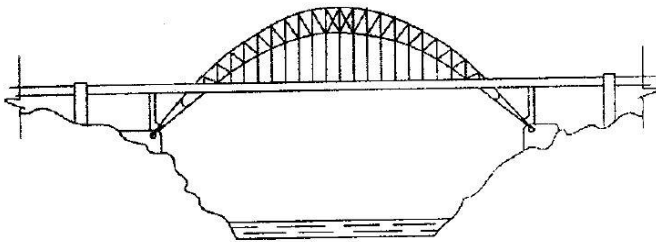


Gambar 2.4 Tipe " Through Arch "



Gambar 2.5 Jembatan Martadipura dalam masa pembangunan

- *A Half – Through Arch*
Dimana lantai jembatan terletak di antara springline dan bagian paling atas busur atau di tengah – tengah.



Gambar 2.6 Tipe ” A Half – Through Arch “



Gambar 2.7 Bayonne Bridge di Kota New York Amerika Serikat

2.2.1.2 Batang Lengkung

Merupakan bagian dari struktur yang penting sekali, karena seluruh beban di sepanjang beban jembatan dipikul olehnya. Dan bagian struktur ini mengubah gaya-gaya yang bekerja dari beban vertikal dirubah menjadi gaya horizontal/ tekan sehingga menjadi keuntungan sendiri bagi jembatan.

2.2.1.3 Gelagar Memanjang

Komponen ini merupakan suatu bagian struktur yang menahan beban langsung dari pelat lantai kendaraan yang letaknya memanjang arah jembatan atau tegak lurus arah aliran sungai.

2.2.1.4 Gelagar Melintang

Komponen ini berfungsi mengikat beberapa balok(Gelagar memanjang) agar menjadi suatu kesatuan supaya tidak terjadi pergeseran antar gelagar induk(Gelagar memanjang), komponen ini letaknya melintang arah jembatan yang mengikat balok-balok gelagar induk (Gelagar Memanjang).

2.2.1.5 Batang Penggantung/ Hanger

Komponen penghubung antara dek/lantai jembatan ke rangka utama yang berfungsi sebagai pemikul gelagar utama serta melimpahkan beban-beban dan gaya-gaya yang bekerja ke rangka utama/busur.

2.2.2 Struktur Sekunder

2.2.2.1 Ikatan Angin

Ikatan angin berfungsi untuk memikul gaya angin yang bekerja pada bangunan atas.

2.2.2.2 Ikatan Rem

Ikatan rem berfungsi untuk memikul gaya rem yang bekerja pada rantai kendaraan.

2.2.2.3 Sambungan

konstruksi terdiri dari beberapa bagian, yang mana bagian yang satu dengan yang lain akan dihubungkan. Salah satu cara untuk menghubungkan suku bagian bagian tersebut adalah dengan cara memberikan sambungan

Macam-macam sambungan:

1. Sambungan Keling

Sambungan keling adalah sambungan yang digunakan untuk menyambung plat dan batang profil. Untuk membuat sambungan ini digunakan paku keling yang dibuat di pabrik khusus dengan kepala terpasang yang dilantak.

2. Sambungan Baut

alat sambung dengan batang bulat dan berulir, salah satu ujungnya dibentuk kepala baut (umumnya bentuk kepala segi enam) dan ujung lainnya dipasang mur/pengunci. Dalam pemakaian di lapangan, baut dapat digunakan untuk membuat konstruksi sambungan tetap, sambungan bergerak, maupun sambungan sementara yang dapat dibongkar/dilepas kembali. Bentuk uliran batang baut untuk baja bangunan pada umumnya ulir segi tiga (ulir tajam) sesuai fungsinya yaitu sebagai baut pengikat. Sedangkan bentuk ulir segi empat (ulir tumpul) umumnya untuk baut-baut penggerak \ atau pemindah tenaga misalnya dongkrak atau alat-alat permesinan yang lain

3. Sambungan Las

Mengelas adalah menyambung dua bagian logam dengan cara memanaskan sampai suhu lebur dengan memakai bahan pengisi atau tanpa bahan pengisi. Sistem sambungan las ini termasuk jenis sambungan tetap dimana pada konstruksi dan alat permesinan

2.2.2.4 Perletakan

Komponen ini terletak menumpu pada abutmen dan pilar yang berfungsi menyalurkan semua beban langsung jembatan ke abutmen dan diteruskan ke bagian pondasi.

2.3 Pembebanan Pada jembatan

Pembebanan pada perencanaan jembatan mengacu pada peraturan Teknik jembatan dan *Bridge Design Manual* (BMS 1992) dan RSNi 2005. Jenis-jenis pembebanan antara lain:

2.3.1 Beban Tetap

➤ Beban Sendiri

Berat sendiri adalah berat bahan dan bagian jembatan yang merupakan elemen structural, ditambah dengan elemen non structural yang dianggap tetap. Berikut ini merupakan berat isi dan kerapatan massa untuk berat sendiri dari bermacam-macam bahan.

➤ Beban Mati Tambahan

Beban Mati tambahan adalah berat seluruh bahan yang membentuk suatu beban pada jembatan yang merupakan elemen non structural, dan mungkin besarnya berubah selama umur jembatan.

2.3.2 Beban Lalu-Lintas

Beban lalu lintas untuk perencanaan jembatan terdiri dari beban lajur "D" dan beban truck "T". Padabeban lajur bekerja ada seluruh lebar jalur kendaraan dan menimbulkan pada jembatan yang ekuivalen dengan suatu iring-iringan

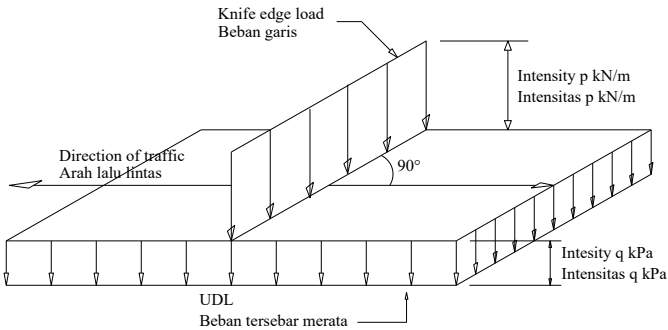
kendaraan yang sebenarnya. Jumlah total beban “D” yang bekerja tergantung pada lebar jalur kendaraan itu sendiri.

Beban truck “T” adalah satu kendaraan berat dengan 3 as yang ditempatkan pada beberapa posisi dalam lajur lalu lintas rencana. Tiap as terdiri dari 2 bidang kotak pembebanan yang dimaksud sebagai simulasi pengaruh roda kendaraan berat. Hanya satu truck”T” diterapkan per lajur lalu lintas rencana.

Secara umum beban “D” akan menentukan dalam perhitungan yang mempunyai bentang muai dari sedang sampai panjang, sedangkan beban “T” digunakan untuk bentang pendek dan lantai kendaraan.

- Beban Lajur “D”

Beban lajur terdiri dari beban tersebar merata (UDL) yang digabung dengan beban garis (KELL).



Gambar 2.8 Beban Lajur” D “

Besarnya beban merata adalah sebesar:

- Untuk $L \leq 30$ m
 $q = 9.0$ kPa(2.3-1)
 - Untuk $L > 30$ m
 $q = 9.0 (0.5 + 15/L)$ kPa.....(2.3-2)
- Dimana panjang yang dibebani L adalah panjang total UDL yang bekerja pada jembatan.

Besarnya beban garis adalah sebesar:

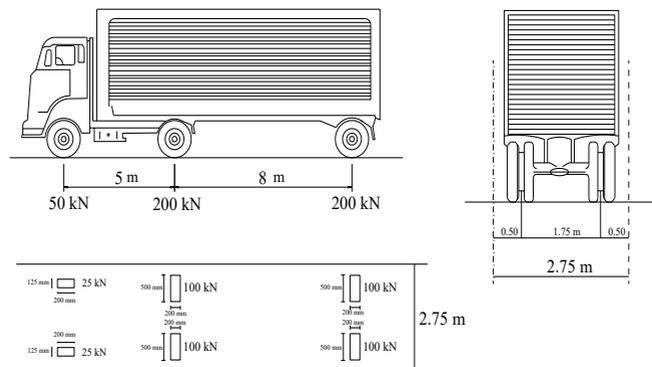
- $P=49 \text{ kN/m}$ (2.3-3)
- Beban KELL dapat dijumlahkan dengan beban UDL

Beban KELL harus dikalikan dengan Faktor Dynamic Load Allowance (DLA).

- Beban Truck "T"

Beban truk memiliki beban merata dibidang kontak antara roda dengan permukaan lantai dengan jarak antar as yaitu 6 m sesuai jarak titik simpul jembatan, beban truk memiliki dua bidang kontak dengan jarak selebar dengan jarak antar gelagar yaitu.

Factor beban dinamis (FBD) diambil 30%. Harga FBD yang dihitung digunakan pada seluruh bagian bangunan yang berada diseluruh permukaan tanah.

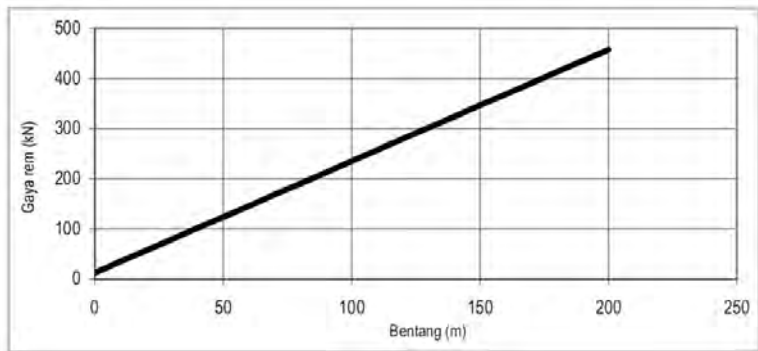


Gambar 2.9 Pembebanan truk "T" (500 kN)

- Gaya Rem

Bekerjanya gaya-gaya di arah memanjang jembatan, akibat gaya rem dan traksi, harus ditinjau untuk kedua jurusan lalu lintas. Pengaruh ini diperhitungkan senilai

dengan gaya rem sebesar 5% dari beban lajur D yang dianggap ada pada semua jalur lalu lintas. Gaya rem tersebut dianggap bekerja horisontal dalam arah sumbu jembatan dengan titik tangkap setinggi 1,8 m diatas permukaan lantai kendaraan. Beban lajur D disini jangan direduksi bila panjang bentang melebihi 30 m.



Gambar 2.10 Gaya Rem per lajur 2,75m(KBU)

Tabel 2.1 Faktor beban akibat gaya rem

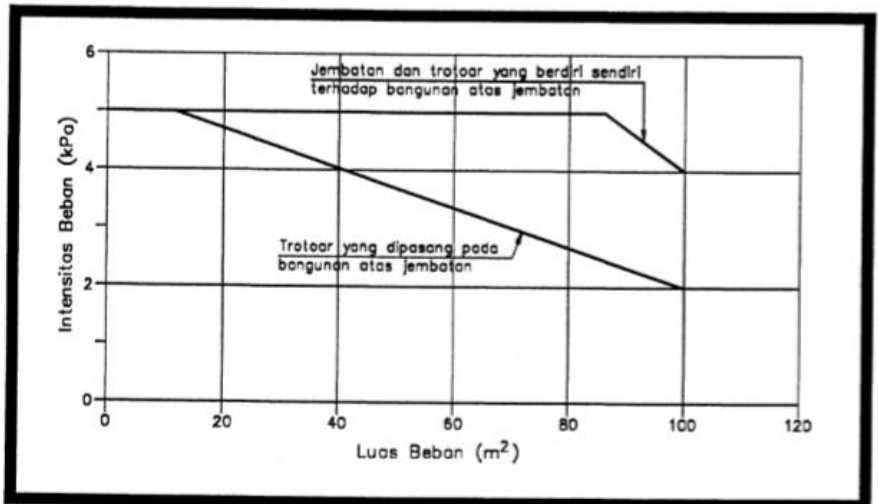
JANGKA WAKTU	FAKTOR BEBAN	
	$K_{S, TB}$	$K_{U, TB}$
Transien	1,0	1,8

- Beban Pejalan Kaki
 - Semua elemen dari trotoar atau jembatan penyeberangan yang langsung memikul pejalan kaki harus direncanakan untuk beban nominal 5 kpa.
 - Jembatan pejalan kaki dan trotoar pada jembatan jalan raya harus direncanakan untuk memikul beban per m² dari luas yang dibebani seperti pada Gambar 2.7.

- Apabila trotoar memungkinkan digunakan untuk kendaraan ringan atau ternak, maka trotoar harus direncanakan untuk bisa memikul beban hidup terpusat sebesar 20 kN.

Tabel 2.2 Faktor beban akibat pembebanan untuk pejalan kaki

JANGKA WAKTU	FAKTOR BEBAN	
	$K_{S,TP}$	$K_{U,TP}$
Transien	1,0	1,8



Gambar 2.11 Pembebanan untuk pejalan kaki

2.3.3 Beban Lingkungan

Beban lingkungan dapat terjadi karena pengaruh temperatur, angin, gempa dan lain-lainnya.

- Pengaruh Temperatur
Pengaruh temperatur dibagi menjadi:

- Variasi temperatur jembatan rata-rata digunakan dalam menghitung pergerakan pada temperatur dan sambungan pelat lantai dan untuk menghitung akibat terjadinya pengekangan dari pergerakan tersebut.
- Perbedaan temperatur disebabkan oleh, pemanasan langsung dari sinar matahari di waktu siang pada bagian atas permukaan lantai dan pelepasan kembali radiasi dari seluruh permukaan jembatan di waktu malam.

Tabel 2.3 Temperatur jembatan rata-rata nominal

Tipe Bangunan Atas	Temperatur jembatan rata-rata minimum(1)	Temperatur jembatan rata-rata maximum
Lantai beton diatas gelagaratau box beton	15°C	40°C
Lantai beton diatas gelagar boks atau rangka baja	15°C	40°C
Lantai pelat baja di atas gelagar, boks, atau rangka baja	15°C	40°C
CATATAN (1): Temperatur jembatan rata-rata minimum bisa dikurangi 5°C untuk lokasi yang terletak pada ketinggian lebih besar dari 500m diatas permukaan laut.		

Tabel 2.4 Sifat dan bahan rata-rata akibat pengaruh temperatur

Bahan	Koefisien Perpanjangan akibat suhu	Modulus Elastisitas (Mpa)
Baja	12×10^{-6} per °C	200.000

Beton:		
Kuat tekan <30 Mpa	10×10^{-6} per °C	25.000
Kuat tekan > 30 Mpa	11×10^{-6} per °C	34.000
Aluminium	24×10^{-6} per °C	70.000

- Beban Angin

- Gaya nominal ultimit dan daya layan jembatan akibat angin tergantung kecepatan angin rencana seperti berikut:

$$Tew = 0,0006 cw (v_w)^2 Ab \dots \dots \dots (2.4-4)$$

Dimana:

V_w = kecepatan angin rencana (m/s) untuk keadaan batas yang ditinjau

C_w = koefisien seret

Ab = luas koefisien samping jembatan (m^2)

- Kecepatan angin rencana harus diambil seperti yang diberikan dalam Tabel 2.4

- Luas ekuivalen bagian samping jembatan adalah luas total bagian yang masif dalam arah tegak lurus sumbu memanjang jembatan. Untuk jembatan rangka luas ekivalen ini dianggap 30 % dari luas yang dibatasi oleh batang-batang bagian terluar.

- Angin harus dianggap bekerja secara merata pada seluruh bangunan atas, Apabila suatu kendaraan sedang berada diatas jembatan, beban garis merata tambahan arah horisontal harus diterapkan pada permukaan lantai seperti diberikan dengan rumus:

$$Tew = 0,0012 C_w (V_w)^2 Ab [kN] \dots \dots \dots (2.3-5)$$

Dimana nilai $C_w = 1,2$

Tabel 2.5 Koefisien seret C_w

Tipe Jembatan	C_w
Bangunan atas masif: (1), (2)	
$b/d = 1.0$	2.1 (3)
$b/d = 2.0$	1.5 (3)
$b/d \geq 6.0$	1.25 (3)
Bangunan atas rangka	1.2
CATATAN (1) b = lebar keseluruhan jembatan dihitung dari sisi luar sandaran d = tinggi bangunan atas, termasuk tinggi bagian sandaran yang masif	
CATATAN (2) Untuk harga antara dari b/d bisa diinterpolasi linier	
CATATAN (3) Apabila bangunan atas mempunyai superelevasi, C_w harus dinaikkan sebesar 3 % untuk setiap derajat superelevasi, dengan kenaikan maksimum 2,5 %	

Tabel 2.6 Kecepatan angin rencana V_w

Keadaan Batas	Lokasi	
	Sampai 5 km dari pantai	> 5 km dari pantai
Daya layan	30 m/s	25 m/s
Ultimit	35 m/s	30 m/s

2.4 Perencanaan Struktur Jembatan

Perencanaan Struktur Jembatan dapat dibedakan menjadi 3 yaitu Struktur Utama/Primer, Struktur Sekunder, dan Struktur Bawah.

2.4.1 Struktur Utama/Primer

Konstruksi pemikul utama merupakan bagian terakhir dari konstruksi bagian jembatan yang menerima seluruh beban yang ada pada lantai kendaraan kemudian diteruskan ke tumpuan. Bentuk konstruksi utama yang dipilih adalah konstruksi busur. Pendekatan pertama bentuk geometrik busur sebagai persamaan parabola.

➤ Perencanaan Lengkung Busur

Untuk memperoleh bentuk yang baik, dimana lantai kendaraan berada dibawah busur, sesuai Buku Ir. H. J.

Struyk, Prof. Ir. K. H. C.W. Van Der Veen, dan Soemargono.1990. Jembatan, direncanakan :

Tinggi Lengkung busur (f)

Rumus :

$$f = 1/5L \text{ sampai } 1/8L \dots\dots\dots (2.4.-1)$$

$$h = 1/25L \text{ sampai } 1/45L \dots\dots\dots (2.4.-2)$$

di mana, L adalah panjang bentang

➤ **Konstruksi Busur**

Konstruksi pemikul utama yang berbentuk busur ini mempunyai keuntungan yaitu dengan adanya bentuk busur akan terjadi pengurangan momen di lapangan akibat gaya reaksi horizontal dan gaya normal pada penampang busur relatif lebih berperan daripada gaya momen, sehingga bentuk busur ini cukup relatif untuk bentang yang panjang. Penampang busur direncanakan memakai konstruksi box baja.

Panjang penggantung dicari dengan menggunakan perhitungan pendekatan persamaan sumbu geometrik.

Persamaan Parabola :

$$Y_n = \frac{4 \cdot f \cdot X \cdot (L - X)}{L^2} \dots\dots\dots (2.4-3)$$

$$Y_n' = f - Y_n \dots\dots\dots (2.4-4)$$

Panjang tiap segmen box :

$$\Delta S_n = \sqrt{(Y_n' - Y_{n-1}')^2 + \Delta X^2} \dots\dots\dots (2.4-5)$$

Berat tiap segmen box :

$$g_n = A_n \cdot \Delta S_n \cdot \gamma_{baja} \dots\dots\dots (2.4-6)$$

➤ **Perencanaan Pelat**

- Tebal minimum pelat lantai

sesuai **Standar Nasional Indonesia T-12-2004 pasal 5.5.2** adalah :

$$ts \geq 200 \text{ mm} \dots\dots\dots (2.4-7)$$

$$ts \geq (100 + 40 l) \text{ mm} \dots\dots\dots (2.4-8)$$

dengan pengertian:

l : bentang pelat diukur dari pusat ke pusat tumpuan
(dalam meter)

- Penulangan Plat Lantai.

Tulangan minimum pelat lantai harus dipasang untuk menahan tegangan tarik utama menurut **Standar Nasional Indonesia T-12-2004 pasal 5.5.3** adalah sebagai berikut:

Pelat lantai yang ditumpu kolom :

$$\frac{A_s}{b d} = \frac{1,25}{f_y} \dots\dots\dots(2.4-9)$$

Pelat lantai yang ditumpu balok atau dinding:

$$\frac{A_s}{b d} = \frac{1,0}{f_y} \dots\dots\dots(2.4-10)$$

Pelat telapak :

$$\frac{A_s}{b d} = \frac{1,0}{f_y} \dots\dots\dots(2.4-11)$$

Rasio penulangan pelat

$$\rho_{min} = \frac{1,4}{f_y} \dots\dots\dots(2.4-12)$$

$$\rho_{balance} = \frac{0,85 \times f_c' \times \beta_1 \left(\frac{600}{600 + f_y} \right)}{f_y} \dots\dots\dots(2.4-13)$$

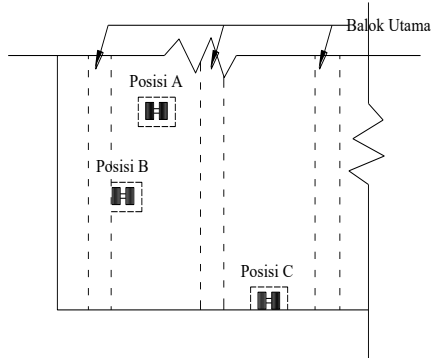
$$\rho_{max} = 0,75 \times \rho_{balance} \dots\dots\dots(2.4-14)$$

$$m = \frac{f_y}{0,85 \cdot f_c'} \dots\dots\dots(2.4-15)$$

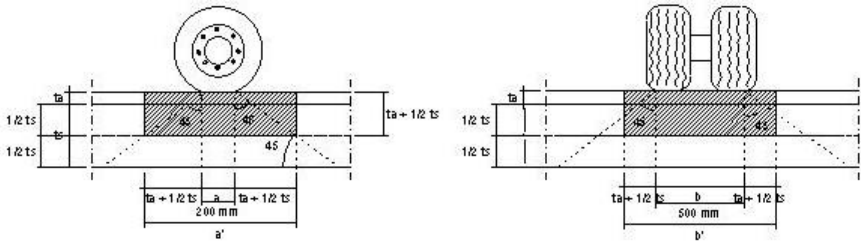
$$\rho_{perlu} = \frac{1}{m} \left(1 - \sqrt{1 - \frac{2 x m x R_n}{f_y}} \right) \dots\dots\dots(2.4-16)$$

$$As = \rho x b x d \dots\dots\dots(2.4-17)$$

- Kontrol jarak spasi tulangan
Sesuai dengan SNI 2847:2013, spasi tulangan pada penampang kritis harus memenuhi persamaan 2.3.3.7 (SNI 2847:2013 pasal 13.3.2)
 $S_{max} \leq 2 \times h$ (2.4-18)
- Kontrol tulangan susut dan suhu SNI 2847:2013, Pasal 7.12.2.1 yaitu tulangan susut dan suhu harus paling sedikit memiliki rasio luas tulangan terhadap luas bruto penampang beton sebagai berikut, tetapi tidak kurang dari 0,0014.
- Kontrol jarak spasi tulangan susut dan suhu SNI 2847:2013, Pasal 7.12.2.2 yaitu tulangan susut dan suhu harus dipasang dengan spasi tidak lebih jauh dari lima kali tebal slab, atau tidak lebih jauh dari 450.
 $S_{max} \leq 5 \times h$ atau $\leq 450 \text{ mm}$ (2.4-19)
- Kontrol Geser Pons
Kontrol geser pons berkaitan dengan penentuan tebal pelat lantai kendaraan. Perencanaan pelat lantai yang berfungsi sebagai jalan kendaraan pada jembatan harus mempunyai tebal minimum. Analisis dimensi yang digunakan pelat pada bentang tepi dan bentang tengah adalah sama karena jarak bentang pelat antara pusat tumpuan sama. Dalam menentukan tebal pelat yang dipakai maka dilakukan kontrol terhadap geser pons akibat pembebanan roda pada posisi yang berbeda (seperti yang ditunjukkan pada Gambar 2.14).



Gambar 2.12 Analisis Posisi Roda Kendaraan



Gambar 2.13 Penyebaran beban akibat roda kendaraan

Kuat geser yang diterima pelat (V)

$$K_{TT}^U \times 100 \times (1 + 0,3) \dots\dots\dots(2.4-20)$$

Luas bidang kritis geser pons (Ak)

$$2 \times (a' + b') \times ts \dots\dots\dots(2.4-21)$$

Kemampuan geser pelat

$$= Ak \times \text{tegangan geser beton} \dots\dots\dots(2.4-22)$$

Kemampuan geser beton harus lebih besar daripada geser yang terjadi.

➤ Balok Memanjang dan Melintang

- Kontrol Dimensi Balok

Balok-balok direncanakan untuk menahan gaya-gaya momen dan geser. Pengelompokan balok-balok didasarkan pada kebutuhan tahanan gaya momen dan geser maksimal hasil dari kombinasi beban dari output program SAP

- Perhitungan Kekuatan

Semua pelat badan yang mempunyai $a/h > 3,0$ harus dianggap tidak diperkaku, dengan h adalah tinggi panel yang terbesar di bentang tersebut.

$$\frac{a}{h} > 3,0 \dots \dots \dots (2.4-23)$$

(RSNI T-03-2005 pasal 7.7.4)

Syarat yang harus dipenuhi untuk balok dengan pengaku, maka sesuai dengan RSNI T-03-2005 rumus pasal 7.7.4

$$\left(\frac{h}{t_w}\right) \leq 7,07 \sqrt{\frac{E}{f_y}} \dots \dots \dots (2.4-24)$$

- Kuat nominal lentur penampang tekuk lokal

Momen nominal penampang untuk :

❖ Penampang compact $\lambda \leq \lambda_p$

$$\rightarrow M_n = M_p \dots \dots \dots (2.4-25)$$

(RSNI T-03-2005 pasal 7.2.3)

❖ Penampang non-compact $\lambda_p \leq \lambda \leq \lambda_r$

$$\rightarrow M_n = M_p - (M_p - M_r) \frac{(\lambda - \lambda_p)}{(\lambda_r - \lambda_p)} \dots \dots \dots (2.4-26)$$

(RSNI T-03-2005 pasal 7.2.4)

❖ Penampang compact $\lambda \geq \lambda_r$

$$\rightarrow M_n = M_r (\lambda_r / \lambda)^2 \dots \dots \dots (2.4-27)$$

(RSNI T-03-2005 pasal 7.2.5)

- Cek Pengaruh tekuk lokal pada sayap:

❖ Cek Kelangsingan sayap

$$\lambda = \frac{b_i}{t_f} \dots\dots\dots(2.4-28)$$

$$\lambda_p = \frac{500}{\sqrt{f_y}} \dots\dots\dots(2.4-29)$$

$$\lambda_r = \frac{370}{\sqrt{f_y - f_r}} \dots\dots\dots(2.4-30)$$

❖ Cek Kelangsingan badan

$$\lambda = \frac{h}{t_w} \dots\dots\dots(2.4-31)$$

$$\lambda_p = \frac{1680}{\sqrt{f_y}} \dots\dots\dots(2.4-32)$$

$$\lambda_r = \frac{2550}{\sqrt{f_y}} \dots\dots\dots(2.4-33)$$

- Cek Momen nominal pengaruh tekuk lateral

❖ Bentang Pendek $L \leq L_p$

$$\rightarrow M_n = M_p \dots\dots\dots(2.4-34)$$

(RSNI T-03-2005 pasal 7.3.3)

❖ Bentang Menengah $L_p \leq L \leq L_r$

$$\rightarrow M_n = C_b [M_r + (M_p - M_r) \frac{(L_r - L)}{(L_r - L_p)}] \leq M_p \dots\dots (2.4-35)$$

(RSNI T-03-2005 pasal 7.3.4)

❖ Bentang Panjang $L \geq L_r$

$$\rightarrow M_n = M_{cr} \leq M_p \dots\dots\dots(2.4-36)$$

(RSNI T-03-2005 pasal 7.3.5)

Dimana:

$$L_p = 1,76 \times r_y \times \sqrt{\frac{E}{f_y}} \dots\dots\dots(2.4-37)$$

$$f_L = f_y - f_r \dots\dots\dots(2.4-38)$$

$$L_r = r_y \left[\frac{X_2}{f_L} \right] \sqrt{1 + \sqrt{1 + X_2 f_L^2}} \dots\dots\dots(2.4-39)$$

- Menentukan Tahanan Momen Lentur
Momen nominal diambil yang terkecil menentukan
 $M_u \leq \phi \cdot M_n$ (2.4-40)

(RSNI T-03-2005 Pasal 7.1.4)

- Menentukan Tahanan Geser
Tahanan geser nominal plat badan dihitung sebagai :

- ❖ Untuk nilai

$$\left(\frac{h}{t_w}\right) \leq 1,10 \sqrt{\frac{k_n E}{f_y}} ; K_n = 5 + \frac{5}{\left(\frac{h}{t_w}\right)^2} \dots (2.4-41)$$

(RSNI T-03-2005 Pasal 7.8.2a)

Tahanan geser plastis

$$V_n = 0,6 \cdot f_y \cdot A_w \dots (2.4-42)$$

(RSNI T-03-2005 Pasal 7.8.3)

- ❖ Untuk nilai

$$1,10 \sqrt{\frac{k_n E}{f_y}} \leq \left(\frac{h}{t_w}\right) \leq 1,37 \sqrt{\frac{k_n E}{f_y}} \dots (2.4-43)$$

(RSNI T-03-2005 Pasal 7.8.2b)

Tahanan geser elasto plastis

$$V_n = 0,6 \cdot f_y \cdot A_w \left[1,10 \sqrt{\frac{k_n E}{f_y}} \right] \frac{1}{\left(\frac{h}{t_w}\right)} \dots (2.4-44)$$

(RSNI T-03-2005 Pasal 7.8.4)

- ❖ Untuk nilai

$$1,37 \sqrt{\frac{k_n E}{f_y}} \leq \left(\frac{h}{t_w}\right) \dots (2.4-45)$$

(RSNI T-03-2005 Pasal 7.8.2c)

Tahanan geser elastis

$$V_n = \frac{0,9 \cdot A_w \cdot K_n \cdot E}{\left(\frac{h}{t_w}\right)^2} \dots (2.4-46)$$

(RSNI T-03-2005 Pasal 7.8.5)

Syarat yang harus dipenuhi:

$$V_u \leq \phi \cdot V_n \dots\dots\dots(2.4-47)$$

(RSNI T-03-2005 Pasal 7.8.1)

- Interaksi Geser dan Lentur

Elemen yang memikul kombinasi geser dan lentur harus melakukan kontrol sbb :

$$\frac{M_u}{\phi_b \cdot M_n} + 0,625 \frac{V_u}{\phi_f \cdot V_n} \leq 1,375 \quad (2.4-48)$$

(RSNI T-03-2005 Pasal 7.9.3)

- Kontrol Lendutan

$$(5L^2)[M_s - 0,1(M_a + M_b)] / (48EI) \quad (2.4-49)$$

Dimana:

M_s = Momen di tengah lapangan

M_a = Momen Tumpuan

M_b = Momen Tumpuan

Batas Lendutan Maksimum

$$L/800 \dots\dots\dots(2.4-50)$$

(RSNI T-03-2005 ps.4.7.2)

2.4.2 Struktur Sekunder

- Tiang Sandaran

Beban yang bekerja adalah gaya angin, dan beban sandaran manusia. Sandaran pada jembatan berguna sebagai pembatas atau pengaman pejalan kaki yang melintas di atas jembatan agar tidak jatuh ke sisi luar jembatan. Perencanaan sandaran disesuaikan dengan **Standar Nasional Indonesia T-02-2005 pasal 12.5**, sandaran untuk pejalan kaki harus direncanakan untuk dua pembebanan yang bekerja secara bersamaan dalam arah menyilang vertikal dan horisontal dengan masing-masing beban sebesar $W^* = 0.75 \text{ kN/m}$.

- Kerb

Beban hidup pada kerb diperhitungkan sebesar 15 kN/m yang bekerja pada bagian atas kerb sepanjang jembatan dengan arah horisontal

(Standar Nasional Indonesia T-02-2005 pasal 12.1).

➤ Sambungan

- Sambungan Baut

Sambungan baut mengacu pada SNI 03-1729-2002

pasal 13.2 tentang perencanaan baut

Kekuatan satu baut ditinjau dari :

❖ Kekuatan Geser

$$V_d = \phi_f V_n = \phi_f r_l f_u^b A_b \dots \dots \dots (2.4-51)$$

(SNI 03-1729-2002 Pasal 13.2.2.1)

❖ Kekuatan Tumpu

$$R_d = \phi_f R_n = 2,4 \phi_f d_b t_p f_u \dots \dots \dots (2.4-52)$$

(SNI 03-1729-2002 Pasal 13.2.2.4)

❖ Kekuatan Tarik

$$T_d = \phi_f T_n = \phi_f 0,75 f_u^b A_b \dots \dots \dots (2.4-53)$$

(SNI 03-1729-2002 Pasal 13.2.2.2)

Keterangan:

$$\phi_f = 0,75$$

A_b = Luas penampang baut

r_l = 0,50 (baut tanpa ulir)

= 0,40 (baut dengan ulir)

d_b = diameter baut

t_p = Tebal plat

f_u = Tegangan tarik putus

Suatu baut yang memikul gaya terfaktor, R_u harus memenuhi :

$$R_u \leq \phi R_n \dots \dots \dots (2.4-54)$$

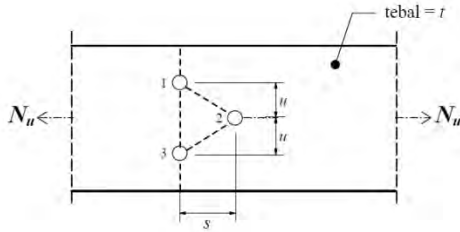
(SNI 03-1729-2002 Pasal 13.2.2)

Keterangan:

Φ = adalah faktor reduksi kekuatan

R_n = adalah kuat nominal baut (berdasarkan nilai kekuatan geser, tarik, tumpu diambil nilai terkecil)

❖ Tinjauan Plat



Gambar 2.14 Robekan baut terhadap pelat sambung
 Sumber : SNI 03-1729-2002 Pasal 10.2.1

Potongan 1-3: $A_{nt} = A_g - ndt$ (2.4-55)

Potongan 1-2-3: $A_{nt} = A_g - ndt + \sum \frac{s^2 t}{4 u}$... (2.4-56)

(SNI 03-1729-2002 Pasal 10.2.1)

Keterangan:

A_g = luas penampang bruto, mm²

t = tebal penampang, mm

d = diameter lubang, mm

n = banyaknya lubang dalam garis potongan

s = jarak antara sumbu lubang pada arah sejajar sumbu komponen struktur

u = jarak antara sumbu lubang pada arah tegak lurus sumbu komponen struktur

- Sambungan Las
Tebal las minimum las sudut, t_w

Tabel 2.7 Ukuran minimum las sudut

Tebal bagian paling tebal, t [mm]	Tebal minimum las sudut, t_w [mm]
$t \leq 7$	3
$7 < t \leq 10$	4
$10 < t \leq 15$	5
$15 < t$	6

Sumber : SNI 03-1729-2002 Pasal 13.5.3

Las sudut yang memikul gaya terfaktor per satuan panjang las, R_u harus memenuhi:

$$R_u \leq \phi R_{nw} \dots \dots \dots (2.4-57)$$

❖ Berdasarkan bahan las :

$$\phi f R_{nw} = 0,75 t_i (0,6 f_{uw}) \dots \dots \dots (2.4-58)$$

❖ Berdasarkan bahan dasar :

$$\phi f R_{nw} = 0,75 t_i (0,6 f_u) \dots \dots \dots (2.4-59)$$

(SNI 03-1729-2002 Pasal 13.5.3.10)

Keterangan:

ϕf = 0,75 faktor reduksi kekuatan saat fraktur

f_{uw} = tegangan tarik putus logam las, (Mpa)

f_u = tegangan tarik putus bahan dasar, (Mpa)

t_i = adalah tebal rencana las, (mm)

➤ Perletakan Tumpuan

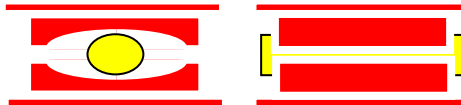
Konstruksi perletakan harus dapat meneruskan gaya vertikal maupun horizontal yang bekerja pada jembatan kepada pondasi jembatan, untuk jenis perletakan yang sering dipakai pada jembatan antara lain :

- Perletakan Sendi
Untuk perletakan jenis sendi dipakai bila tumpuan jembatan menahan gaya vertikal dan horizontal dan tidak menahan momen sehingga rotasi pada tumpuan jenis ini dapat terjadi.



Gambar 2.15 Jenis perletakan sendi dapat dibuat dari konstruksi baja

- Perletakan Rol
Untuk perletakan jenis sendi dipakai bila tumpuan jembatan menahan gaya vertikal dan tidak menahan momen dan gaya horizontal sehingga rotasi dan perubahan posisi tumpuan bidang horizontal pada tumpuan jenis ini dapat terjadi.

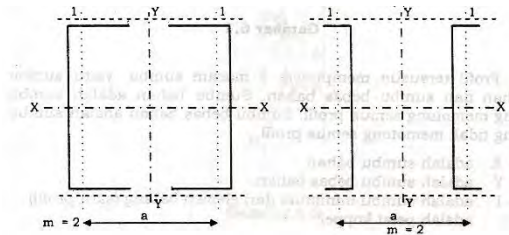


Gambar 2.16 Jenis perletakan rol dapat dibuat dari konstruksi baja

2.5 Struktur Box Baja

Sesuai Buku Ir. Ir. Oentoeng .1999. Konstruksi baja, direncanakan :

- Pada kolom atau batang tekan yang panjang dengan beban yang berat (misalnya pada rangka jembatan), pemakaian profil tunggal tidaklah hemat karena lebih berat daripada profil box pada umumnya.
- Pada profil box, jarak antar profil dapat diatur, sehingga momen inertiya (I) terhadap semua sumbu dapat memenuhi kebutuhan. Agar ekonomis dapat diatur sedemikian rupa sehingga didapat $I_x = I_y$.
- Profil tersusun dari profil-profil yang kecil, tipis dan ringan, tetapi dapat menghasilkan I yang besar



Gambar 2.17 Contoh Profil Box

- Profil box mempunyai 2 macam sumbu, yaitu sumbu bahan dan sumbu bebas bahan. Sumbu bahan adalah sumbu yang memotong semua profil. Sumbu bebas bahan adalah sumbu yang tidak memotong semua profil.

X – X adalah sumbu bahan

Y – Y adalah sumbu bebas bahan

1 – 1 adalah sumbu minimum dari elemen batang

----- adalah plat koppel.

- Pada profil tersusun yang mempunyai sumbu bebas bahan, supaya batang-batang yang disusun dapat bekerja sama, tempat-tempat tertentu harus dihubungkan satu sama lain dengan pelat koppel, sehingga:

Untuk profil box berlaku: $I_y = 2[I_{y1} + A, (0,5 a)^2]$

- Untuk batang tersusun hares ditinjau kestabilannya terhadap kedua sumbu bebas bahan, sebagai berikut:
Terhadap sumbu bahan (x - x) Kelangsingannya adalah

$$\lambda_x = \frac{L_{kx}}{i_x}$$

Terhadap sumbu bebas bahan (y - y) Kelangsingannya

$$\lambda_{iy} = \sqrt{\lambda_y^2 + 0,5 m \lambda_1^2}$$

λ_{iy} = kelangsingan ideal

$$\lambda_y = \frac{L_{ky}}{i_y} \quad \text{dan} \quad \lambda_1 = \frac{L_1}{i_{\min}}$$

m = jumlah batang tunggal yang membentuk batang tersusun

$L_{k,}$ = panjang tekuk batang tersusun pada arah 1 sumbu Y-Y

i_y = jari-jari kelembaman dari batang tersusun pada arah \perp sumbu Y - Y

L_i = jarak antara tengah-tengah pelat koppel pada arah batang

I_{\min} = jari-jari kelembaman batang tunggal terhadap sumbu yang memberikan harga terkecil (sumbu 1-1)

Jarak L_1 yang sebenarnya ialah L_1' , tetapi karena adanya paku keling/baut baru kemudian untuk memudahkan diambil L_1 adalah jarak antara tengah-tengah pelat koppel. $L_1 \geq L_1'$ (lebih aman)

2.6 Metode Pelaksanaan Pekerjaan

1. Pekerjaan Persiapan
 - Pembuatan Jalan kerja
 - Pembuatan lokasi untuk unloading material
2. Pekerjaan Pemberhahan Lahan/Lokasi
 - Pengukuran
 - Pembuatan lokasi untuk direksi keet
3. Mobilisasi
 - Mobilisasi Material
 - Mobilisasi Alat berat
 - Mobilisasi Tega Kerja dll
4. Pelaksanaan Pekerjaan bangunan Bawah
 - Pekerjaan Pondasi
 - Pekerjaan Pembesian
 - Pekerjaan Pengecoran
 - Pekerjaan Pile Cap
 - Pekerjaan Pembesian
 - Pemasangan Bekisting
 - Pekerjaan Pengecoran
 - Pekerjaan Pilar
 - Pekerjaan Pembesian
 - Pemasangan Bekisting
 - Pekerjaan Pengecoran
 - Pekerjaan kepala pilar
 - Pekerjaan Abutmen
 - Pekerjaan Wingwall
5. Pekerjaan Bangunan Atas
 - Struktur Primer
 - Pekerjaan Pemasangan Elemen Pelengkung
 - Pekerjaan pemasangan bracing
 - Pekerjaan pemasangan gelagar memanjang dan melintang
 - Pekerjaan Pemasangan Hanger
 - Pekerjaan slab jembatan
 - Pekerjaan pembesian

Pekerjaan pengecoran slab
Struktur Sekunder

- Pekerjaan Ikatan angin
 - Pekerjaan sambungan
 - Pekerjaan kerb, trotoar dll
6. Pekerjaan Finishing
- Pekerjaan pengaspalan
 - Pekerjaan Pemasangan hand rail
 - Pekerjaan pemasangan marka jalan
 - Pekerjaan pemasangan pipa, lampu dll.

2.7 Pemilihan Alat Berat

2.7.1 Crane

Crane termasuk di dalam kategori alat pengangkut material karena alat ini dapat mengangkat material secara vertikal dan kemudian memindahkannya secara horizontal pada jarak jangkauan yang relatif kecil. Alat ini berfungsi untuk memindahkan gelagar memanjang dan gelagar melintang yang sudah dirakit sebelum di naikkan di atas tumpuan.



Gambar 2.18 Crane

2.7.2 Dump Truck

Dump truck adalah truk yang isinya dapat dikosongkan tanpa penanganan. Dump truk biasa digunakan untuk mengangkat barang semacam pasir, kerikil atau tanah untuk keperluan konstruksi



Gambar 2.19 Dump truck

2.7.3 Concrete pump

Concrete pump truck adalah truk yang dilengkapi dengan pompa dan lengan (*boom*) untuk memompa campuran beton *ready mix* ke tempat-tempat yang sulit dijangkau. Untuk pengecoran lantai yang lebih tinggi dari panjang lengan *concrete pump truck* dapat dilakukan dengan cara disambung dengan pipa secara vertikal sehingga mencapai ketinggian yang diinginkan.



Gambar 2.20 Concrete Pump

2.7.4 Concrete mixer

Alat ini dipakai untuk mengubah batuan dan mineral alam menjadi suatu bentuk dan ukuran yang diinginkan. Hasil dari alat ini misalnya adalah batuan bergradasi, semen, beton, dan aspal. Yang termasuk didalam alat ini adalah *crusher* dan *concrete mixer truck*.



Gambar 2.21 Concrete Mixer

2.7.5 Tandem Roller

Alat untuk memadatkan timbunan atau tanah yang akan diratakan sehingga tanah atau timbunan menjadi padat. biasanya alat digunakan pembuatan jalan, baik untuk jalan tanah dan jalan dengan perkerasan lentur maupun perkerasan kaku.



Gambar 2.22 Tandem Roller

2.7.6 Asphalt Finisher

Asphalt finisher adalah alat untuk menghamparkan campuran aspal yang dihasilkan dari alat produksi aspal.



Gambar 2.23 Asphalt finisher

BAB III DATA DAN ANALISA

3.1 Outline Penyusunan Laporan

BAB I	: PENDAHULUAN
BAB II	: TINJAUAN PUSTAKA
BAB III	: DATA DAN ANALISA
	3.1 Outline Penyusunan Laporan
	3.2 Data Perencanaan
	3.3 Preliminary Disain
	3.4 Analisa Pembebanan
	3.5 Flowchart
BAB IV	: PERENCANAAN STRUKTUR UTAMA/PRIMER
	4.1 Perencanaan Plat lantai kendaraan
	4.2 Perencanaan balok memanjang
	4.3 Perencanaan balok melintang
	4.4 Perencanaan batang penggantung
	4.5 Perencanaan konstruksi busur
BAB V	: PERENCANAAN STRUKTUR SEKUNDER
	5.1 Perencanaan Ikatan Angin Atas
	5.2 Perencanaan Ikatan Angin Bawah
	5.3 Perencanaan Sambungan
	5.4 Perencanaan Perletakan
BAB VI	: METODE PELAKSANAAN PEKERJAAN
BAB VII	: PENUTUP

3.2 Data perencanaan

- Data Jembatan:
 - Nama jembatan : Jembatan Pulorejo-Blooto
 - Lokasi Jembatan : Kota Mojokerto
 - Panjang bentang : 130 meter
 - Lebar lantai kendaraan : 10,5 meter
 - Lebar trotoar : 1,35 m + 1,35m
 - Lebar total : 13,2 meter
 - Jenis Konstruksi : Jembatan Busur (direncanakan)
 - Bangunan Atas : Busur Box Baja (direncanakan)
 - Lokasi Jembatan : ≤ 5 km dari pantai (direncanakan)
 - Data Tanah : (terlampir)
- Data Bahan yang digunakan pada jembatan adalah sebagai berikut:
 - Mutu beton (f_c') : 35 Mpa
 - Mutu Tulangan lentur (f_y) : 360 Mpa
 - Mutu Tulangan geser (f_{ys}) : 360 Mpa
 - Modulus Elastisitas beton : 13.606 Mpa
 - Mutu Profil Baja : BJ 55
 - Tegangan Leleh (f_y) : 410 Mpa
 - Tegangan Putus (f_u) : 550 Mpa
 - Modulus Elastisitas baja : 20.000 Mpa

3.3 Preliminary desain

Preliminary desain yang diperlukan agar aman dengan cara sebagai berikut:

- Struktur Utama/Primer
 1. Perencanaan Plat lantai kendaraan (SNI T-12-2004):
 - $t_s \geq 200$ mm
 - $t_s \geq 100 + 40.1$ mm

dengan pengertian:

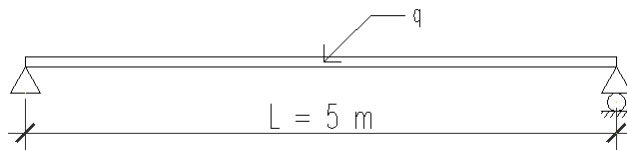
l : bentang pelat diukur dari pusat ke pusat tumpuan
(dalam meter), maka:

- $t_s \geq 100 + 40.l \text{ mm}$
- $\geq 100 + (40.1,75) \text{ mm}$
- $\geq 170 \text{ mm}$

Sehingga :

- tebal plat (t_s) yang digunakan 250 mm
- tebal aspal 50 mm

2. Perencanaan balok memanjang dan melintang



$$M_u \leq \Phi M_n$$

$$\frac{1}{8} \cdot q \cdot L^2 \leq Z_x \cdot f_y$$

3. Perencanaan batang penggantung

$$L = 130 \text{ m}$$

$$f = 1/5 L \text{ sampai } 1/8 L$$

$$= 1/5 \cdot 130 \text{m sampai } 1/8 \cdot 130 \text{m}$$

$$= 26 \text{ sampai } 16,25$$

$$f = 25 \text{ m}$$

$$x = 5 \text{ m (Jarak gelagar melintang)}$$

$$Y_n = \frac{4 \cdot f \cdot X \cdot (L - X)}{L^2}$$

Dimana Y_n = Panjang Penggantung

Tabel 3.1 Panjang Penggantungan

AS	X	Y _n
1	0	0,00
2	5	3,70
3	10	7,10
4	15	10,21
5	20	13,02
6	25	15,53
7	30	17,75
8	35	19,67
9	40	21,30
10	45	22,63
11	50	23,67
12	55	24,41
13	60	24,85
14	65	25,00
15	70	24,85

AS	X	Y _n
16	75	24,41
17	80	23,67
18	85	22,63
19	90	21,30
20	95	19,67
21	100	17,75
22	105	15,53
23	110	13,02
24	115	10,21
25	120	7,10
26	125	3,70
27	130	0,00

4. Perencanaan batang lengkung
Menggunakan rumus trigonometri

$$\Delta S_n = \sqrt{\Delta Y^2 + \Delta X^2}$$

Tabel 3.2 Panjang Penggantungan

Titik	Segmen	X (m)	Y (m)	ΔS_n (m)
1		0	0	
	1 - 2			6,219

2		5	3,698	
	2 - 3			6,048
3		10	7,101	
	3 - 4			5,886
4		15	10,207	
	4 - 5			5,736
5		20	13,018	
	5 - 6			5,597
6		25	15,533	
	6 - 7			5,470
7		30	17,751	
	7 - 8			5,357
8		35	19,675	
	8 - 9			5,258
9		40	21,302	
	9 - 10			5,174
10		45	22,633	
	10 - 11			5,106
11		50	23,669	
	11 - 12			5,054
12		55	24,408	
	12 - 13			5,020
13		60	24,852	
	13-14			5,002
14		65	25,000	
	14-15			5,002
15		70	24,852	
	15-16			5,020
16		75	24,408	

	16-17			5,054
17		80	23,669	
	17-18			5,106
18		85	22,633	
	18-19			5,174
19		90	21,302	
	19-20			5,258
20		95	19,675	
	20-21			5,357
21		100	17,751	
	21-22			5,470
22		105	15,533	
	22-23			5,597
23		110	13,018	
	23-24			5,736
24		115	10,207	
	24-25			5,886
25		120	7,101	
	25-26			6,048
26		125	3,698	
	26-27			6,219
27		130	0,000	

5. Perencanaan Perletakan
Perletakan direncanakan menggunakan sendi - rol

1. Beban Mati

- Berat profil-profil struktur itu sendiri, (dimodelkan dalam SAP)
- Pelat (beton)

$$= BJ_{\text{beton}} \times b1 \times t_{\text{pelat}}$$

$$= 2500 \text{ Kg/m}^3 \times 1,5\text{m} \times 0,25 \text{ m} = 397,5 \text{ kg/m}$$
- Aspal

$$= BJ_{\text{aspal}} \times b1 \times \text{tebal}_{\text{aspal}}$$

$$2200\text{m}^3 \times 1,5\text{m} \times (0,05) \text{ m} = 165 \text{ kg/m}$$
- Hujan

$$= \gamma_{\text{air}} \times b1 \times \text{tebal}_{\text{aspal}}$$

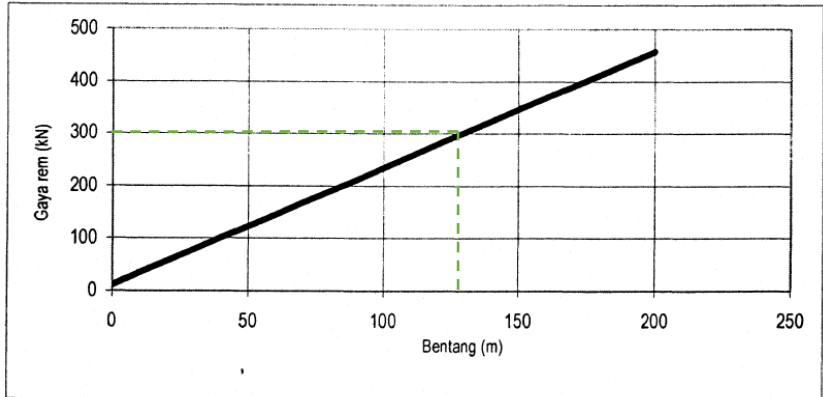
$$1000 \text{ kg/m}^3 \times 1,5\text{m} \times 0,05 \text{ m} = 75 \text{ kg/m}$$
- Beban kerb
RSNI T-02-2005 Pasal 12.1 beban kerb sebesar 15 kN/m
- Pejalan kaki
RSNI T-02-2005 Pasal 6.9
 $5 \text{ Kpa} \rightarrow 5\text{kN/m}^2 = (5\text{kN/m}^2 \times 1,35\text{m})/2 = 3,375 \text{ kN/m}$
- Beban Sandaran
RSNI T-02-2005 Pasal 12.5
beban pejalan kaki sebesar :
 $W \times L = 0,75\text{kN/m} \times 2,5\text{m} = 1,875 \text{ kN}$

2. Beban Hidup

- Beban truk :
Menurut SNI T-02-2005 ps. 6.4.1 tentang besarnya beban truk "T", beban T ditentukan sebesar 112.5 kN.
Untuk roda tengah dan belakang 112,5 kN= 11250 kg
Untuk roda depan 25 kN= 2500 kg
- Beban Lajur "D"
UDL : untuk $L > 30 \text{ m}$
 $q = 9.0 (0.5 + 15/L) \text{ kPa} \rightarrow 1\text{Kpa}=1\text{kN/m}^2$
 $9 \text{ kN/m}^2 (0,5+15/L)$
 $9 \text{ kN/m}^2 (0,5+15/130) \times 1,5\text{m} = 8,308 \text{ kN/m}$
KELL : $49 \text{ kN/m} \times (1+\text{DLA})$
 $49 \text{ kN/m} \times (1+0,3) = 63,7 \text{ kN/m}$

Beban Rem

$$L = 130 \text{ m} \rightarrow 300 \text{ kN} = 30000 \text{ kg (RSNI T-02-2005)}$$



Gambar 3.1 Gaya rem per lajur 2,75 m (KBU)

3. Beban Angin

Menurut SNI T 02-2005 Pasal 7.6 gaya nominal ultimate pada bangunan atas:

$$T_{EW} = 0,0006 \times C_w \times (V_w)^2 \times A_b$$

Dimana:

C_w = Koefisien seret (SNI T 02-2005 tabel 27) $\rightarrow 1,31$

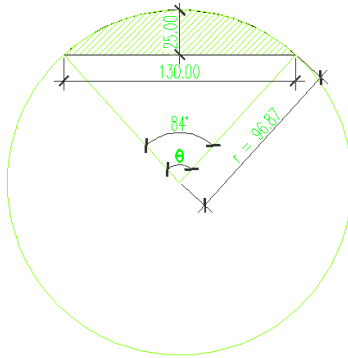
V_w = Kecepatan angin rencana
(SNI T 02-2005 tabel 28) $\rightarrow 35 \text{ m/s}$

A_b = Luas koefisien bag. Samping jembatan

Sedangkan gaya nominal ultimate padakendaraan sepanjang jembatan (bekerja pada lantai kendaraan)

$$T_{EW} = 0,0012 \times C_w \times (V_w)^2 \times A_b$$

Dengan pengertian $C_w = 1,2$



$$\begin{aligned}
 A_b &= L. \text{ Busur} = (\Theta/360^\circ \pi r^2) - (1/2 r^2 \sin \Theta) \\
 &= (84^\circ/360^\circ \pi (96,87^2)) - (1/2 (96,87^2) \sin 84^\circ) \\
 &= 2212,487 \text{ m}^2
 \end{aligned}$$

$$30\% A_b = 30\% \times 2212,487 \text{ m}^2 = 663,746 \text{ m}^2$$

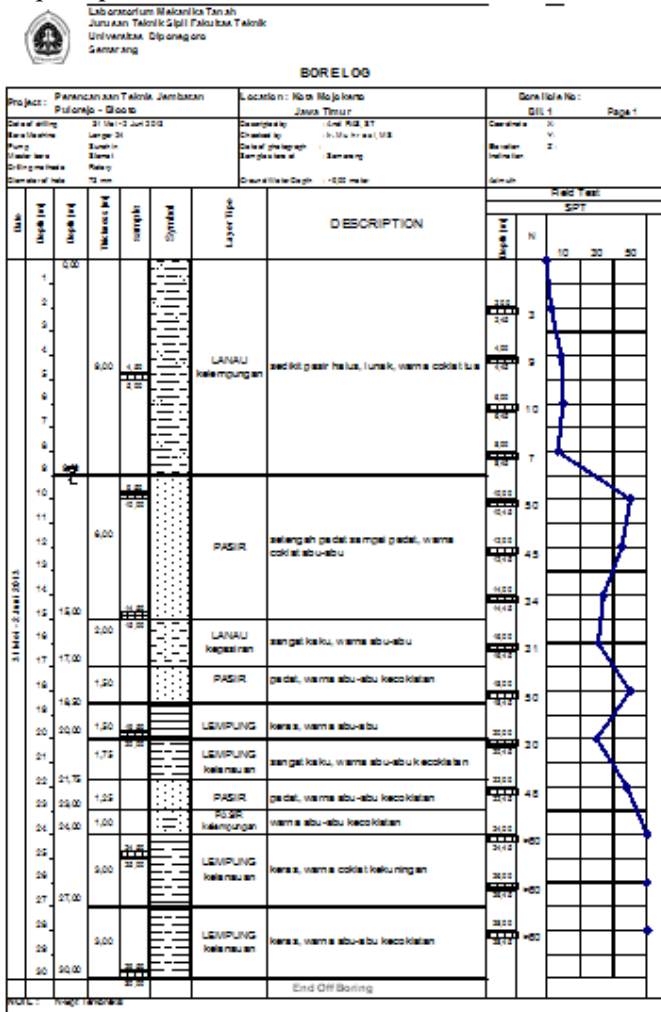
$$\begin{aligned}
 T_{EW1} &= 0,0006 \times C_w \times (V_w)^2 \times A_b \text{ 30\%} \\
 &= 0,0006 \times 1,31 \times (35\text{m/s})^2 \times (663,746 \text{ m}^2) \\
 &= 639,088 \text{ kN}
 \end{aligned}$$

$$\text{Di bagi jumlah titik buhul} = 639,088 \text{ kN} : 52 = 12,29 \text{ kN}$$

$$\begin{aligned}
 T_{EW2} &= 0,0012 \times C_w \times (V_w)^2 \times A_b \\
 &= 0,0012 \times 1,2 \times (35\text{m/s})^2 \times (663,746 \text{ m}^2) \\
 &= 1170,848 \text{ kN}
 \end{aligned}$$

$$\text{Di bagi jumlah titik buhul} = 1170,848 \text{ kN} : 54 = 21,68 \text{ kN}$$

4. Beban Gempa
 Untuk struktur jembatan ini beban gempa direncanakan dengan RSNI 2833: 201X, dengan metode analisa gempa respon spectrum



Gambar 3.2 Data tanah untuk menentukan jenis tanah

Lapisan tanah	Tebal Lapisan (meter)	Nilai SPT
1	9	7
2	6	43
3	2	31
4	1,5	50
5	3,25	30
6	1,25	48
7	1	60
9	3	60
10	3	60

30

$$\sum_{i=1}^n t_i \quad : 30 \text{ meter}$$

$$\sum_{i=1}^n \frac{t_i}{N_i} = \frac{t_1}{N_1} + \frac{t_2}{N_2} + \frac{t_3}{N_3} = 1,73$$

$$\bar{N} = \frac{\sum_{i=1}^n t_i}{\sum_{i=1}^n \frac{t_i}{N_i}} = 30 \text{ m} / 1,73 = 17,34 \text{ m}$$

Kondisi tanah : Tanah sedang (C)

Percepatan batuan dasar pada periode pendek (S_s) : 0,4 g

percepatan batuan dasar pada periode 1 detik (S₁) : 0,1 g

Peta percepatan puncak (PGA) di batuan dasar : 0,15 g

Faktor amplifikasi percepatan pada perioda pendek

(F_{PGA}/F_a) : 1,5

Faktor amplifikasi percepatan yang mewakili perioda 1 detik (F_v) : 2,4

Faktor modifikasi respon (R): 0,8

Zona Gempa : 1 ($S_{D1} \leq 0,15$)

S_{D1} : $F_v \times S_1$: $2,4 \times 0,1$ = 0,24

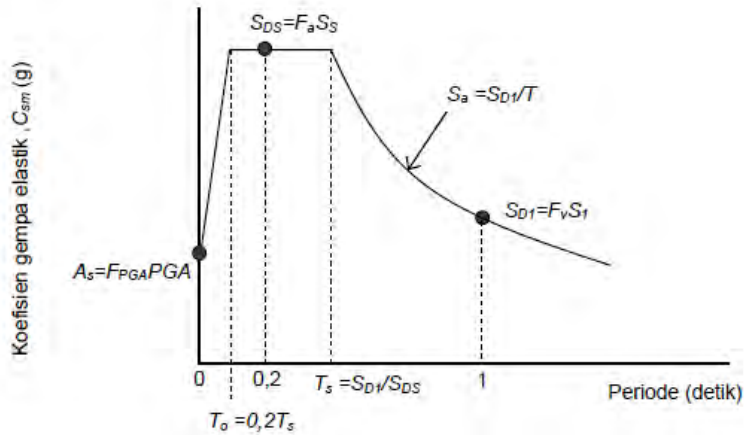
S_{DS} : $F_a \times S_s$: $1,5 \times 0,4$ = 0,6

T_s : S_{D1}/S_{DS} : $0,24/0,6$ = 0,4

T_0 : $0,2 \times T_s$: $0,2 \times 0,4$ = 0,08

A_s : $F_{PGA} \times PGA$: $1,5 \times 0,15$ = 0,025

Koefisien gempa elastik:



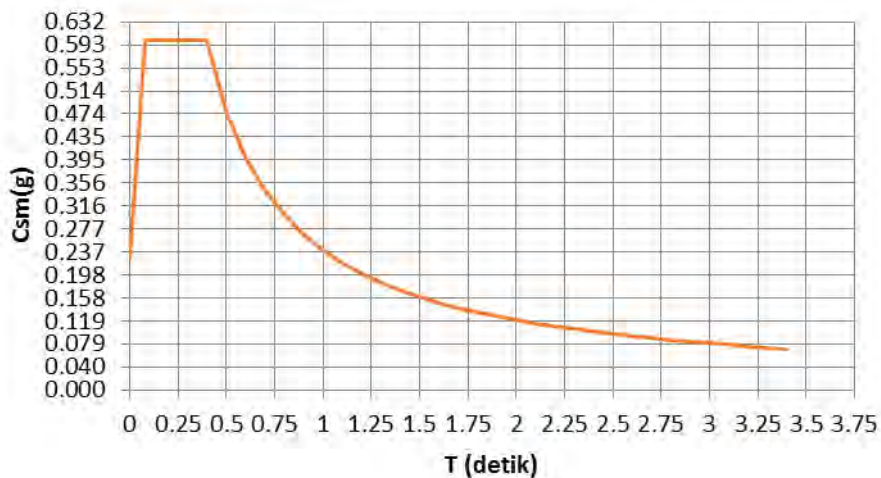
Gambar 3.3 Bentuk tipikal respons spektra di permukaan tanah

1. $C_{sm} = (S_{DS} - A_s) T / T_0 + A_s$
2. $C_{sm} = S_{DS}$
3. $C_{sm} = S_{D1} / T$

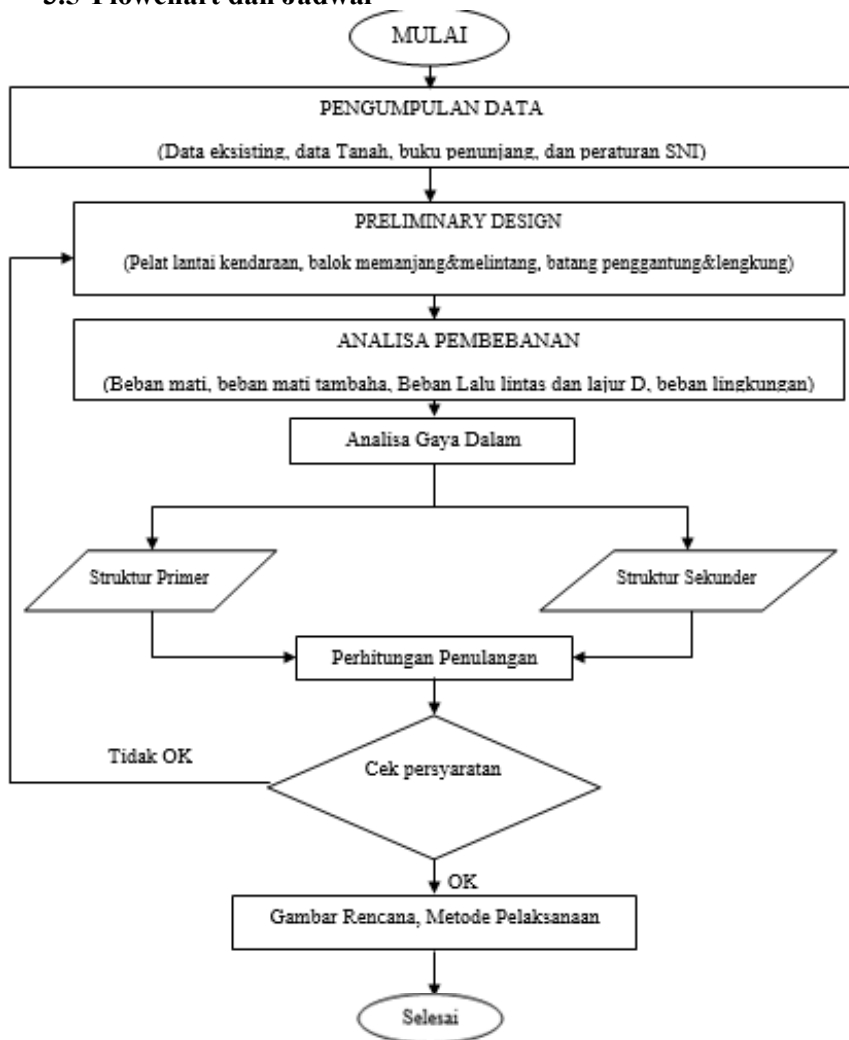
T (detik)	T (detik)	Csm (g)
0	0	0,225
To	0,080	0,600
Ts	0,400	0,600
Ts+0,1	0,500	0,480
Ts+0,2	0,600	0,400
Ts+0,3	0,700	0,343
Ts+0,4	0,800	0,300
Ts+0,5	0,900	0,267
Ts+0,6	1,000	0,240
Ts+0,7	1,100	0,218
Ts+0,8	1,200	0,200
Ts+0,9	1,300	0,185
Ts+1,0	1,400	0,171
Ts+1,1	1,500	0,160
Ts+1,2	1,600	0,150
Ts+1,3	1,700	0,141
Ts+1,4	1,800	0,133
Ts+1,5	1,900	0,126
Ts+1,6	2,000	0,120
Ts+1,7	2,100	0,114
Ts+1,8	2,200	0,109
Ts+1,9	2,300	0,104
Ts+2,0	2,400	0,100
Ts+2,1	2,500	0,096
Ts+2,2	2,600	0,092
Ts+2,3	2,700	0,089

Ts+2,4	2,800	0,086
Ts+2,5	2,900	0,083
Ts+2,6	3,000	0,080
Ts+2,7	3,100	0,077
Ts+2,8	3,200	0,075
Ts+2,9	3,300	0,073
Ts+3,0	3,400	0,071

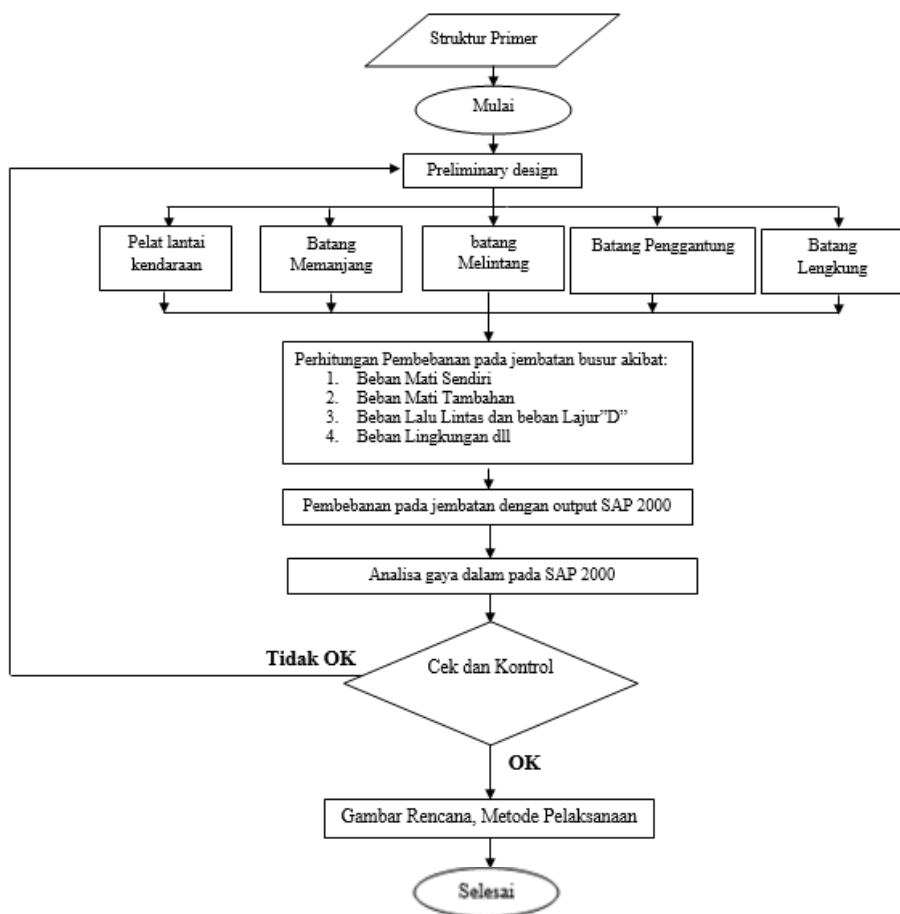
RESPONS SPEKTRUM 10% 50 TAHUN (500th)



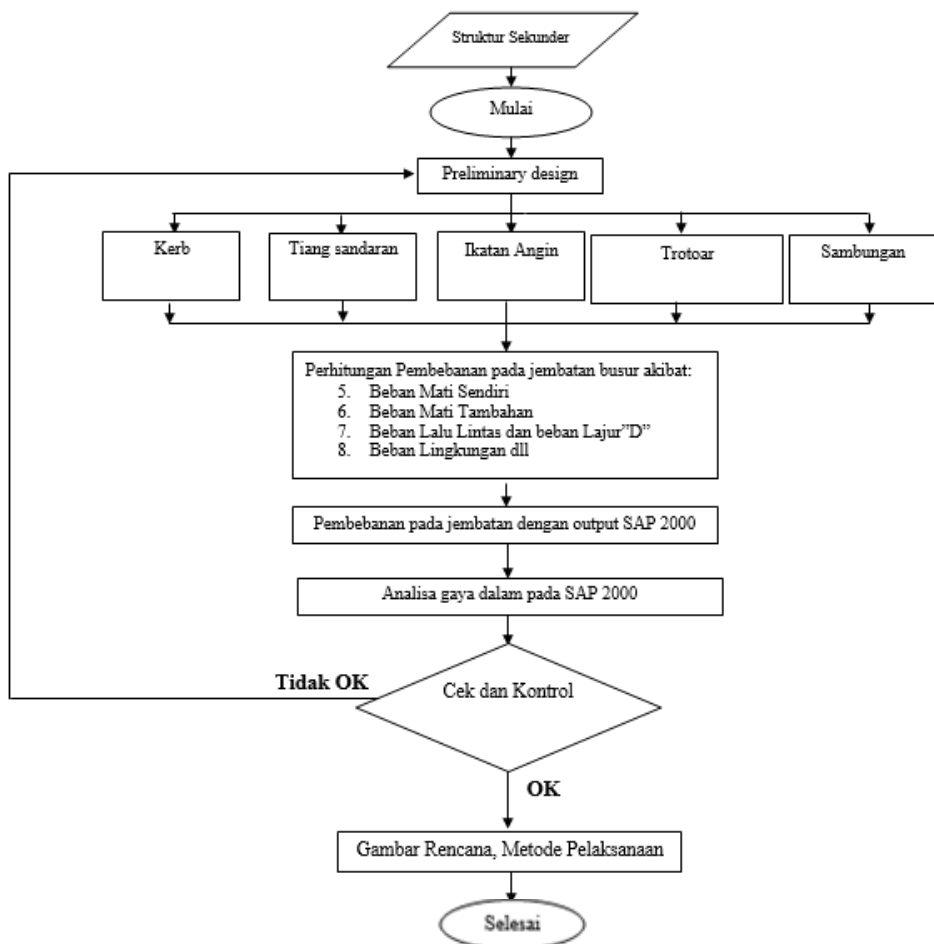
3.5 Flowchart dan Jadwal



3.5.1 Flowchart Struktur Primer



3.5.2 Flowchart Struktur Sekunder



BAB IV PERENCANAAN STRUKTUR UTAMA

4.1 Perencanaan Tebal Pelat Lantai Kendaraan

4.1.1 Perencanaan Dimensi Pelat

➤ Data Perencanaan:

• Bentang sumbu panjang (l_y) = 5,00 m

• Bentang sumbu pendek (l_x) = 1,50 m

$$\frac{l_y}{l_x} = \frac{5,00 \text{ m}}{1,50 \text{ m}} = 3,33 \geq 2 \text{ (one way slab)}$$

Berdasarkan SNI T-12-2004 Pasal 5.5.2. Pelat lantai yang berfungsi sebagai lantai kendaraan pada jembatan harus mempunyai tebal minimum t_s memenuhi kedua ketentuan:

- $t_s \geq 200 \text{ mm}$
- $t_s \geq (100 + 40 l) \text{ mm}$
 $\geq (100 + 40 \cdot 1500) \text{ mm}$
 $\geq 160 \text{ mm}$

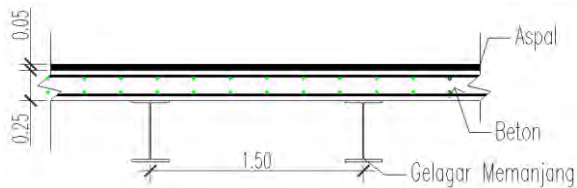
Dengan pengertian :

l = bentang pelat diukur dari pusat ke pusat tumpuan

t_s = tebal slab/pelat

Sehingga direncanakan :

- Tebal = 250 mm
- Tebal aspal = 50 mm (RSNI T 02-2005 Psl. 5.3.2)



Gambar 4.1 Potongan Melintang Pelat Lantai Kendaraan

4.1.2 Pembebanan Pelat Lantai Kendaraan

Pembebanan pada pelat lantai kendaraan menggunakan kombinasi antara beban mati dan beban hidup

➤ Faktor Beban

- Beton cor ditempat $\rightarrow K_{MS}^u = 1,3$
(Tabel 2-RSNI T-02-2005)
- Muatan Truk $\rightarrow K_{TT}^u = 1,8$
(Tabel 12-RSNI T-02-2005)
- $\gamma_{Beton} = 25 \text{ kN/m}^3$
- $\gamma_{Aspal} = 22 \text{ kN/m}^3$
- $\gamma_{Air \text{ hujan}} = 10 \text{ kN/m}^3 \rightarrow K_{EF}^s = 1$

➤ Pembebanan

a. Beban mati (dihitung per 1 m panjang)

- Berat sendiri pelat $= t_s \times \gamma_{beton} \times 1 \text{ m} \times K_{MS}^u$
 $= 0,25 \text{ m} \times 2500 \text{ kg/m}^3 \times 1 \text{ m} \times 1,3$
 $= 812,5 \text{ kg/m}$
- Berat aspal $= t_{aspal} \times \gamma_{beton} \times 1 \text{ m} \times K_{MS}^u$
 $= 0,05 \text{ m} \times 2200 \text{ kg/m}^3 \times 1 \text{ m} \times 1,3$
 $= 143,0 \text{ kg/m}$
- Berat Air Hujan $= \gamma_{air} \times t_{air \text{ hujan}} \times K_{EF}^s$
 $= 1000 \text{ kg/m}^3 \times 0,05 \text{ m} \times 1$
 $= 50 \text{ kg/m}$

Total Beban mati (q_D) = 1005,5 kg/m

b. Beban hidup

Menurut SNI T-02-2005 ps. 6.4.1

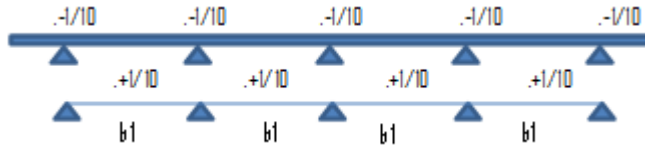
- Beban truk "T" = 112,5 kN = 11,25 Ton = 11250 kg
- Faktor kejut (DLA = *Dynamic Load Allowance*)
 $= 0,3 \dots$ (BMS 2.3.6) untuk bentang $L \geq 100 \text{ m}$
 $T_u = 11250 \text{ kg} \times (1+0,3) \times 1,8$

$$= 26325 \text{ kg}$$

$$\text{Total Beban Hidup } (q_L) = 26325 \text{ kg}$$

4.1.3 Perhitungan Momen

Untuk balok menerus, rumus sederhana perhitungan momen adalah sbb:



Gambar 4.2 Momen Balok Menerus Potongan Melintang

➤ **Momen akibat beban mati**

$$M_D = \frac{1}{10} \times q_D \times b1^2$$

$$= \frac{1}{10} \times 1005,5 \text{ kg/m} \times (1,5\text{m})^2$$

$$= 226,24 \text{ kg.m}$$

➤ **Momen akibat beban hidup**

$$M_L = 0,8 \times (b1 + 0,6) \text{Tu}/10$$

$$= 0,8 \times (1,5\text{m} + 0,6) 26325 \text{ kg}/10$$

$$= 4422,60 \text{ kg.m}$$

$$\mathbf{Mu} = M_D + M_L$$

$$= \mathbf{226,24 \text{ kg.m} + 4422,60 \text{ kg.m} = 4648,84 \text{ kg.m}}$$

4.1.4 Perhitungan Penulangan

➤ Data Perencanaan:

- f_y = 360 Mpa
- f_c' = 35 Mpa
- β_1 = $0,85 - 0,008 \times (f_c' - 30)$
 $= 0,85 - 0,008 \times (35 - 30) = 0,81$
(RSNI T-12-2004 Pasal 5.1.1) dan tidak boleh diambil kurang dari 0,65
- d' = 40 mm (RSNI T-12-2004 Tabel 4.6-7)
- t_s = 250 mm

- $\phi_{\text{lentur}} = 0,8$ (RSNI T-12-2004 Tabel 4.5-2)
- $\phi_{\text{geser}} = 0,7$ (RSNI T-12-2004 Tabel 4.5-2)
- $b = 1000$ mm
- Diameter tulangan $\rightarrow D = 16$ mm
 $\rightarrow \emptyset = 13$ mm
- $d_x = t_s - d' - \frac{1}{2} D$
 $= 250\text{mm} - 40\text{mm} - \frac{1}{2} 16\text{mm} = 202,0$ mm
- $d_y = t_s - d' - D - \frac{1}{2} D$
 $= 250\text{mm} - 40\text{mm} - 16\text{mm} - \frac{1}{2} 16\text{mm} = 188$ mm

4.1.4.1 Perhitungan Penulangan Melintang

$$\rho_{\text{balance}} = \frac{0,85 \times f_c' \times \beta_1 \left(\frac{600}{600 + f_y} \right)}{f_y}$$

$$= \frac{0,85 \times 35 \times 0,81 \left(\frac{600}{600 + 360} \right)}{400}$$

$$= 0,0418$$

$$\rho_{\text{min}} = \frac{1,4}{f_y} = \frac{1,4}{360} = 0,0039$$

$$\rho_{\text{max}} = 0,5 \times \rho_{\text{balance}} = 0,5 \times 0,0418 = 0,0209$$

(SNI 03-2847-2013 Pasal B.8.4.2)

$$m = \frac{f_y}{0,85 \cdot f_c'} = \frac{360}{0,85 \cdot 35} = 12,10$$

$$M_n = \frac{M_u}{\phi} = \frac{46488375}{0,8} = 58110469 \text{ Nmm}$$

$$R_n = \frac{M_n}{b \cdot d_x^2} = \frac{58110469 \text{ Nmm}}{1000 \cdot (202,0\text{mm})^2} = 1,42 \text{ N/mm}^2 \text{ (Mpa)}$$

$$\rho_{\text{perlu}} = \frac{1}{m} \left(1 - \frac{2 \cdot m \cdot R_n}{f_y} \right)$$

$$= \frac{1}{12,10} \left(1 - \sqrt{\frac{2 \cdot 12,10 \cdot 1,42}{360}} \right)$$

$$= 0,0041$$

$$\rho_{\text{min}} < \rho_{\text{perlu}} < \rho_{\text{maks}}$$

$$0,0039 < 0,0041 < 0,0209 \rightarrow \text{(OK)}$$

$$A_{S_{\text{perlu}}} = \rho_{\text{perlu}} \times b \times d_x$$

$$= 0,0041 \times 1000 \times 202,0 = 819,2 \text{ mm}^2$$

Kontrol jarak spasi tulangan

$$\begin{aligned} S_{\max} &\leq 2 \cdot h \\ &\leq 2 \cdot 250 \text{ mm} \\ &\leq 500 \text{ mm} \end{aligned}$$

Dipakai tulangan D16, sehingga jarak antar tulangan:

$$\begin{aligned} S &= \frac{0,25 \cdot \pi \cdot D^2 \cdot b}{A_{s \text{ perlu}}} \\ &= \frac{0,25 \cdot \pi \cdot 16^2 \cdot 1000}{819,2 \text{ mm}^2} = 245,31 \text{ mm} \end{aligned}$$

$$S = 200 \text{ mm} < 500 \text{ mm} \quad (\text{Ok})$$

$$S_{\text{pakai}} = 200 \text{ mm}$$

Tulangan yang dipakai D16-200 mm

$$\begin{aligned} A_{S_{\text{pakai}}} &= \frac{0,25 \cdot \pi \cdot D^2 \cdot b}{S_{\text{pakai}}} \\ &= \frac{0,25 \cdot \pi \cdot 16^2 \cdot 1000}{200 \text{ mm}} \\ &= 1004,8 \text{ mm}^2 > A_{S_{\text{perlu}}} = 819,2 \text{ mm}^2 \rightarrow (\text{OK}) \end{aligned}$$

4.1.4.2 Perhitungan Penulangan Memanjang

Tulangan susut dan suhu

$$\begin{aligned} A_s &= 0,002 \times b \times d_y \\ &= 0,002 \times 1000 \times 188 \text{ mm} = 375 \text{ mm}^2 \end{aligned}$$

Jarak antar tulangan yang diperlukan

$$\begin{aligned} S_{\text{perlu}} &= \frac{0,25 \cdot \pi \cdot \emptyset^2 \cdot b}{A_s} \\ &= \frac{0,25 \cdot \pi \cdot 13^2 \cdot 1000}{375 \text{ mm}^2} = 353,77 \text{ mm} \end{aligned}$$

$$S_{\max} \leq 5 h \text{ atau } \leq 450 \text{ mm}$$

(SNI 03-2847-2013 Pasal 7.12.2.2)

$$\begin{aligned} S_{\max} &\leq 5 h \\ &\leq 5 \times 150 \text{ mm} \\ &\leq 750 \text{ mm} \end{aligned}$$

$$S_{\text{perlu}} = 353,77 \text{ mm} < S_{\text{maks}} = 450 \text{ mm}$$

$$S_{\text{pakai}} = 300 \text{ mm}$$

Jadi dipasang tulangan $\emptyset 13$ -300mm

$$\begin{aligned}
 A_{S_{\text{pakai}}} &= \frac{0,25 \cdot \pi \cdot \phi^2 \cdot b}{S_{\text{pakai}}} \\
 &= \frac{0,25 \cdot \pi \cdot 13^2 \cdot 1000}{300 \text{ mm}} \\
 &= 442,2 \text{ mm}^2 > A_{s \text{ susut}} = 375 \text{ mm}^2 \rightarrow (\text{OK})
 \end{aligned}$$

4.1.4.3 Perhitungan Penulangan Kerb

➤ Data Perencanaan:

$$f_y = 360 \text{ Mpa}$$

$$f_c' = 35 \text{ Mpa}$$

$$\beta_1 = 0,81$$

$$t = 150 \text{ mm}$$

$$\phi_{\text{lentur}} = 0,8$$

$$b = 1000 \text{ mm}$$

$$h = 200 \text{ mm}$$

$$d' = 20 \text{ mm}$$

$$K_u \text{TP} = 1,8$$

Diameter tulangan $\rightarrow D = 12 \text{ mm}$ (Tulangan lentur)

$\rightarrow \phi = 8 \text{ mm}$ (Tulangan Pembagi)

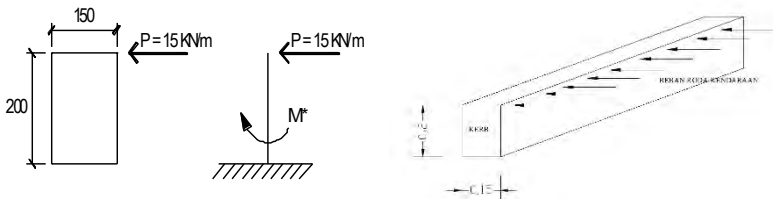
$$d_x = t_p - d' - \frac{1}{2} D$$

$$= 200 \text{ mm} - 20 \text{ mm} - \frac{1}{2} 12 \text{ mm} = 174 \text{ mm}$$

$$d_y = t_p - d' - D - \frac{1}{2} D$$

$$= 200 \text{ mm} - 20 \text{ mm} - 12 \text{ mm} - \frac{1}{2} 12 \text{ mm}$$

$$= 164 \text{ mm}$$



Gambar 4.3 Gaya yang bekerja pada kerb

$$\begin{aligned}
 M_u &= P \times b \times t \times K_u TP \\
 &= 15 \text{ kN/m} \times 1 \text{ m} \times 0,15 \text{ m} \times 1,8 \\
 &= 4,05 \text{ kN.m} = 5062500 \text{ Nmm} \\
 M_n &= \frac{M_u}{\phi} = \frac{4050000}{0,8} = 5062500 \text{ Nmm}
 \end{aligned}$$

Perhitungan Tulangan:

$$\begin{aligned}
 \rho_{\text{balance}} &= \frac{0,85 \times f_c' \times \beta_1}{f_y} \left(\frac{600}{600 + f_y} \right) \\
 &= \frac{0,85 \times 35 \times 0,81}{400} \left(\frac{600}{600 + 360} \right) = 0,0418 \\
 \rho_{\text{min}} &= \frac{1,4}{f_y} = \frac{1,4}{360} = 0,0039 \\
 \rho_{\text{max}} &= 0,5 \times \rho_{\text{balance}} = 0,5 \times 0,0418 = 0,0209 \\
 &\text{(SNI 03-2847-2013 Pasal B.8.4.2)} \\
 m &= \frac{f_y}{0,85 \cdot f_c'} = \frac{360}{0,85 \cdot 35} = 12,10
 \end{aligned}$$

$$\begin{aligned}
 R_n &= \frac{M_n}{b \cdot d_x^2} = \frac{5062500 \text{ Nmm}}{1000 \cdot (174 \text{ mm})^2} = 0,17 \text{ N/mm}^2 \text{ (Mpa)} \\
 \rho_{\text{perlu}} &= \frac{1}{m} \left(1 - \frac{2 \cdot m \cdot R_n}{f_y} \right) \\
 &= \frac{1}{12,10} \left(1 - \sqrt{\frac{2 \cdot 12,10 \cdot 0,17}{360}} \right) \\
 &= 0,0005
 \end{aligned}$$

$$\rho_{\text{min}} < \rho_{\text{perlu}} < \rho_{\text{maks}} \\
 0,0039 < 0,0005 < 0,0209 \rightarrow \text{(pakai } \rho_{\text{min}})$$

$$\begin{aligned}
 A_{s_{\text{perlu}}} &= \rho_{\text{min}} \times b \times d_x \\
 &= 0,0039 \times 1000 \times 174 \text{ mm} = 676,67 \text{ mm}^2
 \end{aligned}$$

Kontrol jarak spasi tulangan

$$\begin{aligned}
 S_{\text{max}} &\leq 2 \cdot h \\
 &\leq 2 \cdot 200 \text{ mm} \\
 &\leq 400 \text{ mm}
 \end{aligned}$$

Dipakai tulangan D12, sehingga jarak antar tulangan:

$$S = \frac{0,25 \cdot \pi \cdot D^2 \cdot b}{A_{s_{\text{perlu}}}}$$

$$= \frac{0,25 \cdot \pi \cdot 12^2 \cdot 1000}{676,67 \text{ mm}^2} = 167,05 \text{ mm}$$

$$S = 167,05 \text{ mm} < 400 \text{ mm} \quad (\text{Ok})$$

$$S_{\text{pakai}} = 150 \text{ mm}$$

Tulangan yang dipakai D12-150 mm

$$\begin{aligned} A_{S_{\text{pakai}}} &= \frac{0,25 \cdot \pi \cdot D^2 \cdot b}{S_{\text{pakai}}} \\ &= \frac{0,25 \cdot \pi \cdot 12^2 \cdot 1000}{150 \text{ mm}} \\ &= 745 \text{ mm}^2 > A_{S_{\text{perlu}}} = 676,67 \text{ mm}^2 \rightarrow (\text{OK}) \end{aligned}$$

Tulangan susut dan suhu

$$A_s = 0,002 \times b \times d_y$$

$$= 0,002 \times 1000 \times 164 \text{ mm} = 328 \text{ mm}^2$$

Jarak antar tulangan yang diperlukan

$$\begin{aligned} S_{\text{perlu}} &= \frac{0,25 \cdot \pi \cdot \phi^2 \cdot b}{A_s} \\ &= \frac{0,25 \cdot \pi \cdot 8^2 \cdot 1000}{328 \text{ mm}^2} = 153,17 \text{ mm} \end{aligned}$$

$$S_{\text{maks}} \leq 5 h \text{ atau } \leq 450 \text{ mm}$$

(SNI 03-2847-2013 Pasal 7.12.2.2)

$$S_{\text{maks}} \leq 5 h$$

$$\leq 5 \times 200 \text{ mm}$$

$$\leq 1000 \text{ mm}$$

$$S_{\text{perlu}} = 153,17 \text{ mm} < S_{\text{maks}} = 450 \text{ mm}$$

$$S_{\text{pakai}} = 150 \text{ mm}$$

Jadi dipasang tulangan Ø8-150mm

$$\begin{aligned} A_{S_{\text{pakai}}} &= \frac{0,25 \cdot \pi \cdot \phi^2 \cdot b}{S_{\text{pakai}}} \\ &= \frac{0,25 \cdot \pi \cdot 8^2 \cdot 1000}{150 \text{ mm}} \\ &= 334,9 \text{ mm}^2 > A_s \text{ susut} = 328 \text{ mm}^2 \rightarrow (\text{OK}) \end{aligned}$$

4.1.5 Perhitungan Tiang dan Pipa Sandaran

Data perencanaan:

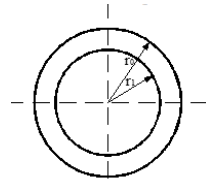
Panjang Bentang = 130 m

Jarak tiang sandaran = 2,5 m

Bahan yang digunakan:

- Tiang Sandaran:
 - Mutu Beton (f_c') = 35 Mpa
 - Mutu baja (f_y) = 360 Mpa
 - W sandaran = 0,75 kN/m
- (RSNI T-02-2005 Psl. 12.5)

- Pipa Sandaran
 - Diameter luar (do) = 60,5 mm
 - Berat pipa (q) = 5,57 kg/m
 - Tebal pipa (t) = 4 mm
 - Momen Inersia (I) = 28,5 cm⁴
 - Mutu baja BJ 50 → $f_y = 290$ Mpa
 - $f_u = 500$ Mpa



Gambar 4.3 Profil Pipe

4.1.5.1 Perhitungan Momen pada Pipa Sandaran

1. Akibat beban sendiri/berat pipa sandaran

$$M_{VD} = \frac{1}{8} q l^2 = \frac{1}{8} \cdot 5,57 \text{ kg/m} \cdot (2,5\text{m})^2$$

$$= 4,35 \text{ kg.m} = 0,0435 \text{ kN.m}$$

2. Akibat beban vertikal

$$M_{VL} = \frac{1}{8} w l^2 = \frac{1}{8} \cdot 0,75 \text{ kg/m} \cdot (2,5\text{m})^2$$

$$= 58,6 \text{ kg.m} = 0,586 \text{ kN.m}$$

$$M_V = M_{VD} + M_{VL} = 0,0435 \text{ kN.m} + 0,586 \text{ kN.m}$$

$$= 0,629 \text{ kN.m} = 62,945 \text{ kg.m}$$

3. Akibat beban horizontal

$$M_H = \frac{1}{8} w l^2 = \frac{1}{8} \cdot 0,75 \text{ kg/m} \cdot (2,5\text{m})^2$$

$$= 58,6 \text{ kg.m} = 0,586 \text{ kN.m}$$

4. Momen Resultan (M_R)

$$M_R = \sqrt{M_v^2 + M_H^2}$$

$$= 0,629 \text{ kN.m} + 0,586 \text{ kN.m} = 0,86 \text{ kN.m}$$

4.1.5.2 Cek Kekuatan Profil Pipa Sandaran

Batas kelangsingan profil

$$\lambda = \frac{d_o}{r} = \frac{60,5}{4} = 15,13$$

$$\lambda_p = \frac{14800}{f_y} = \frac{14800}{290} = 51,03$$

Karena $\lambda < \lambda_p$ (penampang kompak)

$$M_n = M_p = Z_x \times f_y = 12790 \text{ mm}^3 \times 290 \text{ N/mm}^2$$

$$= 3709196,667 \text{ N}$$

$$\phi M_n = 0,9 \cdot M_n = 0,9 \cdot 3709196,667 \text{ N}$$

$$= 3338277 \text{ N.mm} = 3,34 \text{ kN.m}$$

Syarat : $\phi M_n > M_n = 3,34 \text{ kN.m} > 0,86 \text{ kN.m} \rightarrow \text{Ok}$

4.1.5.3 Lendutan Pipa Sandaran

$$\delta_{ijin} = \frac{L}{240} = \frac{250 \text{ cm}}{240} = 1,042 \text{ cm}$$

$$\delta_{sterjadi} = \frac{5 \cdot q_x \cdot L^2}{384 \cdot E \cdot I} = \frac{5 \cdot (5,57 \frac{\text{kg}}{\text{m}} + 0,75 \frac{\text{kg}}{\text{m}}) \cdot (2,5\text{m})^2}{384 \cdot 20000 \text{ Mpa} \cdot 28,5 \text{ cm}^4}$$

$$= 0,0072 \text{ m} = 0,72 \text{ cm}$$

$$\delta_{sterjadi} = \frac{5 \cdot q_y \cdot L^2}{384 \cdot E \cdot I} = \frac{5 \cdot 0,75 \frac{\text{kg}}{\text{m}} \cdot (2,5\text{m})^2}{384 \cdot 20000 \text{ Mpa} \cdot 28,5 \text{ cm}^4}$$

$$= 0,0067 \text{ m} = 0,67 \text{ cm}$$

$$\text{Resultan } \delta = \sqrt{\delta_x^2 + \delta_y^2} = \sqrt{0,72 \text{ cm}^2 + 0,67 \text{ cm}^2}$$

$$= 0,982 \text{ cm}$$

Syarat : $\delta_{ijin} > \text{Resultan } \delta = 1,042 \text{ cm} > 0,982 \text{ cm} \rightarrow \text{Ok}$

4.1.6 Perhitungan Kolom Sandaran

$$\begin{aligned} b &= 20 \text{ cm} \\ h &= 20 \text{ cm} \\ L &= 1,2 \text{ m} \\ \gamma_{\text{beton}} &= 2500 \text{ kg/m}^3 \end{aligned}$$

$$\begin{aligned} \text{Diameter tulangan} &\rightarrow D = 12\text{mm (Tulangan lentur)} \\ &\rightarrow \emptyset = 8 \text{ mm (Tulangan Pembagi)} \end{aligned}$$

$$\begin{aligned} dx &= tp - \text{decking} - \frac{1}{2} D \\ &= 200\text{mm} - 20 \text{ mm} - 8\text{mm} - \frac{1}{2} 12\text{mm} = 166 \text{ mm} \end{aligned}$$

$$\begin{aligned} \text{Berat sendiri kolom} &= b \times h \times L \times \gamma_{\text{beton}} \\ &= 0,2\text{m} \times 0,2\text{m} \times 1,2\text{m} \times 2500\text{kg/m}^3 \\ &= 120 \text{ kg} \end{aligned}$$

$$\begin{aligned} \text{Berat pipa sandaran} &= q_{\text{pipa}} \times \text{jarak antar kolom} \\ &= (2 \times 5,57 \text{ kg/m}) \times 2,5\text{m} \\ &= 27,9 \text{ kg} \end{aligned}$$

$$\begin{aligned} P_D &= \text{Berat sendiri kolom} + \text{Berat pipa sandaran} \\ &= 120 \text{ kg} + 27,9 \text{ kg} = 147,9 \text{ kg} \\ M_D &= P_D \times b/2 = 147,9 \text{ kg} \times 0,2\text{m}/2 = 14,785 \text{ kg.m} \\ P_L &= q_L \times L = 75 \text{ kg/m} \times 1,2 \text{ m} = 90 \text{ Kg} \\ M_L &= P_L \times \text{tinggi kolom} = 90 \text{ Kg} \times 1,2 \text{ m} = 108 \text{ kg.m} \\ \text{Dimana : } P_D &= \text{ gaya yang terjadi akibat beban mati} \\ M_D &= \text{ Momen yang terjadi akibat beban mati} \\ P_L &= \text{ gaya yang terjadi akibat beban hidup} \\ M_L &= \text{ Momen yang terjadi akibat beban hidup} \\ P_u &= 1,2 P_D + 1,6 P_L = 1,2 (147,9 \text{ kg}) + 1,6 (90 \text{ Kg}) \\ &= 321,4 \text{ kg} = 3214 \text{ N} \\ M_u &= 1,2 M_D + 1,6 M_L \\ &= 1,2 (14,785 \text{ kg.m}) + 1,6 (108 \text{ kg.m}) \\ &= 190,542 \text{ kg.m} = 1905420 \text{ N.mm} \\ M_n &= \frac{M_u}{\phi} = \frac{1905420 \text{ N.mm}}{0,8} = 2381775 \text{ N.mm} \\ \frac{M_n}{b \cdot h^2} &= \frac{2381775 \text{ N.mm}}{200\text{mm} \cdot (200\text{mm})^2} = 0,298 \end{aligned}$$

$$\frac{P_u}{b \cdot h} = \frac{3214 \text{ N}}{200\text{mm} \cdot 200\text{mm}} = 0,08$$

Dari grafik didapatkan: $\rho = 1\%$

$$A_s = \rho \times b \times d = 0,01 \times 200\text{mm} \times 166\text{mm} = 332 \text{ mm}^2$$

Dipasang 4Ø12 \rightarrow A_s pasang = 452,39 mm²

4.1.6.1 Perencanaan tulangan geser

$$V_u = 90 \text{ kg} = 900 \text{ kN}$$

$$V_c = \frac{1}{6} \sqrt{f_c'} b w d = \frac{1}{6} \sqrt{35} \cdot 200\text{mm} \cdot 166\text{mm} \\ = 32736\text{N}$$

$$\phi V_c = 0,6 \cdot 32736 \text{ N} = 19641 \text{ N}$$

Karena $V_u \leq \phi V_c \rightarrow$ (tidak perlu tulangan geser)

pasang tul. Geser minimum

$$S_{\max} = \frac{1}{2} d = \frac{1}{2} \cdot 166 \text{ mm} = 83 \text{ mm}$$

$$A_s = (1/4 \cdot \pi \cdot d^2) \times 2 = (0,25 \times \pi \times 8^2) \times 2 = 100,53 \text{ mm}^2$$

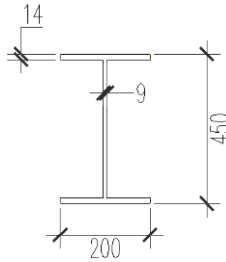
$$S = \frac{A_v \times f_y}{\frac{1}{s} \sqrt{f_c'} b} = \frac{100,53 \text{ mm}^2 \times 360 \text{ Mpa}}{\frac{1}{s} \sqrt{35 \text{ Mpa}} 200\text{mm}} = 91,76 \text{ mm}$$

Pasang Φ 8-90mm

4.2 Perencanaan Balok Memanjang

4.2.1 Perencanaan Balok Memanjang

- Direncanakan menggunakan Profil: WF 450.200.9.14



Gambar 4.5 Profil Balok Memanjang

$$\begin{aligned}
 A &= 96,76 \text{ cm}^2 \\
 w &= 76 \text{ kg/m} &= 0,760 \text{ kN/m} \\
 Z_x &= 1490 \text{ cm}^3 \\
 Z_y &= 187 \text{ cm}^3 \\
 I_x &= 33500 \text{ cm}^4 \\
 I_y &= 1870 \text{ cm}^4 \\
 i_x &= 18,6 \text{ cm} \\
 i_y &= 4,4 \text{ cm} \\
 r &= 18 \text{ mm} \\
 d &= 450 \text{ mm} \\
 t_f &= 14 \text{ mm} \\
 h &= d - 2(t_f + r) = 386 \text{ mm}
 \end{aligned}$$

- Data Bahan:

$$\begin{aligned}
 B_J &= 55 \\
 f_y &= 4100 \text{ kg/cm}^2 \\
 f_u &= 5500 \text{ kg/cm}^2 \\
 E &= 2 \times 10^6 \text{ kg/cm}^2 \\
 J &= \frac{1}{3} \times (2 \times b \times t_f^3 + d \times t_w^3) = 475216,6667 \text{ mm}^4 \\
 C_w &= \frac{1}{12} \times t_f \times b f^3 \times \frac{(\sqrt{h t_f + t_f})^2}{2} = 1,004 \times 10^{12} \text{ mm}^6 \\
 G &= 80.000 \text{ Mpa} \quad (\text{RSNI T-03-2005 Pasal 4.1.1})
 \end{aligned}$$

$$\begin{aligned}
 X_1 &= \frac{\pi}{S_x} \sqrt{\frac{E \cdot G \cdot J \cdot A}{2}} \quad (\text{RSNI T-03-2005 tabel 8}) \\
 &= \frac{\pi}{1490000} \sqrt{\frac{200.000.80000.475216.6667.9676}{2}} \\
 &= 12781,50914 \text{ Mpa} \\
 X_2 &= 4 \left(\frac{S_x}{G \cdot J} \right)^2 \frac{I_w}{I_y} \quad (\text{RSNI T-03-2005 tabel 8}) \\
 &= 0,000330119 \text{ mm}^4/\text{N}^2
 \end{aligned}$$

➤ **Pembebanan:**

a. **Beban mati**

- **Beban pelat beton**

$$= t_{\text{plat}} \times \gamma_{\text{beton}} \times b1$$

$$= 0,25 \text{ m} \times 25 \text{ kN/m}^3 \times 1,50 \text{ m}$$

$$= 9,38 \text{ kN/m}$$

→ Faktor beban = 1,3

- **Beban aspal**

Lapisan aspal harus direncanakan untuk pelapisan kembali setebal 50 mm yang ditambahkan pada lapisan awal (RSNI T-02 2005 p. 5.3.2).

$$= t_{\text{aspal}} \times \gamma_{\text{aspal}} \times b1$$

$$= 0,05 \text{ m} \times 22 \text{ kN/m}^3 \times 1,50 \text{ m}$$

$$= 1,65 \text{ kN/m}$$

→ Faktor beban = 1,3

- **Beban bekisting**

$$= 0,5 \text{ kN/m} \times b1$$

$$= 0,5 \text{ kN/m}^2 \times 1,50 \text{ m}$$

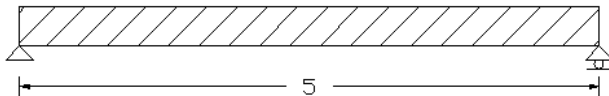
$$= 0,75 \text{ kN/m}$$

→ Faktor beban = 1,4

- **Beban sendiri profil**

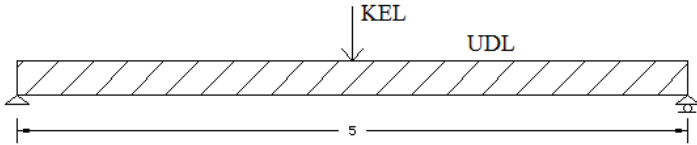
$$= 0,760 \text{ kN/m}$$

→ Faktor beban = 1,1



Gambar 4.6 Pembebanan pada beban mati

b. Beban hidup



Gambar 4.7 Pembebanan UDL dan KEL pada gelagar memanjang

- Uniformly Distributed Load (UDL)

$$L > 30 \text{ m}; \quad q_{\text{UDL}} = 9 \times \left(0,5 + \frac{15}{L} \right) \text{ kN/m}^2$$

$$q_{\text{UDL}} = 9 \times \left(0,5 + \frac{15}{130} \right) = 5,538 \text{ kN/m}^2$$

$$\begin{aligned} q &= q_{\text{UDL}} \times b_1 \\ &= 5,538 \text{ kN/m}^2 \times 1,5 \text{ m} \\ &= 8,31 \text{ kN/m} \quad \rightarrow \text{Faktor Beban} = 1,8 \end{aligned}$$

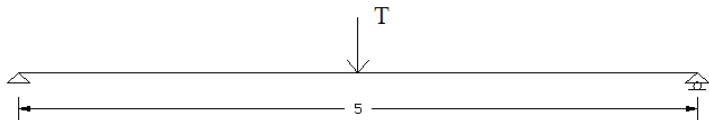
- Knife Edge Load (KEL)

DLA = 30 % untuk $L > 90 \text{ m}$

$P_{\text{KEL}} = 49 \text{ kN/m}$

$$\begin{aligned} P &= P_{\text{KEL}} (1 + \text{DLA}) \times b_1 \\ &= 49 \text{ kN/m} (1 + 0,3) \times 1,5 \text{ m} \\ &= 95,55 \text{ kN} \quad \rightarrow \text{Faktor Beban} = 1,8 \end{aligned}$$

- Truk (T)



Gambar 4.8 Pembebanan Truk

$$DLA = 0,3$$

$$T = 112,5 \text{ kN (R-SNI T-02-2005)}$$

Menurut R-SNI T-02-2005 Pasal 6.4.1 tentang besarnya beban truk "T" di tentukan:

$$T_u = T \times (1 + DLA)$$

$$= 112,5 \text{ kN} \times (1 + 0,3)$$

$$= 146,25 \text{ kN} \quad \rightarrow \text{Faktor beban} = 1,8$$

Rekapitulasi pembebanan

Tabel 4.1 Rekapitulasi pembebanan gelagar memanjang

Jenis Beban	Nilai	LF	Total
Beban Mati (DL)			
Beban Pelat beton	9,38 kN/m	1,3	12,2 kN/m
Beban Aspal	1,65 kN/m	1,3	2,15 kN/m
Beban Bekisting	0,75 kN/m	1,4	1,05 kN/m
Beban sendiri profil	0,76 kN/m	1,1	0,84 kN/m
Beban Hidup (DL)			
Beban UDL	8,31 kN/m	1,8	15,0 kN/m
Beban KEL	95,55 kN	1,8	172 kN
Beban Truk	146,25 kN	1,8	263,3 kN

4.2.2 Hasil analisa perhitungan momen.

➤ Momen akibat beban mati :

$$Q_{\text{Total}} = 12,2 \text{ kN/m} + 2,15 \text{ kN/m} + 1,05 \text{ kN/m} + 0,84 \text{ kN/m}$$

$$= 16,219 \text{ kN/m}$$

$$M_{DL} = \frac{1}{8} \times Q_{total} \times \lambda^2 = \frac{1}{8} \times 16,219 \text{ kN/m} \times (5\text{m})^2$$

$$= 50,68 \text{ kN.m}$$

➤ Momen akibat beban hidup :

- Momen akibat beban UDL dan KEL :

$$M_L = \frac{1}{8} \times q \times \lambda^2 + \frac{1}{4} \times P \times \lambda$$

$$= \frac{1}{8} \times 15,0 \text{ kN/m} \times (5\text{m})^2 + \frac{1}{4} \times 172 \text{ kN} \times 5\text{m}$$

$$= 261,72 \text{ kNm}$$

- Momen akibat beban Truk :

$$M_T = \frac{1}{4} \times P \times \lambda = \frac{1}{4} \times 263,3 \text{ kN} \times 5\text{m} = 329,06 \text{ kNm}$$

Karena $M_L < M_T$, maka dipakai momen akibat beban Truk yaitu sebesar $M_T = 329,06 \text{ kNm}$

4.2.3 Analisa kapasitas penampang balok memanjang

Analisa kapasitas penampang untuk mengetahui kuat lentur, geser dan lendutan.

a. Kontrol kapasitas lentur

➤ Tekuk lokal :

- Sayap : (RSNI T-03-2005

$$\text{ps.7.4.2 } \lambda = \frac{bf}{2tf} = \frac{200}{2 \times 14} = 7,14$$

$$\lambda_p = \frac{170}{\sqrt{fy}} = \frac{170}{\sqrt{410}} = 8,4$$

$$\lambda_r = \frac{370}{\sqrt{fy} - fr} = \frac{370}{\sqrt{410} - 70} = 31,14$$

$$\lambda \leq \lambda_p \rightarrow \text{Penampang kompak}$$

- Badan : (RSNI T-03-2005

$$\text{ps.7.7.1) } \lambda = \frac{h}{tw} = \frac{386\text{mm}}{9} = 42,9$$

$$\lambda_p = \frac{1680}{\sqrt{f_y}} = \frac{1680}{\sqrt{410}} = 82,97$$

$$\lambda_r = \frac{2550}{\sqrt{f_y}} = \frac{2550}{\sqrt{410}} = 125,94$$

$\lambda \leq \lambda_p \rightarrow$ Penampang kompak

Karena $\lambda < \lambda_p$ (penampang kompak) maka kuat lentur nominal penampang adalah $M_n = M_p = Z_x \cdot f_y$

$$\begin{aligned} Z_x &= b \cdot t_f \cdot (d - t_f) + 1/4 \cdot t_w \cdot (d - 2t_f)^2 \\ &= 200\text{mm} \cdot 14\text{mm} \cdot (450\text{mm} - 14\text{mm}) + \\ &\quad 1/4 \cdot 9\text{mm} \cdot (450\text{mm} - 2 \cdot 14\text{mm})^2 = 1621489 \text{ mm}^3 \end{aligned}$$

$$\begin{aligned} M_p &= M_n = Z_x \times f_y = 1621489 \text{ mm}^3 \times 410 \\ &= 664810490 \text{ Nmm} = 664,810 \text{ kNm} \end{aligned}$$

- Tekuk lateral : (RSNI T-03-2005: tabel 8)

$$L = 5000 \text{ mm}$$

$$f_r = 70 \text{ Mpa}$$

$$f_L = f_y - f_r = 410 \text{ Mpa} - 70 \text{ Mpa} = 340 \text{ Mpa}$$

$$\begin{aligned} L_p &= 1,76 \times i_y \sqrt{\frac{E}{f_y}} \\ &= 1,76 \times 44 \sqrt{\frac{2 \times 10^6}{4100}} = 1710,363\text{mm} \end{aligned}$$

$$\begin{aligned} L_R &= i_y \left(\frac{x_1}{f_L} \right) \sqrt{1 + \sqrt{1 + x_2 \cdot f_L^2}} \\ &= 44 \left(\frac{12781,51}{340} \right) \sqrt{1 + \sqrt{1 + 0,0033 \cdot (340)^2}} \\ &= 3398,514 \text{ mm} \end{aligned}$$

$L_r < L$: termasuk dalam bentang panjang. Maka kuat nominal komponen struktur terhadap momen lentur harus memenuhi persamaan berikut ini :

$$M_n = M_{cr} \leq M_p$$

$$M_{cr} = C_b \frac{\pi}{L} \sqrt{EI_y GJ + \left(\frac{\pi E}{L}\right)^2 I_y I_w}$$

$$M_{max} = M_{DL} = 329,06 \text{ kNm}$$

$$M_a = 0,25 \times 329,06 \text{ kNm} = 82,27 \text{ kNm}$$

$$M_b = 0,5 \times 8329,06 \text{ kNm} = 165 \text{ kNm}$$

$$M_c = 0,75 \times 329,06 \text{ kNm} = 247 \text{ kNm}$$

$$\begin{aligned} C_b &= \frac{12,5 M_{max}}{2,5 M_{max} + 3M_a + 4M_b + 3M_c} \\ &= \frac{12,5(329,06)}{2,5(329,06) + 3(82,27) + 4(165) + 3(247)} \\ &= 1,67 \end{aligned}$$

$$\begin{aligned} M_n &= C_b \frac{\pi}{L} \sqrt{EI_y GJ + \left(\frac{\pi E}{L}\right)^2 I_y I_w} \leq M_p \\ &= 1,67 \frac{\pi}{5000} \sqrt{2 \times 10^5 \cdot 1,87 \times 10^7 \cdot 8 \times 10^4 +} \\ &\quad \sqrt{\left(\frac{\pi \cdot 2 \times 10^5}{5000}\right)^2 1,87 \times 10^7 \cdot 1,0 \times 10^{12}} \leq M_p \\ &= 693154857,1 \text{ N.mm} \\ &= 693,1548571 \text{ kNm} < 664,810 \text{ kNm} \end{aligned}$$

Dari tekuk lokal dan lateral, dipilih $M_n = 664,810 \text{ kNm}$

➤ Kapasitas momen :

$$\phi M_n = 0,90 \times 664,810 \text{ kNm}$$

$$= 598,33 \text{ kNm} > M_u = 329,06 \text{ kNm}$$

Maka penampang telah memenuhi kekuatan lentur yang terjadi.

4.2.4 Kontrol kapasitas geser

Gaya geser maksimum terjadi apabila beban hidup berada dekat dengan perletakan.

a. Untuk beban hidup $(UDL + KEL)$:

$$\begin{aligned} V_{a \max} &= (P \times 1) + \left(Q_L \times \frac{1}{2} \times \lambda \right) \\ &= (171,99 \times 1) + \left(14,95 \times \frac{1}{2} \times 5 \right) \\ &= 209,37 \text{ kN} \end{aligned}$$

b. Untuk beban T :

$$\begin{aligned} V_{a \max} &= T \times (1 + DLA) \times 1 \times LF \\ &= 112,5 \times (1 + 0,3) \times 1 \times 1,8 \\ &= 263,25 \text{ kN} \end{aligned}$$

c. Untuk beban Q_d :

$$\begin{aligned} V_{a \max} &= \left(Q_d \times \frac{1}{2} \times \lambda \right) Q_d \text{ tanpa dikalikan } LF \\ &= \left(12,54 \times \frac{1}{2} \times 5 \right) \\ &= 31,338 \text{ kN} \end{aligned}$$

Jadi V_a yang digunakan adalah V_a akibat beban truk sebesar 263,25 kN (yang terbesar yang menentukan), maka kuat geser sebagai berikut (RSNI T-03-2005 ps.7.8)

:

Luas penampang badan

$$\frac{h}{tw} = \frac{386}{9} = 42,89$$

$$K_n = 5 + \frac{5}{(a/h)^2} = 5,7$$

$$1,10 \sqrt{\frac{K_n \times E}{f_y}} = 1,10 \sqrt{\frac{5,7 \times 2 \times 10^5}{410}} = 58,232$$

$$\frac{h}{tw} \leq 1,10 \sqrt{\frac{Kn \times E}{fy}}, \text{ maka kuat geser :}$$

$$\begin{aligned} \phi V_n &= \phi \times 0,6 \times f_y \times A_w \\ &= 0,9 \times 0,6 \times 410 \times (450 \times 9) \\ &= 897 \text{ kN} \\ &= 897 \text{ kN} \geq 263,25 \text{ kN} \end{aligned}$$

Maka penampang telah memenuhi kekuatan geser yang terjadi.

4.2.5 Interaksi geser dan lentur

Jika momen lentur dianggap dipikul oleh seluruh penampang, maka gelagar harus direncanakan untuk memikul kombinasi lentur dan geser (RSNI T-03-2005 ps.7.9.3), yaitu :

$$\begin{aligned} \frac{Mu}{\phi Mn} + 0,625 \frac{Vu}{\phi V_n} &\leq 1,375 \\ \frac{329,06}{598,33} + 0,625 \frac{263,25}{897} &\leq 1,375 \\ 0,73 &< 1,375 \end{aligned}$$

Maka penampang telah memenuhi interaksi geser dan lentur.

4.2.6 Kontrol lendutan

Lendutan dianalisa berdasarkan kemampuan layan akibat beban hidup untuk gelagar memanjang. Menurut RSNI T-03-2005 ps.4.7.2 menyatakan lendutan maksimum gelagar diatas dua tumpuan adalah $L/800$.

$$\delta_{ijin} = 500/800 = 0,63 \text{ cm}$$

a. Lendutan akibat beban hidup (UDL + KEL) :

$$\begin{aligned} \triangleright \delta_{(udl + kel)} &= \frac{5}{384} \times \frac{q_L \lambda^4}{E I_x} + \frac{1}{48} \times \frac{P_1 \lambda^3}{E I_x} \\ &= \frac{5}{384} \times \frac{8,31 \times (500)^4}{2 \times 10^6 \times 33500} + \frac{1}{48} \times \frac{9555 \times (500)^3}{2 \times 10^6 \times 33500} \end{aligned}$$

$$= 0,47 \text{ cm}$$

b. Lendutan akibat beban truck :

$$\begin{aligned} \triangleright \delta_{(T)} &= \frac{1}{48} \times \frac{P_T \lambda^3}{E I_X} \\ &= \frac{1}{48} \times \frac{14625 \times (500)^3}{2 \times 10^6 \times 33500} = 0,568 \text{ cm} \end{aligned}$$

Dipakai beban dari lendutan yang lebih besar yaitu akibat beban Truk = 0,568 cm

$$\begin{aligned} \triangleright \delta_{(T)} &\leq \delta_{\text{ijin}} \\ 0,568 &\leq 0,63 \dots \text{ OK} \end{aligned}$$

4.2.7 Kontrol Kapasitas Lentur (Sesudah Komposit)

Menurut SNI T-03-2005 ps. 8.2.1 lebar efektif pelat beton diambil nilai terkecil dari:

- 1/5 Bentang gelagar
- Jarak antar gelagar

Dimana:

$L = 5 \text{ m}$ (panjang bentang gelagar memanjang)

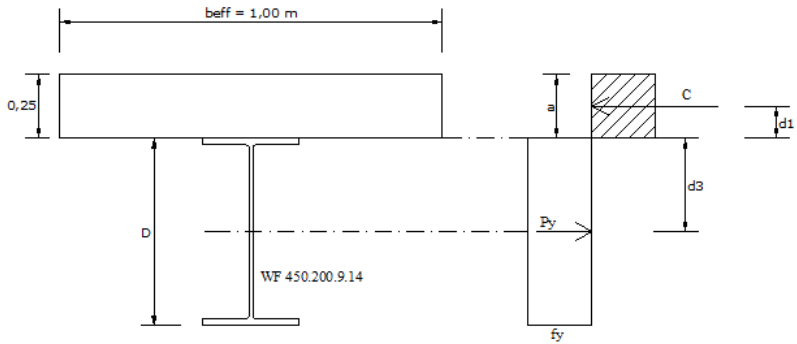
$b_1 = 1,5 \text{ m}$ (jarak antar gelagar memanjang)

Lebar efektif pelat beton:

$$b_{\text{eff}} \leq \frac{L}{5} = \frac{5000}{5} = 1000 \text{ mm}$$

$$b_{\text{eff}} \leq b_1 = 1500 \text{ mm}$$

diambil yang terkecil, $b_{\text{eff}} = 1000 \text{ mm}$



Gambar 4.9 Distribusi gaya pada penampang

- Kontrol kriteria penampang :

$$\frac{h}{tw} = \frac{368}{9} = 42,9$$

$$\frac{1680}{\sqrt{fy}} = \frac{1680}{\sqrt{410}} = 83$$

$$\frac{h}{tw} \leq \frac{1680}{\sqrt{fy}} \rightarrow \text{penampang kompak}$$

Karena (penampang kompak) maka kapasitas momen penampang dianalisa dengan distribusi tegangan plastis.

- Menentukan garis netral :

$$Ac = beff \times tb = 1000 \times 250 = 250000 \text{ mm}^2$$

$$Py = A \times fy = 9676 \times 410 = 3967160 \text{ N}$$

$$C = 0,85 f'c \times Ac = 0,85 \times 35 \times 250000 = 7437500 \text{ N}$$

$$a = \frac{As \times fy}{0,85 \times f'c \times beff} = \frac{9676 \times 410}{0,85 \times 35 \times 1000}$$

$$= 133 \text{ mm}$$

karena $a < t$ maka sumbu netral berada pada plat beton.

➤ Kapasitas momen :

$$d_1 = t - a/2 = 250 - 133/2 = 183 \text{ mm}$$

$$d_2 = 0 \text{ mm (Profil baja tidak mengalami tekan)}$$

$$d_3 = d/2 = 450/2 = 225 \text{ mm}$$

$$M_n = C (d_1 + d_2) + p_y (d_3 - d_2)$$

$$= 7437500 (183 + 0) + 3967160 (225 - 0)$$

$$= 2256091000 \text{ Nmm} = 2256,1 \text{ KNm}$$

$$\phi M_n = 0,90 \times 2256,1 \text{ KNm}$$

$$= 2030,5 \text{ kNm} > M_u = 329,1 \text{ kNm} \rightarrow \text{OK}$$

Maka penampang telah memenuhi kekuatan lentur yang terjadi sesudah penampang komposit.

4.2.8 Shear Connector balok memanjang

➤ Data-data

Tebal slab	hc	= 25 cm
Jarak	S=bo	= 150 cm
Panjang bentang	L	= 5 m

➤ Data Material

a. Beton

Kuat tekan beton	$f_c' = 35$ Mpa
Modulus Elastisitas (E_c)	$= 4700\sqrt{f_c'} = 27805,5$ Mpa
Berat Beton bertulang	$W_c = 25$ kN/m ³

b. Baja Tulangan

Tegangan leleh baja	$f_y = 360$ Mpa
Diameter tulangan	$\varnothing = 13$ mm

c. Baja Profil

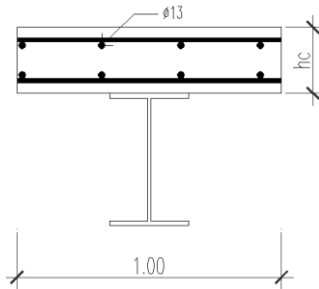
Mutu baja	BJ 55
Tegangan leleh baja	$f_y = 410$ Mpa
Modulus Elastisitas	$E = 200.000$ Mpa
Profil	WF. 450.200.9.14
I_o	$= 33500$ cm ⁴
h_s	$= 38,6$ cm
A_s	$= 96,76$ cm ²
q_s	$= 76$ kg/m = 0,76 kN/m

➤ Lebar efektif penampangkomposit

Lebar efektif (RSNI T-03-2005)

$b_E = L/5$	$= 5\text{m} / 5$	$= 1$ meter
$b_E = b_o$	$= 5$ meter	
$b_E = 12 \cdot hc$	$= 12 \cdot (0,25 \text{ m})$	$= 3$ meter

Sehingga diambil yang terkecil 1 meter



Gambar 4.10 Jembatan komposit

Misal pada lebar efektif 100 cm terdapat 4 buah tulangan \emptyset 13mm atas dan 4 buah tulangan \emptyset 13mm pada bagian bawah

➤ **Kekuatan plastis dan garis netral plastis**

Anggap garis netral plastis ada pada gelagar

➤ Kekuatan tekanan pada plat lantai, (C)

$$C = 0,85 \cdot f_c' \cdot B_e \cdot h_c + (A_s \cdot f_y)_c$$

Dimana:

$$(A_s \cdot f_y)_c = (4+4) \cdot \frac{1}{4} \cdot \pi \cdot (13\text{mm})^2 \cdot (360 \text{ Mpa})$$

$$= 382075 \text{ N}$$

$$0,85 \cdot f_c' \cdot b_E \cdot h_c = 0,85 \cdot (35\text{Mpa}) \cdot (1000\text{mm}) \cdot (250\text{mm})$$

$$= 7437500 \text{ N}$$

$$C = 382075 \text{ N} + 7437500 \text{ N} = 7819575 \text{ N}$$

➤ Kekuatan tarikan pada gelagar, (T)

$$T = A_s \cdot F_y$$

$$= (96,76 \times 100\text{mm}^2) \cdot (410 \text{ Mpa})$$

$$= 3967160 \text{ N} < C$$

➤ Kedalaman daerah tekan pada lantai,

$$a = \frac{T - (A_s \cdot f_y)_c}{0,85 \cdot f_c' \cdot b_E}$$

$$= \frac{3967160 \text{ N} - 382075 \text{ N}}{0,85 \cdot 35\text{Mpa} \cdot 1000 \text{ mm}}$$

$$= 40,17 \text{ mm} < 250 \text{ mm}$$

- Garis netral plastis berada pada lantai beton, perhitungan diulangi, tulangan yang mengalami tekan hanya bagian atas sebanyak 4 tulangan

$$(A.f_y)c = (4) \cdot \frac{1}{4} \cdot \pi \cdot (13\text{mm})^2 \cdot (360 \text{ Mpa})$$

$$= 191038 \text{ N}$$

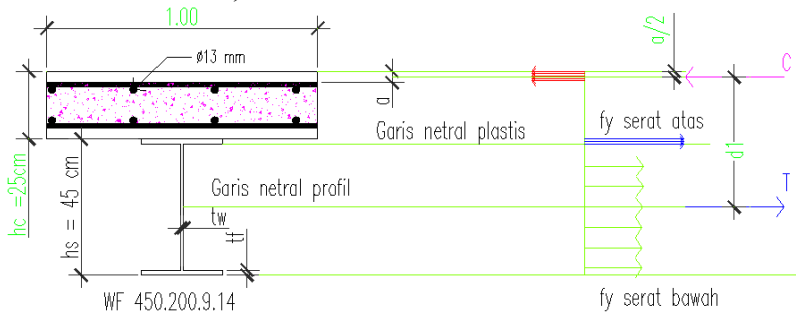
$$C = 7437500 \text{ N} + 191038 \text{ N}$$

$$= 7628538 \text{ N} > T$$

$$a = \frac{T - (A.f_y)c}{0,85 \cdot f_c \cdot b_g}$$

$$= \frac{3967160 \text{ N} - 191038 \text{ N}}{0,85 \cdot 35 \text{ Mpa} \cdot 1000 \text{ mm}}$$

$$= 42,31 \text{ mm} < 150 \text{ mm}$$



Gambar 4.11 Diagram tegangan plastis

$$d_1 = \frac{h_s}{2} + h_c - \frac{a}{2} = \frac{386 \text{ mm}}{2} + 250 \text{ mm} - \frac{61,67 \text{ mm}}{2}$$

$$= 421,85 \text{ mm}$$

- Kekuatan Lentur
Kekuatan lentur nominal

$$M_s = T \cdot d_1$$

$$= 3967160 \text{ N} \cdot 421,85 \text{ mm}$$

$$= 1673527612,547 \text{ Nmm}$$

Kuat Lentur rencana

$$M_u = \phi \cdot M_s$$

$$= 0,9 \cdot 1673527612,547 \text{ Nmm}$$

$$= 1506174851,3 \text{ Nmm}$$

$$M_u = 1506,175 \text{ kN.m}$$

➤ Penghubung Geser (Shear connector)

Berdasarkan RSNI T-03-2005

Gaya geser longitudinal dalam keadaan batas (ultimit),

$$V_L = T = 3967160 \text{ N}$$

Gaya Geser rencana,

$$V_{LS} = \frac{V_L}{\phi} = \frac{3967160 \text{ N}}{0,75} = 5289546,67 \text{ N}$$

Syarat-syarat.

Diameter maksimum,

$$1,5 t_f = 1,5 \times (14\text{mm}) = 21 \text{ mm} = 2,1 \text{ cm}$$

Dipakai konektor 13 x 75 (lihat lampiran)

$$D = 13 \text{ mm} < 21 \text{ mm} \rightarrow (\text{OK})$$

$$L = 75 \text{ mm}$$

Jarak antara konektor stud,

1. 600 mm = 60 cm, atau
2. $2 \times h_c = 2 \times (250\text{mm}) = 500 \text{ mm} = 50\text{cm}$
3. $4 \times L = 4 \times (75\text{mm}) = 300 \text{ mm} = 30 \text{ cm}$



Gambar 4.12 Konektor Stud

Mutu Baja konektor, BJ-55

Tegangan putus, $f_u = 550 \text{ Mpa}$

Kekuatan geser satu konektor stud,

$$\begin{aligned} V_{su} &= \frac{1}{4} \cdot \pi \cdot D^2 \cdot f_u \\ &= \frac{1}{4} \cdot \pi \cdot (13\text{mm})^2 \cdot (550 \text{ Mpa}) \\ &= 72965,75 \text{ N} \end{aligned}$$

Jumlah konektor stud

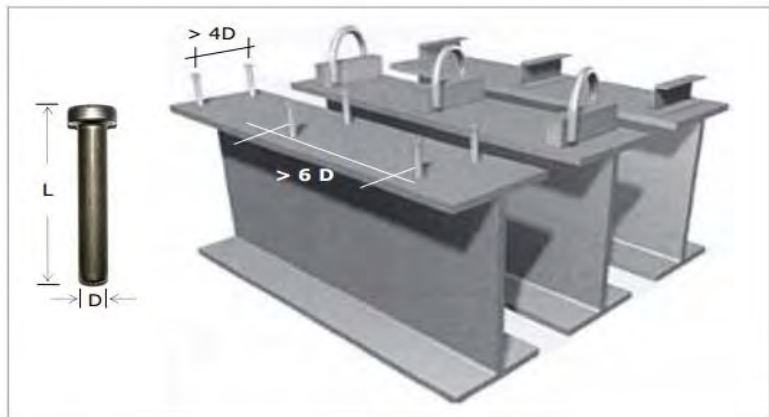
$$n = \frac{V_{LS}}{0,55 \cdot V_{SU}} = \frac{3967160 \text{ N}}{0,55 \cdot 72965,75 \text{ N}}$$

= 81 buah (untuk 2 baris)

= 40 buah (untuk 1 baris)

Rencanakan 1 baris konektor stud 40 buah sepanjang bentang gelagar 5 meter.

Jarak terjauh antara konektor
= $(500\text{cm}) / (40\text{buah}) = 12,5\text{ cm} < 30\text{ cm}$
Sehingga dipasang dengan jarak 13 cm

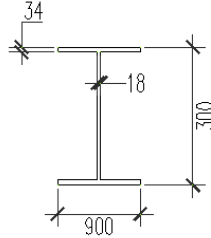


Gambar 4.13 Jarak antara konektor stud

4.3 Perencanaan Balok Melintang

4.3.1 Perencanaan Balok Melintang

- Direncanakan menggunakan Profil: WF 900.300.18.34



Gambar 4.14 Profil Balok Melintang

$$\begin{aligned}
 A &= 364,0 \text{ cm}^2 \\
 w &= 286 \text{ kg/m} = 2,86 \text{ kN/m} \\
 Z_x &= 10900 \text{ cm}^3 \\
 Z_y &= 1040 \text{ cm}^3 \\
 I_x &= 498000 \text{ cm}^4 \\
 I_y &= 15700 \text{ cm}^4 \\
 i_x &= 37 \text{ cm} \\
 i_y &= 6,56 \text{ cm} \\
 r &= 28 \text{ mm} \\
 d &= 900 \text{ mm} \\
 t_f &= 34 \text{ mm} \\
 h &= d - 2(t_f + r) = 776 \text{ mm}
 \end{aligned}$$

- Data Bahan:

$$\begin{aligned}
 B_J &= 55 \\
 f_y &= 4100 \text{ kg/cm}^2 \\
 f_u &= 5500 \text{ kg/cm}^2 \\
 E &= 2 \times 10^6 \text{ kg/cm}^2 \\
 J &= \frac{1}{3} \times (2 \times b \times t_f^3 + d \times t_w^3) = 9610400 \text{ mm}^4 \\
 C_w &= \frac{1}{12} \times t_f \times b f^3 \times \frac{(\sqrt{ht+t_f})^2}{2} = 33,37 \times 10^{12} \text{ mm}^6
 \end{aligned}$$

$$G = 80.000 \text{ Mpa} \quad (\text{RSNI T-03-2005 Pasal 4.1.1})$$

$$X_1 = \frac{\pi}{S_x} \sqrt{\frac{E \cdot G \cdot J \cdot A}{2}} \quad (\text{RSNI T-03-2005 Tabel 8})$$

$$= \frac{\pi}{10900000} \sqrt{\frac{200.000 \cdot 80000 \cdot 9610400 \cdot 36400}{2}}$$

$$= 15239,45962 \text{ Mpa}$$

$$X_2 = 4 \left(\frac{S_x}{G \cdot J} \right)^2 \frac{I_w}{I_y} \quad (\text{RSNI T-03-2005 tabel 8})$$

$$= 0,0001709 \text{ mm}^4/\text{N}^2$$

4.3.2 Hasil analisa perhitungan momen.

➤ Pembebanan:

Sebelum komposit

a. Beban mati

- Balok memanjang

$$= (W \times \lambda / b1) \times \text{LF}$$

$$= (0,76 \times 5 / 1,5) \times 1,1 = 2,79 \text{ kN/m}$$

- Beban sendiri profil (balok melintang)

= berat profil x LF

$$= 2,86 \text{ kN/m} \times 1,1 = 3,15 \text{ kN/m}$$

- Beban pelat beton

$$= t_{\text{plat}} \times \gamma_{\text{beton}} \times \lambda \times K_u^{\text{MS}}$$

$$= 0,25 \text{ m} \times 25 \text{ kN/m}^3 \times 5 \text{ m} \times 1,3 = 40,6 \text{ kN/m}$$

- Beban bekisting

$$= 0,5 \text{ kN/m} \times \lambda \times \text{LF}$$

$$= 0,5 \text{ kN/m}^2 \times 5 \text{ m} \times 1,4 = \frac{3,5 \text{ kN/m}}{+}$$

$$Q_{D1} = 50,06 \text{ kN/m}$$

$$= 5006 \text{ kg/m}$$

$$M_{Q1} = 1/8 \times Q_{D1} \times B^2$$

$$= 1/8 \times 50,06 \text{ kN/m} \times (13,2\text{m})^2$$

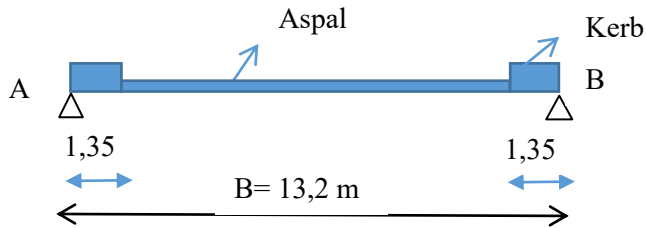
$$= 1090 \text{ kNm} = 10902559,8 \text{ kg.cm}$$

$$V_{Q1} = 1/2 \times Q_{D1} \times B$$

$$= 1/2 \times 50,06 \text{ kN/m} \times 13,2\text{m}$$

$$= 330,4 \text{ kN} = 33038 \text{ kg}$$

Setelah komposit
Beban mati



Gambar 4.15 Pembebanan gelagar melintang

- Berat Aspal
 - $= t_{\text{aspal}} \times \gamma_{\text{aspal}} \times \lambda \times LF$
 - $= 0,05 \text{ m} \times 22 \text{ kN/m}^3 \times 5 \text{ m} \times 1,3 = 7,15 \text{ kN/m}$
- Berat kerb
 - $= dk \times \gamma_{\text{beton}} \times \lambda \times LF$
 - $= 0,2 \text{ m} \times 25 \text{ kN/m}^3 \times 5 \text{ m} \times 1,3 = \underline{32,5 \text{ kN/m}} +$
 - $Q_{D2} = 39,65 \text{ kN/m}$
 - $= 3965 \text{ kg/m}$

$$\begin{aligned} \sum M_B &= 0 \\ V_a \cdot 13,2 \text{ m} &= (32,5 \text{ kN/m} \cdot 1,35\text{m}) \cdot 12,525\text{m} + \\ &\quad (7,15\text{kN/m} \cdot 10,5\text{m}) \cdot 6,6\text{m} + (32,5\text{kN/m} \cdot \\ &\quad 1,35 \text{ m}) \cdot 0,675\text{m} \\ V_a \cdot 13,2 \text{ m} &= 549,5 \text{ kN.m} + 495,5 \text{ kN.m} + 29,62 \text{ kN.m} \\ V_a \cdot 13,2 \text{ m} &= 1074,65 \text{ kN.m} \\ V_a &= 81,41 \text{ kN} = 8141 \text{ kg} \\ M_{Q2} &= (V_a \cdot 6,6\text{m}) - (32,5 \text{ kN/m} \cdot 1,35\text{m} \cdot 5,93\text{m}) \\ &\quad - (7,15 \text{ kN/m} \cdot 5,25 \text{ m} \cdot 2,63\text{m}) \\ &= (81,41 \text{ kN} \cdot 6,6\text{m}) - 260 \text{ kN.m} - 98,5 \text{ kN.m} \\ &= 178,83 \text{ kN.m} = 17883 \text{ kg.m} \end{aligned}$$

b. Beban hidup

- Beban hidup merata (UDL)
SNI T-02-2005 ps. 6.3.1

$$L > 30 \text{ m}; \quad q \text{ UDL} = 9 \times \left(0,5 + \frac{15}{L} \right) \text{ kN/m}^2$$

$L = 130 \text{ m}$, maka :

$$q \text{ UDL} = 9 \times \left(0,5 + \frac{15}{130} \right) = 5,538 \text{ kN/m}^2$$

$$\begin{aligned} q &= q_{\text{UDL}} \times \lambda \times K_u^{\text{TD}} \\ &= 5,538 \text{ kN/m}^2 \times 5 \text{ m} \times 1,8 \\ &= 49,846 \text{ kN/m} = 4984,6 \text{ kg/m} \end{aligned}$$

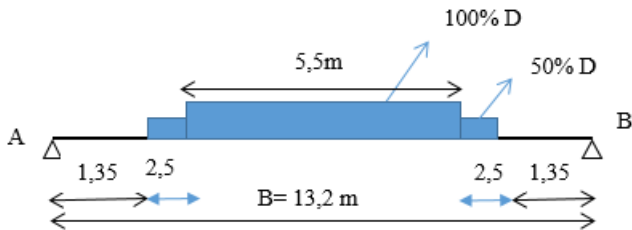
- Beban hidup Garis (KEL)

DLA = 30 % untuk $L = 130 \text{ m}$

(R-SNI T-02-2005 Gambar 8)

$P_{\text{KEL}} = 49 \text{ kN/m}$

$$\begin{aligned} P &= P_{\text{KEL}} (1 + \text{DLA}) \times K_u^{\text{TD}} \\ &= 49 \text{ kN/m} (1 + 0,3) \times 1,8 \\ &= 114,66 \text{ kN/m} = 11466 \text{ kg/m} \end{aligned}$$



Gambar 4.16 Pembebanan akibat beban UDL dan KEL

Beban "D" = Beban UDL + Beban KEL

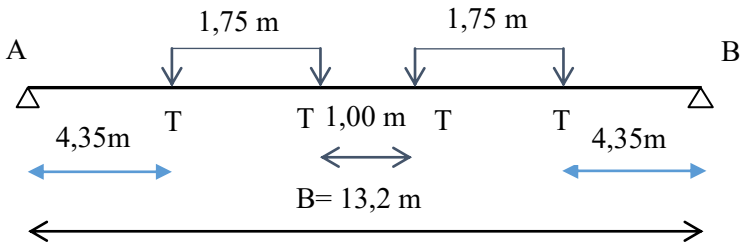
$$= 49,846 \text{ kN/m} + 114,66 \text{ kN/m} = 164,5 \text{ kN/m}$$

$$q_1 = 100\% \times D = 100\% \times 164,5 \text{ kN/m} = 164,5 \text{ kN/m}$$

$$q_2 = 50\% \times D = 50\% \times 164,5 \text{ kN/m} = 82,25 \text{ kN/m}$$

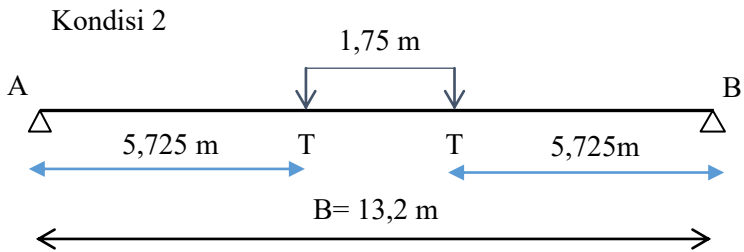
$$\begin{aligned}
 \sum M_B &= 0 \\
 V_a \cdot 13,2 \text{ m} &= (164,5 \text{ kN/m} \cdot 5,5 \text{ m}) \cdot 6,6 \text{ m} + (82,25 \text{ kN/m} \cdot 2,5 \text{ m}) \cdot 10,6 \text{ m} + (82,25 \text{ kN/m} \cdot 2,5 \text{ m}) \cdot 2,6 \text{ m} \\
 V_a \cdot 13,2 \text{ m} &= 5971,9 \text{ kN.m} + 2179,71 \text{ kN.m} + 534,645 \text{ kN.m} \\
 V_a \cdot 13,2 \text{ m} &= 8685,92 \text{ kN.m} \\
 V_a &= 658,02 \text{ kN} \\
 M_{\max} &= (V_a \cdot 6,6 \text{ m}) - (82,25 \text{ kN/m} \cdot 2,5 \text{ m} \cdot 4 \text{ m}) - (164,5 \text{ kN/m} \cdot 2,75 \text{ m} \cdot 1,38 \text{ m}) \\
 &= (658,02 \text{ kN} \cdot 6,6 \text{ m}) - 822,5 \text{ kN.m} - 662 \text{ kN.m} \\
 &= 2898,39 \text{ kN.m (menentukan)}
 \end{aligned}$$

- Beban Truk "T"
Kondisi 1



Gambar 4.17 Pembebanan akibat beban Truk (Kondisi 1)

$$\begin{aligned}
 T &= 112,5 \text{ kN} \\
 T_u &= T \times (1+0,3) \times K_{TT}^u \\
 &= 112,5 \text{ kN} \times (1+0,3) \times 1,8 = 263,3 \text{ kN} \\
 \sum M_B &= 0 \\
 V_a \cdot 13,2 \text{ m} &= T_u(8,85 \text{ m} + 7,1 \text{ m} + 6,1 \text{ m} + 4,35 \text{ m}) \\
 V_a \cdot 13,2 \text{ m} &= 263,3 \text{ kN} \times 26,4 \text{ m} \\
 V_a &= 526,50 \text{ kN} \\
 M_{\max} &= (V_a \cdot 6,6 \text{ m}) - T_u(2,25 \text{ m} + 0,5 \text{ m}) \\
 &= (526,50 \text{ kN} \cdot 6,6 \text{ m}) - (263,3 \text{ kN} \cdot 2,75 \text{ m}) \\
 M_{\max} &= 2750,96 \text{ kN.m}
 \end{aligned}$$



Gambar 4.18 Pembebanan akibat beban Truk (Kondisi 2)

$$\begin{aligned} \sum M_B &= 0 \\ V_a \cdot 13,2 \text{ m} &= T_u(7,475\text{m} + 5,725\text{m}) \\ V_a \cdot 13,2 \text{ m} &= 263,3 \text{ kN} \times 13,20 \text{ m} \\ V_a &= 263,25 \text{ kN} \\ M_{\max} &= (V_a \cdot 6,6\text{m}) - (T_u \cdot 0,875\text{m}) \\ &= (263,25 \text{ kN} \cdot 6,6 \text{ m}) - (263,3 \text{ kN} \cdot \\ &0,875\text{m}) \\ M_{\max} &= 1507,11 \text{ kN.m} \end{aligned}$$

Sehingga untuk beban hidup, dipakai momen terbesar, yaitu
2898,39 kN.m

4.3.3 Analisa kapasitas penampang balok melintang

Analisa kapasitas penampang untuk mengetahui kuat lentur, geser dan lendutan.

b. Kontrol kapasitas lentur

➤ Tekuk lokal :

- Sayap : (RSNI T-03-2005

$$\text{ps.7.4.2) } \lambda = \frac{bf}{2tf} = \frac{300}{2 \times 34} = 4,412$$

$$\lambda_p = \frac{170}{\sqrt{fy}} = \frac{170}{\sqrt{410}} = 8,4$$

$$\lambda_r = \frac{370}{\sqrt{f_y - f_r}} = \frac{370}{\sqrt{410 - 70}} = 31,14$$

$\lambda \leq \lambda_p \rightarrow$ Penampang kompak

- Badan : (RSNI T-03-2005

$$\text{ps.7.7.1) } \lambda = \frac{h}{tw} = \frac{776\text{mm}}{18} = 43,11$$

$$\lambda_p = \frac{1680}{\sqrt{f_y}} = \frac{1680}{\sqrt{410}} = 82,97$$

$$\lambda_r = \frac{2550}{\sqrt{f_y}} = \frac{2550}{\sqrt{410}} = 125,94$$

$\lambda \leq \lambda_p \rightarrow$ Penampang kompak

Karena $\lambda < \lambda_p$ (penampang kompak) maka kuat lentur

nominal penampang adalah $M_n = M_p = Z_x \cdot f_y$

$$\begin{aligned} Z_x &= b \cdot t_f \cdot (d - t_f) + 1/4 \cdot t_w \cdot (d - 2t_f)^2 \\ &= 300\text{mm} \cdot 34\text{mm} \cdot (900\text{mm} - 34\text{mm}) + \\ &\quad 1/4 \cdot 18\text{mm} \cdot (900\text{mm} - 2 \cdot 34\text{mm})^2 = 11948208 \text{ mm}^3 \end{aligned}$$

$$\begin{aligned} M_p = M_n &= Z_x \times f_y = 11948208 \text{ mm}^3 \times 410 \text{ N/mm}^2 \\ &= 4898765280 \text{ Nmm} = 4899 \text{ kNm} \end{aligned}$$

- Tekuk lateral : (RSNI T-03-2005: tabel 8)

$$L = 13200 \text{ mm}$$

$$f_r = 70 \text{ Mpa}$$

$$f_L = f_y - f_r = 410 \text{ Mpa} - 70 \text{ Mpa} = 340 \text{ Mpa}$$

$$L_p = 1,76 \times i_y \sqrt{\frac{E}{f_y}}$$

$$= 1,76 \times 65,6 \sqrt{\frac{2 \times 10^6}{4100}} = 2549,996 \text{ mm}$$

$$\begin{aligned}
 L_R &= i_y \left(\frac{x_1}{f_L} \right) \sqrt{1 + \sqrt{1 + x_2 f_L^2}} \\
 &= 65,6 \left(\frac{15239,46}{340} \right) \sqrt{1 + \sqrt{1 + 0,000171 \cdot (340)^2}} \\
 &= 5964,845 \text{ mm}
 \end{aligned}$$

$L_r < L$: termasuk dalam bentang panjang. Maka kuat nominal komponen struktur terhadap momen lentur harus memenuhi persamaan berikut ini :

$$M_n = M_{cr} \leq M_p$$

$$M_{cr} = C_b \frac{\pi}{L} \sqrt{EI_y GJ + \left(\frac{\pi E}{L} \right)^2 I_y I_w}$$

$$M_{\max} = 2898,39 \text{ kNm}$$

$$M_a = 0,25 \times 2898,39 \text{ kNm} = 724,60 \text{ kNm}$$

$$M_b = 0,5 \times 2898,39 \text{ kNm} = 1449 \text{ kNm}$$

$$M_c = 0,75 \times 2898,39 \text{ kNm} = 2174 \text{ kNm}$$

$$\begin{aligned}
 C_b &= \frac{12,5 M_{\max}}{2,5 M_{\max} + 3 M_a + 4 M_b + 3 M_c} \\
 &= \frac{12,5 \cdot (2898,39)}{2,5(2898,39) + 3(724,60) + 4(1449) + 3(2174)} \\
 &= 1,67
 \end{aligned}$$

$$\begin{aligned}
 M_n &= C_b \frac{\pi}{L} \sqrt{EI_y GJ + \left(\frac{\pi E}{L} \right)^2 I_y I_w} \leq M_p \\
 &= 1,67 \frac{\pi}{13200} \sqrt{2 \times 10^5 \cdot 1,57 \times 10^8 \cdot 8 \times 10^4 +} \\
 &\quad \sqrt{\left(\frac{\pi \cdot 2 \times 10^5}{13200} \right)^2 1,57 \times 10^8 \cdot 3,3 \times 10^{13}} \leq M_p \\
 &= 2378751880 \text{ N.mm} \\
 &= 2378,75 \text{ kNm} < 4899 \text{ kNm (OK)}
 \end{aligned}$$

Dari tekuk lokal dan lateral, dipilih $M_n = 664,810 \text{ kNm}$

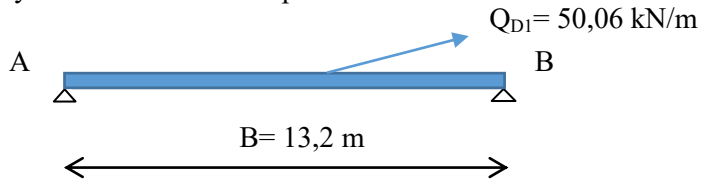
➤ Kapasitas momen :

$$\begin{aligned}\phi M_n &= 0,90 \times 664,810 \text{ kNm} \\ &= 4408,89 \text{ kNm} > M_u = 2898,39 \text{ kNm}\end{aligned}$$

Maka penampang telah memenuhi kekuatan lentur yang terjadi.

4.3.4 Kontrol kapasitas geser

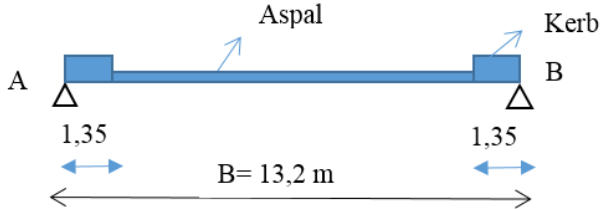
c. Gaya Geser sebelum komposit



Gambar 4.19 Beban merata geser sebelum komposit

$$\begin{aligned}V_{aD1} &= 0,5 \times Q_{D1} \times B \\ &= 0,5 \times 50,06 \text{ kN/m} \times 13,2 \text{ m} \\ &= 330,38 \text{ kN} = 33038 \text{ kg}\end{aligned}$$

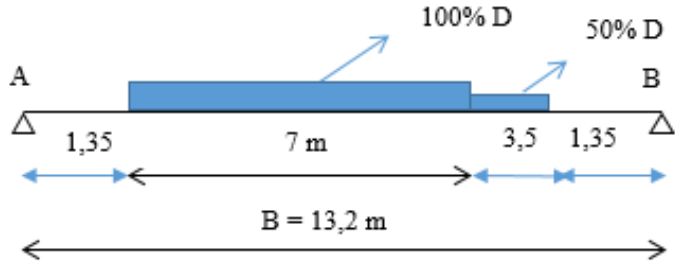
d. Gaya Geser setelah komposit



Gambar 4.20 Beban merata geser setelah komposit

$$\begin{aligned}\sum M_B &= 0 \\ V_a \cdot 13,2 \text{ m} &= (32,5 \text{ kN/m} \cdot 1,35\text{m}) \cdot 12,525\text{m} + \\ &\quad (7,15\text{kN/m} \cdot 10,5\text{m}) \cdot 6,6\text{m} + (32,5\text{kN/m} \cdot \\ &\quad 1,35 \text{ m}) \cdot 0,675\text{m} \\ V_a \cdot 13,2 \text{ m} &= 549,5 \text{ kN.m} + 495,5 \text{ kN.m} + 29,62 \text{ kN.m} \\ V_a \cdot 13,2 \text{ m} &= 1074,65 \text{ kN.m} \\ V_a &= 81,41 \text{ kN} = 8141 \text{ kg}\end{aligned}$$

e. Gaya geser akibat UDL dan KEL tidak simetris



Gambar 4.21 Gaya geser akibat UDL dan KEL tidak simetris
 “D” UDL 100% = 49,85 kN/m

$$\text{UDL } 50\% = 24,92 \text{ kN/m}$$

$$\text{KEL } 100\% = 114,66 \text{ kN/m}$$

$$\text{KEL } 50\% = 57,33 \text{ kN/m}$$

- Untuk UDL

$$\sum M_B = 0$$

$$V_a \cdot 13,2 \text{ m} = (49,85 \text{ kN/m} \cdot 7\text{m}) \cdot 8,35\text{m} + (24,92 \text{ kN/m} \cdot 3,5\text{m}) \cdot 3,1\text{m}$$

$$V_a \cdot 13,2 \text{ m} = 2914 \text{ kN.m} + 270,4 \text{ kN.m}$$

$$V_a = 241,21 \text{ kN}$$

- Untuk KEL

$$\sum M_B = 0$$

$$V_a \cdot 13,2 \text{ m} = (114,66 \text{ kN/m} \cdot 7\text{m}) \cdot 8,35\text{m} + (57,33 \text{ kN/m} \cdot 3,5\text{m}) \cdot 3,1\text{m}$$

$$V_a \cdot 13,2 \text{ m} = 6702 \text{ kN.m} + 622,0 \text{ kN.m}$$

$$V_a = 554,84 \text{ kN}$$

$$\text{Maka } V_u = V_{aD1} + V_{a(UDL)} + V_{a(KEL)}$$

$$= 330,38\text{kN} + 241,21\text{kN} + 554,84 \text{ kN}$$

$$V_u = 1126,43 \text{ kN}$$

Luas penampang badan

$$\frac{h}{tw} = \frac{776}{18} = 43,11$$

$$K_n = 5 +$$

$$\frac{5}{(a/h)^2} = 5,2 \cdot 1,10 \sqrt{\frac{K_n \times E}{f_y}} = 1,10 \sqrt{\frac{5,2 \times 2 \times 10^5}{410}} = 50,4$$

$$\frac{h}{tw} \leq 1,10 \sqrt{\frac{K_n \times E}{f_y}}, \text{ maka kuat geser :}$$

$$\begin{aligned} \phi V_n &= \phi \times 0,6 \times f_y \times A_w \\ &= 0,75 \times 0,6 \times 410 \times (900 \times 18) \\ &= 2989 \text{ kN} \\ &= 2989 \text{ kN} \geq 1126,43 \text{ kN} \end{aligned}$$

Maka penampang telah memenuhi kekuatan geser yang terjadi.

4.3.5 Interaksi geser dan lentur

Jika momen lentur dianggap dipikul oleh seluruh penampang, maka gelagar harus direncanakan untuk memikul kombinasi lentur dan geser (RSNI T-03-2005 ps.7.9.3), yaitu :

$$\begin{aligned} \frac{Mu}{\phi M_n} + 0,625 \frac{Vu}{\phi V_n} &\leq 1,375 \\ \frac{2898}{4408,89} + 0,625 \frac{1126,4}{2989} &\leq 1,375 \\ 0,9 &< 1,375 \end{aligned}$$

Maka penampang telah memenuhi interaksi geser dan lentur.

4.3.6 Kontrol lendutan

Lendutan dianalisa berdasarkan kemampuan layan akibat beban hidup untuk gelagar melintang. Menurut RSNI T-03-2005 ps.4.7.2 menyatakan lendutan maksimum gelagar diatas dua tumpuan adalah $L/800$.

$$\delta_{\text{ijin}} = 1320/800 = 1,65 \text{ cm}$$

c. Lendutan akibat beban hidup (UDL + KEL) :

$$\begin{aligned} \delta_{\text{(udl + kel)}} &= \frac{5}{384} \times \frac{q_L \lambda^4}{E I_x} + \frac{1}{48} \times \frac{P_1 \lambda^3}{E I_x} \\ &= \frac{5}{384} \times \frac{9,14 \times (1320)^4}{2 \times 10^6 \times 498000} \\ &= 0,363 \text{ cm} \end{aligned}$$

d. Lendutan akibat beban truck :

$$\begin{aligned} \delta_{\text{(T)}} &= \frac{1}{48} \times \frac{P_T \lambda^3}{E I_x} \\ &= \frac{1}{48} \times \frac{14625 \times (1320)^3}{2 \times 10^6 \times 498000} = 0,7 \text{ cm} \end{aligned}$$

Dipakai beban dari lendutan yang lebih besar yaitu akibat beban Truk = 0,7 cm

$$\begin{aligned} \delta_{\text{(T)}} &\leq \delta_{\text{ijin}} \\ 0,7 &\leq 1,65 \dots \text{ OK} \end{aligned}$$

4.3.7 Kontrol Kapasitas Lentur (Sesudah Komposit)

Menurut SNI T-03-2005 ps. 8.2.1 lebar efektif pelat beton diambil nilai terkecil dari:

- 1/5 Bentang gelagar
- Jarak antar gelagar

Dimana:

$L = 1320$ m (panjang bentang)

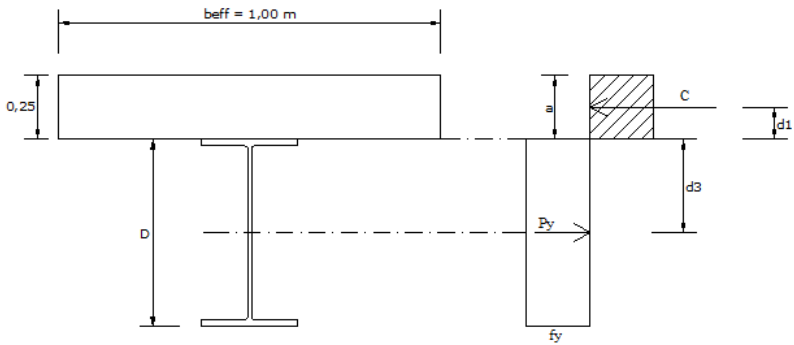
$\lambda = 5$ m (jarak antar gelagar melintang)

Lebar efektif pelat beton:

$$b_{\text{eff}} \leq \frac{L}{5} = \frac{1320}{5} = 256 \text{ cm}$$

$$b_{\text{eff}} \leq \lambda = 500 \text{ cm}$$

diambil yang terkecil, $b_{\text{eff}} = 264$ cm



Gambar 4.22 Distribusi gaya pada penampang

- Kontrol kriteria penampang :

$$\frac{h}{tw} = \frac{776}{18} = 43,11$$

$$\frac{1680}{\sqrt{fy}} = \frac{1680}{\sqrt{410}} = 82,97$$

$$\frac{h}{tw} \leq \frac{1680}{\sqrt{fy}} \rightarrow \text{penampang kompak}$$

Karena (penampang kompak) maka kapasitas momen penampang dianalisa dengan distribusi tegangan plastis.

- Menentukan garis netral :

$$Ac = beff \times tb = 264 \times 25 = 6600 \text{ cm}^2$$

$$C1 = As \times fy = 364 \times 4100 = 1492400 \text{ kg}$$

$$C2 = 0,85 f'c \times Ac = 0,85 \times 350 \times 6600 = 1963500 \text{ N}$$

Sehingga nilai c diambil yang terkecil yaitu

$$C1 = 1492400 \text{ kg}$$

$$a = \frac{c}{0,85 \times f'c \times beff} = \frac{1492400 \text{ kg}}{0,85 \times 350 \times 264} = 19 \text{ cm}$$

karena $a < t$ maka sumbu netral berada pada plat beton.

- Kapasitas momen :
 - $d_1 = t - a/2 = 25 - 19/2 = 15,5 \text{ cm}$
 - $d_2 = 0 \text{ mm}$ (Profil baja tidak mengalami tekan)
 - $d_3 = d/2 = 90/2 = 45 \text{ cm}$
 - $M_n = C (d_1 + d_2) + p_y (d_3 - d_2)$
 - $= 1492400 \text{ kg} (15,5 + 0) + 1492400 \text{ kg} (45 - 0)$
 - $= 90288869,88 \text{ kg.cm} = 902,89 \text{ ton.m}$
 - $\phi M_n = 0,90 \times 90288869,88 \text{ kg.cm}$
 - $= 81259982,9 \text{ kg.cm}$
 - $= 8126 \text{ kN.m} > M_u = 2750,96 \text{ kNm} \rightarrow \text{OK}$
- Maka penampang telah memenuhi kekuatan lentur yang terjadi sesudah penampang komposit.

4.3.8 Shear Connector balok melintang

➤ Data-data

Tebal slab	h_c	= 25 cm
Jarak	$\lambda = b_o$	= 500 cm
Panjang bentang	L	= 13,2 m

➤ Data Material

a. Beton

Kuat tekan beton	$f_c' = 35 \text{ Mpa}$
Modulus Elastisitas (E_c)	$= 4700\sqrt{f_c'} = 27805,5 \text{ Mpa}$
Berat Beton bertulang	$W_c = 25 \text{ kN/m}^3$

b. Baja Tulangan

Tegangan leleh baja	$f_y = 360 \text{ Mpa}$
Diameter tulangan	$\emptyset = 13 \text{ mm}$

c. Baja Profil

Mutu baja	BJ 55
Tegangan leleh baja	$f_y = 410 \text{ Mpa}$
Modulus Elastisitas	$E = 200.000 \text{ Mpa}$
Profil	WF. 900.300.18.34
I_o	$= 498000 \text{ cm}^4$
h_s	$= 77,6 \text{ cm}$

$$A_s = 364 \text{ cm}^2$$

$$q_s = 286 \text{ kg/m} = 2,86 \text{ kN/m}$$

➤ **Lebar efektif penampangkomposit**

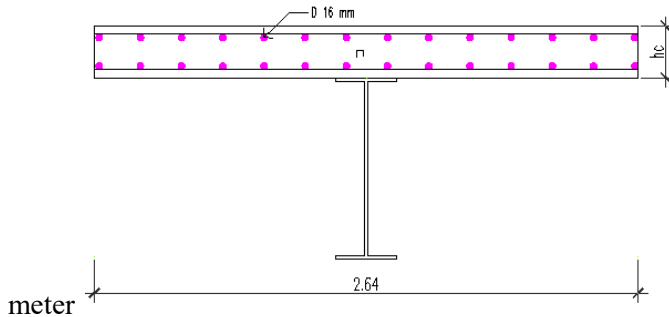
Lebar efektif (RSNI T-03-2005)

$$b_E = L/5 = 13,2\text{m}/5 = 2,64 \text{ meter}$$

$$b_E = \lambda = 5 \text{ meter}$$

$$b_E = 12 \cdot h_c = 12 \cdot (0,25 \text{ m}) = 3 \text{ meter}$$

Sehingga diambil yang terkecil 2,64



Gambar 4.23 Jembatan komposit

Misal pada lebar efektif 264 cm terdapat 14 buah tulangan D 16 mm atas dan 14 buah tulangan D 16 mm pada bagian bawah

➤ **Kekuatan plastis dan garis netral plastis**

Anggap garis netral plastis ada pada gelagar

➤ **Kekuatan tekanan pada plat lantai, (C)**

$$C = 0,85 \cdot f_c' \cdot B_e \cdot h_c + (A_s \cdot f_y)_c$$

Dimana:

$$(A_s \cdot f_y)_c = (14+14) \cdot \frac{1}{4} \cdot \pi \cdot (16\text{mm})^2 \cdot (360 \text{ Mpa})$$

$$= 2025677 \text{ N}$$

$$0,85 \cdot f_c' \cdot b_E \cdot h_c = 0,85 \cdot (35\text{Mpa}) \cdot (2640 \text{ mm}) \cdot (250\text{mm})$$

$$= 19635000 \text{ N}$$

$$C = 2025677 \text{ N} + 19635000 \text{ N} = 21660677 \text{ N}$$

➤ **Kekuatan tarikan pada gelagar, (T)**

$$T = A_s \cdot F_y$$

$$= (364 \times 100\text{mm}^2) \cdot (410 \text{ Mpa})$$

$$= 14924000 \text{ N} < C$$

- Kedalaman daerah tekan pada lantai,

$$a = \frac{T - (A \cdot f_y) \cdot c}{0,85 \cdot f_c \cdot b \cdot g}$$

$$= \frac{14924000 \text{ N} - 2025677 \text{ N}}{0,85 \cdot 35 \text{ Mpa} \cdot 2640 \text{ mm}}$$

$$= 164,23 \text{ mm} < 250 \text{ mm}$$

- Garis netral plastis berada pada lantai beton, perhitungan diulangi, tulangan yang mengalami tekan hanya bagian atas sebanyak 4 tulangan

$$(A \cdot f_y) \cdot c = (14) \cdot \frac{1}{4} \cdot \pi \cdot (16\text{mm})^2 \cdot (360 \text{ Mpa})$$

$$= 1012838 \text{ N}$$

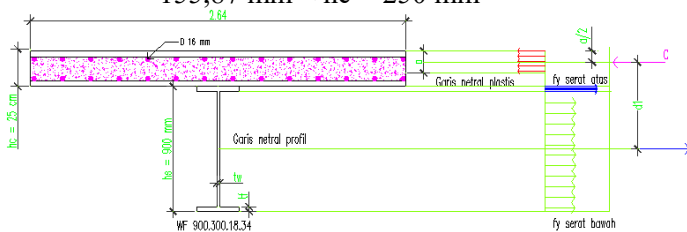
$$C = 2025677 \text{ N} + 19635000 \text{ N}$$

$$= 20647838 \text{ N} > T$$

$$a = \frac{T - (A \cdot f_y) \cdot c}{0,85 \cdot f_c \cdot b \cdot g}$$

$$= \frac{14924000 \text{ N} - 1012838 \text{ N}}{0,85 \cdot 35 \text{ Mpa} \cdot 2640 \text{ mm}}$$

$$= 155,87 \text{ mm} < h_c = 250 \text{ mm}$$



Gambar 4.24 Diagram tegangan plastis gelagar melintang

$$d_1 = \frac{h_s}{2} + h_c - \frac{a}{2} = \frac{776\text{mm}}{2} + 250\text{mm} - \frac{155,87\text{mm}}{2}$$

$$= 560,07 \text{ mm}$$

➤ Kekuatan Lentur

Kekuatan lentur nominal

$$\begin{aligned} M_s &= T \cdot d_l \\ &= 14924000 \text{ N} \cdot 560,07 \text{ mm} \\ &= 8358429783,090 \text{ Nmm} \end{aligned}$$

Kuat Lentur rencana

$$\begin{aligned} M_u &= \phi \cdot M_s \\ &= 0,9 \cdot 8358429783,090 \text{ Nmm} \\ &= 7522586804,8 \text{ Nmm} \end{aligned}$$

$$M_u = 7522,57 \text{ kN.m}$$

➤ Penghubung Geser (Shear connector)

Berdasarkan RSNI T-03-2005

Gaya geser longitudinal dalam keadaan batas (ultimit),

$$V_L = T = 14924000 \text{ N}$$

Gaya Geser rencana,

$$V_{LS} = \frac{V_L}{\phi} = \frac{14924000 \text{ N}}{0,75} = 19898666,7 \text{ N}$$

Syarat-syarat.

Diameter maksimum,

$$1,5 t_f = 1,5 \times (34 \text{ mm}) = 51 \text{ mm} = 5,1 \text{ cm}$$

Dipakai konektor 13 x 75 (lihat lampiran)

$$D = 13 \text{ mm} < 51 \text{ mm} \rightarrow (\text{OK})$$

$$L = 75 \text{ mm}$$

Jarak antara konektor stud,

$$1. \quad 600 \text{ mm} = 60 \text{ cm, atau}$$

$$2. \quad 2 \times h_c = 2 \times (250 \text{ mm}) = 500 \text{ mm} = 50 \text{ cm}$$

$$3. \quad 4 \times L = 4 \times (75 \text{ mm}) = 300 \text{ mm} = 30 \text{ cm}$$



Gambar 4.25 Konektor Stud

Mutu Baja konektor, BJ-55

Tegangan putus, $f_u = 550 \text{ Mpa}$

Kekuatan geser satu konektor stud,

$$\begin{aligned} V_{su} &= \frac{1}{4} \cdot \pi \cdot D^2 \cdot f_u \\ &= \frac{1}{4} \cdot \pi \cdot (13\text{mm})^2 \cdot (550 \text{ Mpa}) \\ &= 72965,75 \text{ N} \end{aligned}$$

Jumlah konektor stud

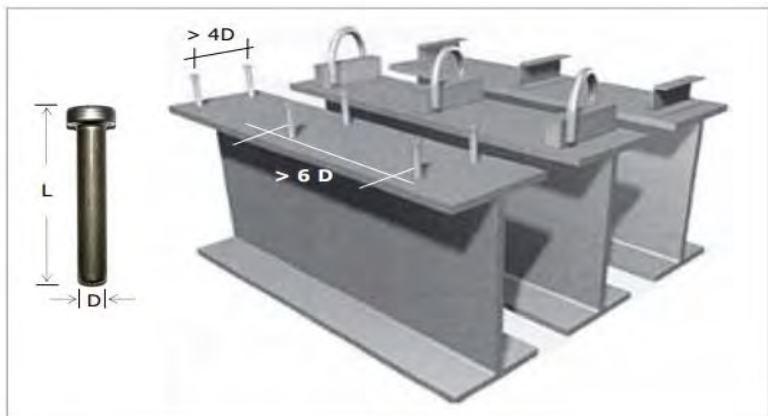
$$\begin{aligned} n &= \frac{V_{LS}}{0,55 \cdot V_{SU}} = \frac{19898666,7 \text{ N}}{0,55 \cdot 72965,75 \text{ N}} \\ &= 304 \text{ buah (untuk 2 baris)} \\ &= 152 \text{ buah (untuk 1 baris)} \end{aligned}$$

Rencanakan 1 baris konektor stud 152 buah sepanjang bentang gelagar 13,2 meter.

Jarak terjauh antara konektor

$$= (1320\text{cm}) / (152\text{buah}) = 9 \text{ cm} < 30 \text{ cm}$$

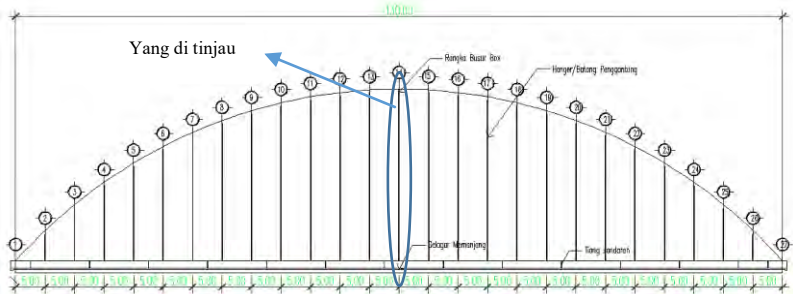
Sehingga dipasang dengan jarak 10 cm



Gambar 4.26 Jarak antara konektor stud

4.4 Perencanaan Batang Penggantung

Panjang dari batang penggantung dicari menggunakan pendekatan rumus sumbu geometrik busur



Gambar 4.27 Konstruksi Pemikul Utama

Persamaan parabola:

$$Y_n = \frac{4 \cdot f \cdot X \cdot (L - X)}{L^2}$$

$$L = 130 \text{ m}$$

$$f = 25 \text{ m}$$

Tabel 4.2 Panjang Penggantung

AS	X	Y _n
1	0	0,00
2	5	3,70
3	10	7,10
4	15	10,21
5	20	13,02
6	25	15,53
7	30	17,75
8	35	19,67
9	40	21,30

AS	X	Y _n
16	75	24,41
17	80	23,67
18	85	22,63
19	90	21,30
20	95	19,67
21	100	17,75
22	105	15,53
23	110	13,02
24	115	10,21

10	45	22,63
11	50	23,67
12	55	24,41
13	60	24,85
14	65	25,00
15	70	24,85

25	120	7,10
26	125	3,70
27	130	0,00

4.4.1 Pembebanan Output Sap yang dihasilkan

Tabel 4.3 Gaya yang terjadi pada batang penggantung

As	Frame	P(KN)	Yn(m)	kontrol σ		kontrol Δ
				σ terjadi	σ ijin	
2a	57	50,687	3,7	5,17	120,91	OK
3a	58	97,264	7,1	9,92	120,91	OK
4a	59	139,868	10,21	14,27	120,91	OK
5a	60	178,363	13,02	18,20	120,91	OK
6a	61	212,748	15,53	21,71	120,91	OK
7a	62	243,16	17,75	24,81	120,91	OK
8a	63	269,463	19,67	27,50	120,91	OK
9a	64	291,792	21,3	29,77	120,91	OK
10a	65	310,012	22,63	31,63	120,91	OK
11a	66	324,259	23,67	33,09	120,91	OK
12a	67	334,397	24,41	34,12	120,91	OK
13a	68	340,424	24,85	34,74	120,91	OK
14a	69	342,479	25	34,95	120,91	OK
15a	70	340,424	24,85	34,74	120,91	OK
16a	71	334,397	24,41	34,12	120,91	OK
17a	72	324,259	23,67	33,09	120,91	OK

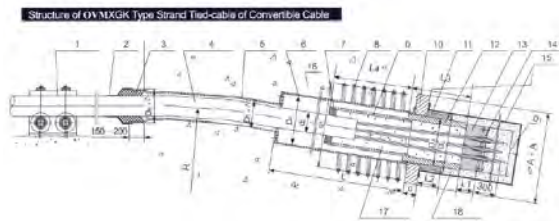
18a	75	310,012	22,63	31,63	120,91	OK
19a	76	291,792	21,3	29,77	120,91	OK
20a	77	269,463	19,67	27,50	120,91	OK
21a	78	243,16	17,75	24,81	120,91	OK
22a	79	212,748	15,53	21,71	120,91	OK
23a	80	178,363	13,02	18,20	120,91	OK
24a	81	139,868	10,21	14,27	120,91	OK
25a	82	97,264	7,1	9,92	120,91	OK
26a	83	50,687	3,7	5,17	120,91	OK

As	Frame	P(KN)	Yn(m)	kontrol σ		kontrol Δ
				σ terjadi	σ ijin	
2j	84	50,687	3,7	5,17	120,91	OK
3j	85	97,264	7,1	9,92	120,91	OK
4j	86	139,868	10,21	14,27	120,91	OK
5j	87	178,363	13,02	18,20	120,91	OK
6j	88	212,748	15,53	21,71	120,91	OK
7j	89	243,16	17,75	24,81	120,91	OK
8j	90	269,463	19,67	27,50	120,91	OK
9j	93	291,792	21,3	29,77	120,91	OK
10j	94	310,012	22,63	31,63	120,91	OK
11j	95	324,259	23,67	33,09	120,91	OK
12j	96	334,397	24,41	34,12	120,91	OK
13j	97	340,424	24,85	34,74	120,91	OK
14j	98	342,479	25	34,95	120,91	OK
15j	99	340,424	24,85	34,74	120,91	OK
16j	100	334,397	24,41	34,12	120,91	OK
17j	101	324,259	23,67	33,09	120,91	OK

18j	102	310,012	22,63	31,63	120,91	OK
19j	103	291,792	21,3	29,77	120,91	OK
20j	104	269,463	19,67	27,50	120,91	OK
21j	105	243,16	17,75	24,81	120,91	OK
22j	106	212,748	15,53	21,71	120,91	OK
23j	107	178,363	13,02	18,20	120,91	OK
24j	108	139,868	10,21	14,27	120,91	OK
25j	111	97,264	7,1	9,92	120,91	OK
26j	112	50,687	3,7	5,17	120,91	OK

Didapatkan Pmaks sebesar = 342,479 kN (frame 69)

L = 25 m



Technical Parameters of Strand Cable

Type A1:

Model of Cable System	Nominal Sectional Area of Steel Strand (unit: cm ²)	Unit Mass of Steel Strand (kg/m)	Unit Mass of Cable (kg/m)	Outer Diameter of Cable (mm)	Breaking Force (kN)
OVMXG15-7	9.8	7.7	8.5	56	1823
OVMXG15-12	16.8	13.2	14.2	72	3125
OVMXG15-19	26.6	20.9	22.4	88	4948
OVMXG15-22	30.8	24.2	25.8	97	5729
OVMXG15-27	37.8	29.7	31.8	106	7031
OVMXG15-31	43.4	34.1	36.3	110	8072
OVMXG15-37	51.8	40.7	43.4	123	9635

Profil yang dipakai OVMXG15-7 D= 56 mm A= 9,8cm²

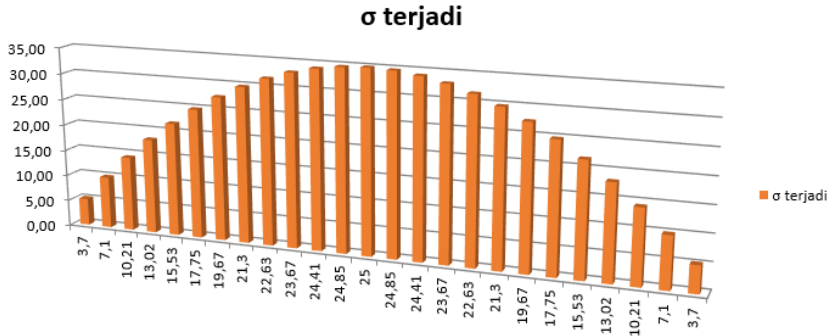
E = 1,9 x 10⁶ kg/cm²

Teg.ijin = 1823 kN

Hanging cable stress = 65%

Kontrol tegangan

$$\begin{aligned} \sigma &= P/A && \leq \text{Teg. Ijin}/A \\ &= \frac{342,479 \text{ kN}}{9,8 \text{ cm}^2} && \leq \frac{1823 \text{ kN} \times 65\%}{9,8 \text{ cm}^2} \\ &= 34,95 \text{ kN/cm}^2 && \leq 120,91 \text{ kN/cm}^2 \rightarrow \text{OK} \end{aligned}$$



4.5 Perencanaan Konstruksi Busur

Persamaan Parabola

$$Y_n = \frac{4 \cdot f \cdot X \cdot (L - X)}{L^2}$$

$$L = 130 \text{ m}$$

$$f = 1/5 L \text{ sampai } 1/8 L$$

$$= 1/5 \cdot 130 \text{ m sampai } 1/8 \cdot 130 \text{ m}$$

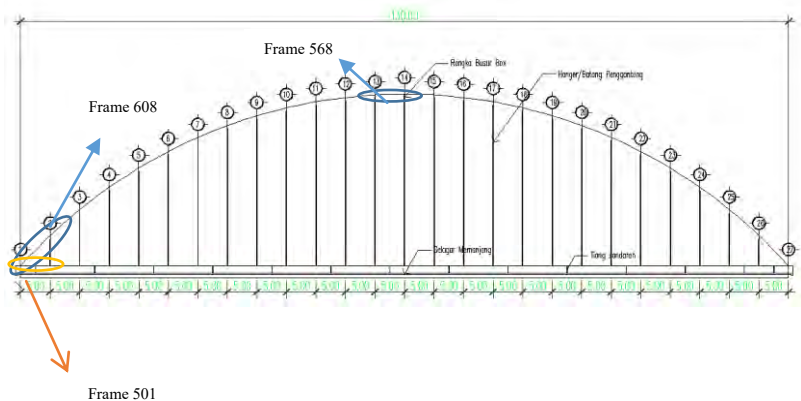
$$= 26 \text{ sampai } 16,25$$

$$f = 25 \text{ m}$$

$$\Delta S_n = \sqrt{\Delta Y^2 + \Delta X^2}$$

$$g_n = A_n \cdot \Delta S_n \cdot \gamma_{\text{baja}}$$

$$\gamma_{\text{baja}} = 7850 \text{ kg/m}^3$$



Tabel 4.4 Pembebanan Busur

Titik	Segmen	X (m)	Y (m)	A(m)	B(m)	tw(m)	tf(m)	An(m ²)	ΔS_n (m)	gn
1		0	0.000							
	1 - 2			0.8	1.2	0.03	0.03	0.12	6.219	5683
2		5	3.698							
	2 - 3			0.8	1.2	0.03	0.03	0.12	6.048	5526
3		10	7.101							
	3 - 4			0.8	1.2	0.03	0.03	0.12	5.886	5379
4		15	10.207							
	4 - 5			0.8	1.2	0.03	0.03	0.12	5.736	5241
5		20	13.018							
	5 - 6			0.8	1.2	0.03	0.03	0.12	5.597	5114
6		25	15.533							
	6 - 7			0.8	1.2	0.03	0.03	0.12	5.470	4998
7		30	17.751							
	7 - 8			0.8	1.2	0.03	0.03	0.12	5.357	4895
8		35	19.675							
	8 - 9			0.8	1.2	0.03	0.03	0.12	5.258	4805
9		40	21.302							
	9 - 10			0.8	1.2	0.02	0.02	0.08	5.174	3184
10		45	22.633							
	10 - 11			0.8	1.2	0.02	0.02	0.08	5.106	3142
11		50	23.669							
	11 - 12			0.8	1.2	0.02	0.02	0.08	5.054	3111
12		55	24.408							
	12 - 13			0.8	1.2	0.02	0.02	0.08	5.020	3089
13		60	24.852							
	13-14			0.8	1.2	0.02	0.02	0.08	5.002	3079
14		65	25.000							
	14-15			0.8	1.2	0.02	0.02	0.08	5.002	3079
15		70	24.852							
	15-16			0.8	1.2	0.02	0.02	0.08	5.020	3089

16		75	24.408							
17	16-17	80	23.669	0.8	1.2	0.02	0.02	0.08	5.054	3111
18	17-18	85	22.633	0.8	1.2	0.02	0.02	0.08	5.106	3142
19	18-19	90	21.302	0.8	1.2	0.02	0.02	0.08	5.174	3184
20	19-20	95	19.675	0.8	1.2	0.03	0.03	0.12	5.258	4805
21	20-21	100	17.751	0.8	1.2	0.03	0.03	0.12	5.357	4895
22	21-22	105	15.533	0.8	1.2	0.03	0.03	0.12	5.470	4998
23	22-23	110	13.018	0.8	1.2	0.03	0.03	0.12	5.597	5114
24	23-24	115	10.207	0.8	1.2	0.03	0.03	0.12	5.736	5241
25	24-25	120	7.101	0.8	1.2	0.03	0.03	0.12	5.886	5379
26	25-26	125	3.698	0.8	1.2	0.03	0.03	0.12	6.048	5526
27	26-27	130	0.000	0.8	1.2	0.03	0.03	0.12	6.219	5683

4.5.1 Stabilitas Penampang Busur

1. Batang Tekan Busur

Digunakan profil box 800 1200 30 (frame 608)

An	= 116400 mm ²	<i>γ_{baja}</i>	= 7850 kg/m ³
A	= 1200 mm	BJ 55	
B	= 800 mm	f _y	= 410 N/mm ²
tw	= 30 mm	f _u	= 550 N/mm ²
tf	= 30 mm	E	= 2 x 10 ⁵ N/mm ²
g	= 913,74 kg/m	J	= 2552320 cm ⁴
I _x	= 1270372 cm ⁴		
I _y	= 2383812 cm ⁴		
i _x	= 33,0361 cm		
i _y	= 45,2543 cm		
Z _x	= 31759 cm ³		
Z _y	= 39730 cm ³		

Dari output sap, didapatkan:

Busur mengalami tekan (Frame 608)

Komb. Ult 1+kel 27 = Dead + Beban "D" + Rem + Angin +
Suhu



$$N_u = 1877218,28 \text{ kg}$$

➤ Kontrol Kelangsingan komponen struktur tekan

$$\lambda = \frac{L \cdot k}{r}$$

Terhadap sumbu x

$$L = 6220,13 \text{ mm}$$

$$k = 1 \text{ (sendi-sendiri ; RSNI T-03-2005 Gambar 3)}$$

$$\begin{aligned} \lambda_x &= \frac{L \cdot k}{r} \leq 140 \text{ (RSNI T-03-2005 pasal 6.1)} \\ &= \frac{6220,13 \text{ mm} \cdot 1}{330,361 \text{ mm}} = 18,82 \text{ mm} < 140 \text{ OK} \end{aligned}$$

$$\begin{aligned} \lambda_y &= \frac{L \cdot k}{r} \leq 140 \text{ (RSNI T-03-2005 pasal 6.1)} \\ &= \frac{6220,13 \text{ mm} \cdot 1}{452,543 \text{ mm}} = 13,74 \text{ mm} < 140 \text{ OK} \end{aligned}$$

$$\lambda_x > \lambda_y$$

Berdasarkan RSNI T-03-2005 pasal 6.2 untuk menetapkan parameter kelangsingan:

$$\begin{aligned} \lambda_c &= \frac{L \cdot k}{r \pi} \sqrt{\frac{F_y}{E}} \\ &= \frac{1}{\pi} 18,38 \text{ mm} \sqrt{\frac{410 \text{ N/mm}^2}{200.000 \text{ N/mm}^2}} \\ &= 0,27 \end{aligned}$$

Untuk nilai : $\lambda_c \leq 1,5$ $\rightarrow N_n = (0,66^{\lambda_c^2}) \cdot A_g \cdot f_y$
 (RSNI T-03-2005 pasal 6.2-1)

- Kuat Nominal

$$N_n = (0,66^{\lambda_c^2}) \cdot A_g \cdot f_y$$

$$= (0,66^{0,27^2}) \cdot 116400 \text{ mm}^2 \cdot 410 \text{ N/mm}^2$$

$$= 46287093,81 \text{ N}$$

- Kontrol

$$N_u \leq \phi_n \cdot N_n \quad (\text{RSNI T-03-2005 pasal 6.1-1})$$

Dengan pengertian:

$\phi_n = 0,85$ (faktor reduksi \rightarrow RSNI T-03-2005 pasal 4.5.2)

$$N_n = (0,66^{\lambda_c^2}) \cdot A_g \cdot f_y$$

(kuat tekan terfaktor \rightarrow RSNI T-03-2005 pasal 6.2-1)

$$N_u \leq \phi_n \cdot N_n$$

$$1877218,28 \text{ kg} \leq 0,85 \cdot 4628709,381 \text{ Kg}$$

$$1877218,28 \text{ kg} \leq 3934402,97 \text{ kg} \rightarrow \text{OK}$$

➤ Kontrol Tekuk Lokal



$$M_{ux} = 212984,55 \text{ kg.m}$$

$$M_{uy} = 307697,64 \text{ kg.m}$$

Kontrol profil box menurut SNI 1729-2015 tabel Tabel

B4.1a

Arah x

$$\lambda = \frac{b}{2t} = \frac{1140 \text{ mm}}{60 \text{ mm}} = 82,97$$

$$\lambda p = 1,40 \sqrt{\frac{E}{f_y}} = 1,40 \sqrt{\frac{200000}{410}} = 30,92$$

Arah y

$$\lambda = \frac{b}{2t} = \frac{740 \text{ mm}}{60 \text{ mm}} = 12,33$$

$$\lambda p = 1,20 \sqrt{\frac{E}{f_y}} = 1,20 \sqrt{\frac{200000}{410}} = 26,50$$

➤ Kontrol Tekuk Lateral

Arah X

$$\begin{aligned} M_p &= Z_x \cdot f_y = 31759 \text{ cm}^3 \cdot 4100 \text{ kg/cm}^3 \\ &= 130211900 \text{ kg.cm} = 13021,19 \text{ kN.m} \end{aligned}$$

$$L = 6220,13 \text{ mm}$$

$$f_r = 70 \text{ N/mm}^2$$

$$f_L = f_y - f_r = 410 \text{ N/mm}^2 - 70 \text{ N/mm}^2 = 340 \text{ N/mm}^2$$

$$\begin{aligned} L_p &= 0,13 E r_y \frac{\sqrt{J \cdot A}}{M_p} \\ &= 0,13 \cdot 2 \times 10^6 \text{ kg/cm}^2 \cdot 45,2543 \text{ cm} \\ &\cdot \frac{\sqrt{2552320 \text{ cm}^4 \cdot 1164 \text{ cm}^2}}{130211900 \frac{\text{kg}}{\text{cm}}} \end{aligned}$$

$$= 4925,231 \text{ cm} = 49252 \text{ mm}$$

$$\begin{aligned} M_R &= S_x \times (f_y - f_r) \\ &= 31759000 \text{ mm}^3 \times (410 \text{ Mpa} - 70 \text{ Mpa}) \\ &= 10798060000 \text{ Nmm} = 107980600 \text{ kg.cm} \\ &= 10798 \text{ kN.m} \end{aligned}$$

$$\begin{aligned} L_r &= 2 \cdot E \cdot r_y \frac{\sqrt{J \cdot A}}{M_r} \\ &= 2 \cdot 2 \times 10^6 \text{ kg/cm}^2 \cdot 45,2543 \text{ cm} \cdot \\ &\frac{\sqrt{2552320 \text{ cm}^4 \cdot 1164 \text{ cm}^2}}{(f_y - f_r) \cdot S_x} \end{aligned}$$

$$= 913731 \text{ mm}$$

$L < L_p \rightarrow$ Bentang Pendek

Karena bentang pendek, maka $M_n = M_p = 13021,19 \text{ kN.m}$

$$\begin{aligned} \text{Kapasitas Momen} = \phi \cdot M_{nx} &= 0,90 \times 13021,19 \text{ kNm} \\ &= 11719,071 \text{ kNm} \end{aligned}$$

$$\phi M_{nx} > M_{ux} = 11719,071 \text{ kNm} > 2129,8455 \text{ kNm}$$

Arah Y

$$\begin{aligned} M_p &= Z_y \cdot f_y = 39730 \text{ cm}^3 \cdot 4100 \text{ kg/cm}^3 \\ &= 162893000 \text{ kg.cm} = 16289,3 \text{ kN.m} \end{aligned}$$

$$L = 6220,13 \text{ mm}$$

$$F_r = 70 \text{ N/mm}^2$$

$$f_L = f_y - f_r = 410 \text{ N/mm}^2 - 70 \text{ N/mm}^2 = 340 \text{ N/mm}^2$$

$$\begin{aligned} L_p &= 0,13 E r_y \frac{\sqrt{J \cdot A}}{M_p} \\ &= 0,13 \cdot 2 \times 10^6 \text{ kg/cm}^2 \cdot 45,2543 \text{ cm} \cdot \\ &\quad \frac{\sqrt{2552320 \text{ cm}^4 \cdot 1164 \text{ cm}^2}}{162893000 \text{ kg/cm}} \end{aligned}$$

$$= 3937,085 \text{ cm} = 39371 \text{ mm}$$

$$\begin{aligned} M_R &= S_y \times (f_y - f_r) \\ &= 39730000 \text{ mm}^3 \times (410 \text{ Mpa} - 70 \text{ Mpa}) \\ &= 13508200000 \text{ Nmm} = 135082000 \text{ kg.cm} \\ &= 13508 \text{ kN.m} \end{aligned}$$

$$\begin{aligned} L_r &= 2 \cdot E \cdot r_y \frac{\sqrt{J \cdot A}}{M_r} \\ &= 2 \cdot 2 \times 10^6 \text{ kg/cm}^2 \cdot 45,2543 \text{ cm} \cdot \\ &\quad \frac{\sqrt{2552320 \text{ cm}^4 \cdot 1164 \text{ cm}^2}}{(f_y - f_r) \cdot S_x} \end{aligned}$$

$$= 730409 \text{ mm}$$

$L < L_p \rightarrow$ Bentang Pendek

Karena bentang pendek, maka $M_n = M_p = 16289,3 \text{ kN.m}$

$$\begin{aligned} \text{Kapasitas Momen} = \phi \cdot M_{ny} &= 0,90 \times 16289,3 \text{ kN.m} \\ &= 14660,37 \text{ kNm} \end{aligned}$$

$$\phi M_{ny} > M_{uy} = 14660,37 \text{ kNm} > 3076,9764 \text{ kNm}$$

Maka penampang telah memenuhi kekuatan lentur yang terjadi.

Menurut SNI -03-1729-2002 Pasal 11.3

$$\text{Untuk } \frac{N_u}{\phi N_n} \geq 0,2 \rightarrow \frac{N_u}{\phi N_n} + \frac{8}{9} \left(\frac{M_{ux}}{\phi M_{nx}} + \frac{M_{uy}}{\phi M_{ny}} \right) \leq 1$$

$$\frac{18772,1828}{39344,0297} + \frac{8}{9} \left(\frac{2129,8455}{11719,071} + \frac{3076,9764}{14660,37} \right) \leq 1$$

$$0,83 \leq 1 \rightarrow \text{OK}$$

➤ Kontrol terhadap geser



Shear V2
8223,01 Kgf
at 6,22013 m

$$V_u = 8223,01 \text{ kg}$$

$$(\text{RSNI T-03-2005 ps.7.8}) : V_u \leq \phi \cdot V_n$$

Luas penampang badan

$$\frac{h}{tw} = \frac{740}{60} = 12,33$$

$$K_n = 5 + \frac{5}{(a/h)^2}$$

$$K_n = 5 + \frac{5}{(1200/740)^2} = 6,9$$

$$1,10 \sqrt{\frac{K_n \times E}{f_y}} = 1,10 \sqrt{\frac{6,9 \times 2 \times 10^5}{410}} = 63,82$$

$$\frac{h}{tw} \leq 1,10 \sqrt{\frac{K_n \times E}{f_y}}, \text{ maka kuat geser :}$$

$$V_n = 0,6 \times f_y \times A_w \rightarrow (\text{RSNI T-03-2005 ps.7.8.-3a})$$

$$= 0,6 \times 410 \times (800 \times 30) = 5904000 \text{ N}$$

(kuat geser terfaktor \rightarrow RSNI T-03-2005 pasal

7.8.1)

$$V_u \leq \phi \cdot V_n$$

$$8223,01 \text{ N} \leq 0,75 \cdot 5904000 \text{ N}$$

$$8223,01 \text{ N} \leq 4428000 \text{ N}$$

Maka penampang telah memenuhi kekuatan geser yang terjadi

➤ Kontrol lendutan

Buku LRFD Bab 5.5 Hal. 89

$$(5L^2)[Ms-0,1(Ma+Mb)]/(48EI)$$

Ms = Momen di tengah lapangan

Ma = Momen tumpuan

Mb = Momen Tumpuan



$$Ma = 1740349165 \text{ Nmm}$$



$$Ms = 1876188349 \text{ Nmm}$$



$$Mb = 2088664972 \text{ Nmm}$$

Lendutan yang terjadi

$$= (5L^2)[Ms-0,1(Ma+Mb)]/(48EI)$$

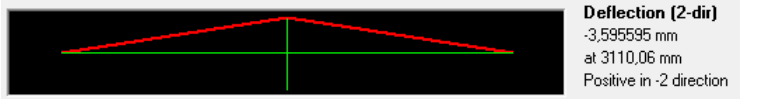
$$= (5.6220,13)[1876188349 \text{ Nmm} - 0,1(1740349165$$

Nmm

$$+ 2088664972 \text{ Nmm}]/(48 \cdot 2 \times 10^5 \cdot 12703720000 \text{ mm}^4)$$

$$= 2,3 \text{ mm}$$

Lendutan yang terjadi(output sap)



$$= 3,5 \text{ mm}$$

Batas lendutan Maksimal (SNI 03-1729-2002 Tabel 6.4-1)

$$L/240 = 6220,13 \text{ mm}/240 = 25,9 \text{ mm} > 3,5 \text{ mm (OK)}$$

Digunakan profil box 800 1200 20 (frame 568)

An	= 78400 mm ²	<i>γ_{baja}</i>	= 7850 kg/m ³
A	= 800 mm	BJ 55	
B	= 1200 mm	f _y	= 410 N/mm ²
tw	= 20 mm	f _u	= 550 N/mm ²
tf	= 20 mm	E	= 2 x 10 ⁵ N/mm ²
g	= 615,44 kg/m	J	= 1748022 cm ⁴
I _x	= 876565 cm ⁴		
I _y	= 1634325 cm ⁴		
i _x	= 33,4375 cm		
i _y	= 45,6574 cm		
Z _x	= 21914 cm ³		
Z _y	= 27239 cm ³		

Dari output sap, didapatkan:

Busur mengalami tekan (Frame 568)

Komb. Ult 1+kel 27 = Dead + Beban "D" + Rem + Angin +
Suhu



Nu = 1453223,19 kg

➤ Kontrol Kelangsingan komponen struktur tekan

$$\lambda = \frac{L \cdot k}{r}$$

Terhadap sumbu x

L = 5002,25 mm

k = 1 (sendi- sendi ; RSNI T-03-2005 Gambar 3)

$$\begin{aligned} \lambda_x &= \frac{L \cdot k}{r} \leq 140 \text{ (RSNI T-03-2005 pasal 6.1)} \\ &= \frac{5002,25 \text{ mm} \cdot 1}{334,375 \text{ mm}} = 14,96 \text{ mm} < 140 \text{ OK} \end{aligned}$$

$$\lambda_y = \frac{L \cdot k}{r} \leq 140 \text{ (RSNI T-03-2005 pasal 6.1)}$$

$$= \frac{5002,25 \text{ mm} \cdot 1}{456,574 \text{ mm}} = 10,956 \text{ mm} < 140 \text{ OK}$$

$$\lambda_x > \lambda_y$$

Berdasarkan RSNI T-03-2005 pasal 6.2 untuk menetapkan parameter kelangsingan:

$$\lambda_c = \frac{L \cdot k}{r \pi} \sqrt{\frac{F_y}{E}}$$

$$= \frac{1}{\pi} 14,96 \text{ mm} \sqrt{\frac{410 \text{ N/mm}^2}{200.000 \text{ N/mm}^2}}$$

$$= 0,22$$

Untuk nilai : $\lambda_c \leq 1,5 \rightarrow N_n = (0,66^{\lambda_c^2}) \cdot A_g \cdot f_y$

(RSNI T-03-2005 pasal 6.2-1)

- Kuat Nominal

$$N_n = (0,66^{\lambda_c^2}) \cdot A_g \cdot f_y$$

$$= (0,66^{0,22^2}) \cdot 78400 \text{ mm}^2 \cdot 410 \text{ N/mm}^2$$

$$= 31529572,45 \text{ N}$$

- Kontrol

$$N_u \leq \phi n \cdot N_n \quad \text{(RSNI T-03-2005 pasal 6.1-1)}$$

Dengan pengertian:

$\phi n = 0,85$ (faktor reduksi \rightarrow RSNI T-03-2005 pasal 4.5.2)

$$N_n = (0,66^{\lambda_c^2}) \cdot A_g \cdot f_y$$

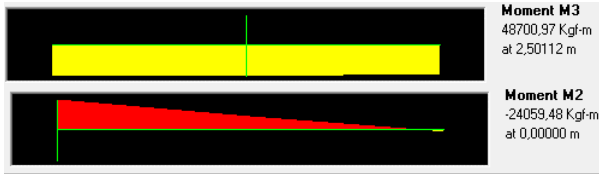
(kuat tekan terfaktor \rightarrow RSNI T-03-2005 pasal 6.2-1)

$$N_u \leq \phi n \cdot N_n$$

$$1453223,19 \text{ kg} \leq 0,85 \cdot 3152957,245 \text{ Kg}$$

$$1453223,19 \text{ kg} \leq 2680013,66 \text{ kg} \rightarrow \text{OK}$$

➤ Kontrol Tekuk Lokal



$$M_{ux} = 48700,97 \text{ kg.m}$$

$$M_{uy} = 24059,48 \text{ kg.m}$$

Kriteria dimensi profil box menurut SNI -03-1729-2002 tabel 7.5-1

Arah x

$$\lambda = \frac{b}{2t} = \frac{1160 \text{ mm}}{40 \text{ mm}} = 29$$

$$\lambda_p = 1,40 \sqrt{\frac{E}{f_y}} = 1,40 \sqrt{\frac{200000}{410}} = 30,92$$

Arah y

$$\lambda = \frac{b}{2t} = \frac{740 \text{ mm}}{40 \text{ mm}} = 18,5$$

$$\lambda_p = 1,20 \sqrt{\frac{E}{f_y}} = 1,20 \sqrt{\frac{200000}{410}} = 26,50$$

$\lambda < \lambda_p \rightarrow$ Penampang Kompak

$$M_n = M_p$$

➤ Kontrol Tekuk Lateral

Arah X

$$\begin{aligned} M_p &= Z_x \cdot f_y = 21914 \text{ cm}^3 \cdot 4100 \text{ kg/cm}^3 \\ &= 89847400 \text{ kg.cm} = 8984,74 \text{ kN.m} \end{aligned}$$

$$L = 5002,25 \text{ mm}$$

$$F_r = 70 \text{ N/mm}^2$$

$$f_L = f_y - F_r = 410 \text{ N/mm}^2 - 70 \text{ N/mm}^2 = 340 \text{ N/mm}^2$$

$$\begin{aligned} L_p &= 0,13 E r_y \frac{\sqrt{J \cdot A}}{M_p} \\ &= 0,13 \cdot 2 \times 10^6 \text{ kg/cm}^2 \cdot 45,6574 \text{ cm} \\ &= \frac{\sqrt{1748022 \text{ cm}^4 \cdot 784 \text{ cm}^2}}{21914 \text{ kg/cm}} \\ &= 4891,144 \text{ cm} = 48911 \text{ mm} \end{aligned}$$

$$\begin{aligned}
 M_R &= S_x \times (f_y - f_r) \\
 &= 21914000 \text{ mm}^3 \times (410 \text{ Mpa} - 70 \text{ Mpa}) \\
 &= 7450760000 \text{ Nmm} = 74507600 \text{ kg.cm} \\
 &= 7451 \text{ kN.m}
 \end{aligned}$$

$$\begin{aligned}
 L_r &= 2 \cdot E \cdot r_y \frac{\sqrt{J \cdot A}}{M_r} \\
 &= 2 \cdot 2 \times 10^6 \text{ kg/cm}^2 \cdot 45,6574 \text{ cm} \cdot \\
 &\quad \frac{\sqrt{1748022 \text{ cm}^4 \cdot 784 \text{ cm}^2}}{(f_y - f_r) \cdot S_x} \\
 &= 907407 \text{ mm}
 \end{aligned}$$

$L < L_p \rightarrow$ Bentang Pendek

Karena bentang pendek, maka $M_n = M_p = 8984,74 \text{ kN.m}$

$$\begin{aligned}
 \text{Kapasitas Momen} = \phi M_n &= 0,90 \times 8984,74 \text{ kNm} \\
 &= 8086,266 \text{ kNm}
 \end{aligned}$$

$$\phi M_n > M_u = 8086,266 \text{ kNm} > 487,0097 \text{ kNm}$$

Arah Y

$$\begin{aligned}
 M_p &= Z_y \cdot f_y = 27239 \text{ cm}^3 \cdot 4100 \text{ kg/cm}^3 \\
 &= 111679900 \text{ kg.cm} = 11167,99 \text{ kN.m}
 \end{aligned}$$

$$L = 5002,25 \text{ mm}$$

$$F_r = 70 \text{ N/mm}^2$$

$$f_L = f_y - f_r = 410 \text{ N/mm}^2 - 70 \text{ N/mm}^2 = 340 \text{ N/mm}^2$$

$$\begin{aligned}
 L_p &= 0,13 E r_y \frac{\sqrt{J \cdot A}}{M_p} \\
 &= 0,13 \cdot 2 \times 10^6 \text{ kg/cm}^2 \cdot 45,6574 \text{ cm} \cdot \\
 &\quad \frac{\sqrt{1748022 \text{ cm}^4 \cdot 784 \text{ cm}^2}}{111679900 \text{ kg/cm}} \\
 &= 3934,966 \text{ cm} = 39350 \text{ mm}
 \end{aligned}$$

$$\begin{aligned}
 M_R &= S_y \times (f_y - f_r) \\
 &= 27239000 \text{ mm}^3 \times (410 \text{ Mpa} - 70 \text{ Mpa}) \\
 &= 9261260000 \text{ Nmm} = 92612600 \text{ kg.cm} \\
 &= 9261 \text{ kN.m}
 \end{aligned}$$

$$\begin{aligned}
 L_r &= 2 \cdot E \cdot r_y \frac{\sqrt{J \cdot A}}{M_r} \\
 &= 2 \cdot 2 \times 10^6 \text{ kg/cm}^2 \cdot 45,6574 \text{ cm} \cdot \\
 &\quad \frac{\sqrt{27239 \text{ cm}^4 \cdot 784 \text{ cm}^2}}{(f_y - f_r) \cdot S_x}
 \end{aligned}$$

$$= 730016 \text{ mm}$$

$L < L_p \rightarrow$ Bentang Pendek

Karena bentang pendek, maka $M_n = M_p = 11167,99$
kN.m

Kapasitas Momen $= \phi M_{ny} = 0,90 \times 11167,99 \text{ kN.m}$
 $= 10051,19 \text{ kNm}$

$\phi M_{ny} > M_{uy} = 10051,19 \text{ kNm} > 240,5948 \text{ kN.m}$

Maka penampang telah memenuhi kekuatan lentur yang terjadi.

Menurut SNI -03-1729-2002 Pasal 11.3

$$\text{Untuk } \frac{N_u}{\phi N_n} \geq 0,2 \rightarrow \frac{N_u}{\phi N_n} + \frac{8}{9} \left(\frac{M_{ux}}{\phi M_{nx}} + \frac{M_{uy}}{\phi M_{ny}} \right) \leq 1$$

$$\frac{1453223,19}{2680013,66} + \frac{8}{9} \left(\frac{487,0097}{8086,266} + \frac{240,5948}{10051,19} \right) \leq 1$$

$$0,62 \leq 1 \rightarrow \text{OK}$$

➤ Kontrol terhadap geser



Shear V2
2440,33 Kg
at 5,00225 m

$$V_u = 2440,33 \text{ kg}$$

$$(\text{RSNI T-03-2005 ps.7.8}) : V_u \leq \phi \cdot V_n$$

Luas penampang badan

$$\frac{h}{tw} = \frac{760}{20} = 38$$

$$K_n = 5 + \frac{5}{(a/h)_2}$$

$$K_n = 5 + \frac{5}{(1200/760)_2} = 7$$

$$1,10 \sqrt{\frac{K_n x E}{f_y}} = 1,10 \sqrt{\frac{6,9 \times 2 \times 10^5}{410}} = 63,82$$

$$\frac{h}{tw} \leq 1,10 \sqrt{\frac{Kn \times E}{fy}}, \text{ maka kuat geser :}$$

$$V_n = 0,6 \times fy \times A_w \rightarrow (\text{RSNI T-03-2005 ps.7.8.-3a})$$

$$= 0,6 \times 410 \times (800 \times 20) = 3936000 \text{ N}$$

(kuat geser terfaktor \rightarrow RSNI T-03-2005 pasal 7.8.1)

$$V_u \leq \phi \cdot V_n$$

$$24,4033 \text{ kN} \leq 0,75 \cdot 3936000 \text{ N}$$

$$24,4033 \text{ kN} \leq 2952 \text{ kN}$$

Maka penampang telah memenuhi kekuatan geser yang terjadi

➤ Kontrol lendutan

$$(5L^2)[M_s - 0,1(M_a + M_b)] / (48EI)$$

M_s = Momen di tengah lapangan

M_a = Momen tumpuan

M_b = Momen Tumpuan



$$M_a = 48454,96 \text{ kg.m}$$



$$M_s = 48700,96 \text{ kg.m}$$



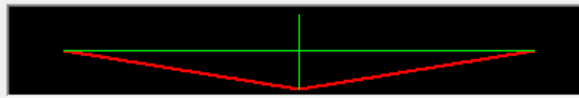
$$M_b = 44713,92 \text{ kg.m}$$

Lendutan yang terjadi

$$= (5L^2)[M_s - 0,1(M_a + M_b)] / (48EI)$$

$$= (5 \cdot 5,00225^2) [48700,96 \text{ kgm} - 0,1(48454,96 \text{ kg.m} + 44713,92 \text{ kg.m})] / (48 \cdot 2 \times 10^{10} \cdot 0,00876565 \text{ cm}^4)$$

$$= 0,0006 \text{ m} = 0,6 \text{ mm}$$

Lendutan yang terjadi(output sap)

Deflection [2-dir]
 0,839745 mm
 at 2501,12 mm
 Positive in -z direction

= 0.8 mm

Batas lendutan Maksimal (SNI 03-1729-2002 Tabel 6.4-1)

$L/240 = 5,00225/240 = 0.02\text{m} = 20,8 \text{ mm} > 0,8 \text{ mm (OK)}$

2. Batang Tarik

Digunakan profil box 600 1200 30

An	= 104400 mm ²	<i>γbaja</i>	= 7850 kg/m ³
A	= 1200 mm	BJ 55	
B	= 600 mm	f _y	= 410 N/mm ²
tw	= 30 mm	f _u	= 550 N/mm ²
tf	= 30 mm	E	= 2 x 10 ⁵ N/mm ²
g	= 819,54 kg/m	J	= 2537262 cm ⁴
I _x	= 664092 cm ⁴		
I _y	= 1973052 cm ⁴		
i _x	= 25,2211 cm		
i _y	= 43,4729 cm		
Z _x	= 22136 cm ³		
Z _y	= 32884 cm ³		

Dari output sap, didapatkan:

Busur mengalami tarik (Frame 501)

Komb. Ult 1+kel 27 = Dead + Beban "D" + Rem + Angin + Suhu



Axial
 1521938,21 Kgf
 at 5,00000 m

Nu = 1521938,21 kg

➤ Kontrol penampang

Kriteria dimensi profil box menurut RSNI T-03-2005 4

Arah X

$$\lambda = \frac{h}{2t} = \frac{1140 \text{ mm}}{60 \text{ mm}} = 19$$

$$\lambda p = 1,40 \sqrt{\frac{E}{f_y}} = 1,40 \sqrt{\frac{200000}{410}} = 30,92$$

Arah Y

$$\lambda = \frac{b}{2t} = \frac{540 \text{ mm}}{60 \text{ mm}} = 9$$

$$\lambda p = 1,20 \sqrt{\frac{E}{f_y}} = 1,20 \sqrt{\frac{200000}{410}} = 26,50$$

$\lambda < \lambda p \rightarrow$ Penampang Kompak
(box termasuk penampang kompak)

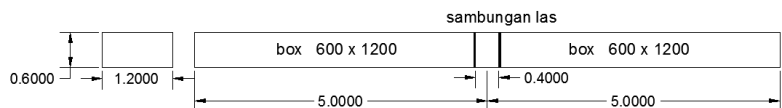
- Kontrol tahanan nominal batang tarik
Menurut RSNI T-03-2005 pasal 5.1 kuat tarik nominal yang besarnya diambil sebagai nilai terendah di beberapa kondisi berikut ini

1. Kuat tarik nominal berdasarkan kelelahan penampang bruto

$$\begin{aligned} N_n &= A_g \cdot f_y \\ &= 104400 \text{ mm}^2 \cdot 410 \text{ N/mm}^2 \\ &= 42804000 \text{ N} = 4280400 \text{ kg} \end{aligned}$$

2. Kuat tarik nominal berdasarkan fraktur penampang efektif

Menggunakan sambungan las



$$N_n = A_e \cdot f_u$$

$$A_e = A \cdot U$$

A = luas pelat sambung

U = 1,00 (karena $\ell > 2w$)

Dimana:

$$\begin{aligned} \ell &= \text{panjang las (mm)} \rightarrow \ell = [(600+1200) \times 2] \times 2 = \\ &7200 \text{ mm}^2 \end{aligned}$$

w = lebar pelat/ jarak antar sumbu las $\rightarrow \ell = 400$ mm

$$A_e = A \cdot U = 1440000 \text{ mm}^2 \cdot 1,00 = 1440000 \text{ mm}^2$$

$$\begin{aligned} N_n &= A_e \cdot f_u \\ &= 140000 \text{ mm}^2 \cdot 550 \text{ N/mm}^2 \\ &= 77000000 \text{ N} = 7700000 \text{ kg} \end{aligned}$$

Diambil kondisi terendah yaitu kondisi 1

$$N_u \leq \phi \cdot N_n$$

$$1521938,21 \text{ kg} \leq 0,75 \cdot 4280400 \text{ kg}$$

$$1521938,21 \text{ kg} \leq 3210300 \text{ kg (OK)}$$

➤ Kontrol terhadap geser



$$V_u = 26829,38 \text{ kg}$$

$$\text{(RSNI T-03-2005 ps.7.8)} : V_u \leq \phi \cdot V_n$$

Luas penampang badan

$$\frac{h}{tw} = \frac{540}{30} = 18$$

$$K_n = 5 + \frac{5}{(a/h)^2} = 10$$

$$K_n = 5 + \frac{5}{(1200/540)^2} = 6,01$$

$$1,10 \sqrt{\frac{K_n \times E}{f_y}} = 1,10 \sqrt{\frac{6,01 \times 2 \times 10^5}{410}} = 59,56$$

$$\frac{h}{tw} > 1,10 \sqrt{\frac{K_n \times E}{f_y}}, \text{ maka kuat geser :}$$

$$\begin{aligned} V_n &= 0,6 \times f_y \times A_w \rightarrow \text{(RSNI T-03-2005 ps.7.8.-3a)} \\ &= 0,6 \times 410 \times (600 \times 30) \\ &= 4428000 \text{ N} = 1180800 \text{ kg} \end{aligned}$$

(kuat geser terfaktor \rightarrow RSNI T-03-2005 pasal 7.8.1)

$$V_u \leq \phi \cdot V_n$$

$$26829,38 \text{ kg} \leq 0,75 \cdot 442800 \text{ kg}$$

$$26829,38 \text{ kg} \leq 332100 \text{ kg}$$

➤ Kontrol lendutan

$$(5L^2)[Ms-0,1(Ma+Mb)]/(48EI)$$

M_s = Momen di tengah lapangan

M_a = Momen tumpuan

M_b = Momen Tumpuan



$$M_a = 2514721190 \text{ Nmm}$$



$$M_s = 1887800152 \text{ Nmm}$$



$$M_b = 1322568704 \text{ Nmm}$$

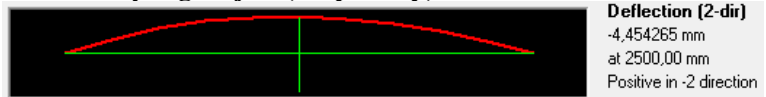
Lendutan yang terjadi

$$= (5L^2)[Ms-0,1(Ma+Mb)]/(48EI)$$

$$= (5 \cdot 5000^2)[1887800152 - 0,1(1322568704 + 1322568704)] / (48 \cdot 2 \times 10^5 \cdot 6640920000 \text{ cm}^4)$$

$$= 2,9 \text{ mm}$$

Lendutan yang terjadi(output sap)



$$= 4,4 \text{ mm}$$

Batas lendutan Maksimal (SNI 03-1729-2002 Tabel 6.4-1)

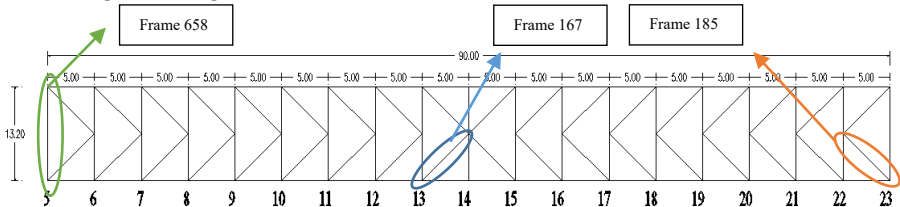
$$L/240 = 5000 / 240 = 20 \text{ mm} > 4,4 \text{ mm (OK)}$$

“Halaman ini sengaja dikosongkan”

BAB V PERENCANAAN STRUKTUR SEKUNDER

5.1 Ikatan Angin Atas

Bentuk konstruksi ikatan angin atas diasumsikan sebagai konstruksi rangka batang bidang. Dan yang berfungsi sebagai batang horizontal adalah konstruksi busur.



Gambar 5.1 Ikatan angin atas

Ikatan angin atas dipasang mulai dari AS 5 sampai AS 23. Untuk satu titik simpul pada sisi yang terkena beban, menerima beban P yang besarnya diambil rata – rata dari jumlah beban W (beban angin).

Dari Output SAP 2000, didapatkan :

- Profil WF 250 x 250 x 14 x 14 (Frame 658)

Batang melintang merupakan profil yang menghubungkan dua sisi jembatan arah melintang. Sehingga dalam kontrol kekuatan diasumsikan sebagai batang lentur.

Digunakan mutu baja BJ-55,

A	= 104,7	cm^2 ;	g	= 82,2	kg/m
d	= 250	mm ;	i_x	= 10,5	cm
b	= 250	mm ;	i_y	= 6,09	cm
tw	= 14	mm ;	I_x	= 11500	cm^4
tf	= 14	mm ;	I_y	= 3880	cm^4
Z_x	= 919	cm^3 ;	Z_y	= 304	cm^3
f_y	= 410	Mpa ;	x_1	= 25899,68779	cm^4
f_u	= 500	Mpa ;	x_2	= 0,000018	cm^4
E	= 200.000	Mpa ;	C_w	= 63525 x 10 ⁷	cm^3
J	= 686000	cm^3 ;	F_R	= 70	Mpa

Kontrol Kekuatan Lentur
Kontrol Penampang

a. Badan :

$$h = d - 2(t_f + r) \\ = 250 - 2(14 + 16) = 208 \text{ mm}$$

$$\frac{h}{t_w} \leq \frac{1680}{\sqrt{f_y}}$$

$$\frac{190}{14} \leq \frac{1680}{\sqrt{410}} = 13.57 \leq 82.97 \rightarrow \text{Ok}$$

b. Sayap :

$$\frac{b}{2t_f} \leq \frac{170}{\sqrt{f_y}}$$

$$\frac{250}{28} \leq \frac{170}{\sqrt{410}} = 8 \leq 8.3 \rightarrow \text{OK}$$

Karena penampang kompak, maka

$$M_p = Z_x \cdot f_y$$

$$Z_x = b \cdot t_f \cdot (d - t_f) + 1/4 \cdot t_w \cdot (d - 2t_f)^2 \\ = 250 \cdot 14 \cdot (250 - 14) + 1/4 \cdot 14 \cdot (250 - 2 \cdot 14)^2 = 998494 \text{ mm}^3$$

$$M_p = Z_x \cdot f_y = 998494 \text{ mm}^3 \cdot 410 \text{ N/mm}^2 \\ = 409382540 \text{ Nmm} = 409,383 \text{ kNm}$$

Kontrol Tekuk Lateral

$$L_p = 1,76 \times i_y \sqrt{\frac{E}{f_y}}$$

$$= 1,76 \times 6,09 \times \sqrt{\frac{200000}{410}}$$

$$= 236,73 \text{ cm}$$

$$L_b = 13,2 \text{ m} = 1320 \text{ cm}$$

$$L_r = i_y \left(\frac{X_1}{fL} \right) \sqrt{1 + \sqrt{1 + X_2 \cdot fL^2}}$$

$$L_r = 60,9 \left(\frac{25899,68779}{410 - 70} \right)$$

$$\sqrt{1 + \sqrt{1 + 0,000018 \cdot (410 - 70)^2}}$$

$$= 45135,693 \text{ mm}$$

$$= 4513,57 \text{ cm}$$

$L_p \leq L \leq L_r \rightarrow$ Bentang Menengah

$$236,73 \text{ cm} \leq 1320 \text{ cm} \leq 4513,57 \text{ cm}$$

Maka :

$$M_n = C_b \left[M_r + (M_p - M_r) \frac{L_r - L}{L_r - L_p} \right] \leq M_p$$

$$C_b = \frac{12,5 M_{max}}{2,5 M_{max} + 3 M_a + 4 M_b + 3 M_c}$$

Dari output sap didapatkan:

$$M_{max} = 32,08 \text{ kN.m}$$

$$M_a = \text{Momen } \frac{1}{4} \text{ bentang} = 3,4 \text{ kN.m}$$

$$M_b = \text{Momen } \frac{1}{2} \text{ bentang} = 15 \text{ kN.m}$$

$$M_c = \text{Momen } \frac{3}{4} \text{ bentang} = 25,78 \text{ kN.m}$$

$$C_b =$$

$$\frac{12,5 \cdot 32,08 \text{ kN.m}}{2,5 (32,08 \text{ kN.m}) + 3 (3,4 \text{ kN.m}) + 4 (15 \text{ kN.m}) + 3 (25,78 \text{ kN.m})} = 1,76$$

$$M_r = (f_y - f_R) \cdot S_x$$

$$= (410 \text{ Mpa} - 70 \text{ Mpa}) \cdot 919000 \text{ mm}^3 = 312460000$$

Nmm

$$= 312,46 \text{ kNm}$$

$$M_n = 1,76 \left[312,46 + (409,383 - 312,46) \frac{45,13 - 13,2}{45,13 - 2,36} \right]$$

$$= 538,26 \text{ kN.m}$$

$$\text{Kapasitas momen } \phi M_n = 0,9 \times M_n$$

$$= 0,9 \times 409,38 \text{ kN.m}$$

$$= 368,44 \text{ kN.m}$$

Syarat : $\phi M_n > M_u$

$$368,44 \text{ kN.m} > 32,08 \text{ kN.m} \rightarrow \text{Ok}$$

Maka penampang telah memenuhi kekuatan lentur yang terjadi

Kontrol sambungan :

Dari output Sap gaya batang maksimum yang bekerja

Kombinasi ul.1 kel 27

Sh = 20642,49 kg

**Sambungan Batang Horizontal ke Pelat Simpul**

- Pakai Baut

$$d = 12,7 \text{ mm}$$

$$f_u^b = 8250 \text{ kg/cm}^2 \rightarrow \text{A 325}$$

- Pakai Plat Simpul dengan tebal

$$t = 15 \text{ mm}$$

$$f_u^p = 3700 \text{ kg/cm}^2 \rightarrow \text{BJ 37}$$

Kekuatan Ijin 1 Baut :

- Kekuatan Geser (ϕR_n)

$$\begin{aligned} \phi R_n &= 0,75 \times r_1 \times f_u \times A_{\text{baut}} \times m \\ &= 0,75 \times 0,4 \times 8250 \times (1/4 \cdot \pi (1,27)^2) \times 2 \\ &= 6273 \text{ kg} \end{aligned}$$

- Kuat Tumpu (ϕR_n)

$$\begin{aligned} \phi R_n &= 0,75 \times n \times d_b \times t_p \times f_u \\ &= 0,75 \times 2,4 \times (1/4 \cdot \pi (1,27)^2) \times 1,5 \times 3700 \\ &= 12687 \text{ kg} \end{aligned}$$

Jumlah Baut yang dibutuhkan :

$$n = \frac{V_u}{\phi R_n} = \frac{20642,49 \text{ kg}}{6273 \text{ kg}} = 3,3 \text{ baut} \rightarrow 4 \text{ baut}$$

Kontrol jarak baut:

RSNI T-03-2005 Pasal 11.5.3

Jarak ke tepi = 1,5db s/d (4tp+100) atau 200mm

$$1,5 \text{ db} = 1,5 \cdot 12,7 \text{ mm} = 19 \text{ mm}$$

$$4tp+100 = 4 \cdot 15\text{mm} + 100 = 160 \text{ mm}$$

→Pakai 10 cm

Jarak antar baut = 2,5 db s/d 15tp atau 200mm

$$2,5 \text{ db} = 2,5 \cdot 12,7\text{mm} = 31,75 \text{ mm}$$

$$15 \text{ tp} = 1,5 \cdot 15 \text{ mm} = 22,4$$

mm → Pakai 10 cm

Kontrol kekuatan pelat:

$$\text{Pelat yang digunakan} = L \ 150 \ 15$$

$$\text{Diameter baut} = 12,7 \text{ mm}$$

$$\text{Banyaknya baut} = 3 \text{ baut}$$

Luas penampang bruto (Ag)

$$A_g = L \times t_b$$

$$= 15 \times 1,5 = 22,5 \text{ cm}^2$$

Kuat Leleh (ΦP_u)

$$\Phi p_u = 0,9 \times A_g \times f_y$$

$$= 0,9 \times 22,5 \times 2400 = 48600 \text{ kg}$$

$$\text{Ø perlemahan} = 12,7 + 2 = 14,7 \text{ mm}$$

Luas penampang netto (Anet)

$$A_{net} = A_g - (\text{jumlah baut} \times d_l \times t_p)$$

$$= 22,5 - (3 \times 1,27 \times 1,5) = 14,88 \text{ cm}^2$$

Ru baut = n . ØRn

$$= 4 \cdot 6273 \text{ kg} = 25092,12 \text{ kg}$$

Ru plat = Φ . Anet . Fu

$$= 0,75 \cdot 14,88 \cdot 3700 = 41292 \text{ kg}$$

Ru plat > Ru baut

$$41292 \text{ kg} > 25092,12 \text{ kg}$$

Sambungan pelat dengan batang atas (las)

Sambungan las sudut :

Persyaratan ukuran las :

$$\text{Maksimum} = \text{tebal pelat} - 1,6 = 15 - 1,6 = 13,4 \text{ mm}$$

$$\text{Minimum} = 5 \text{ mm (Buku LRFD, Tabel 7.1)}$$

$$\text{Mutu las} = 490 \text{ Mpa}$$

Maka digunakan ukuran las = 10 mm

$$t_e = 0,707 \cdot a = 0,707 \times 10 = 7,07 \text{ mm}$$

Kuat rencana las sudut ukuran 10 mm per mm panjang

$$\text{Las } \phi R_{nw} = 0,75 \cdot t_e \cdot (0,60 \cdot f_{uw}) \rightarrow \text{Mutu las } f_{uw} =$$

490 Mpa

$$= 0,75 \cdot 7,07 \cdot 0,60 \cdot 490 = 1.559,00 \text{ N/mm}$$

Tidak boleh melebihi kuat runtuh geser pelat

$$\text{Bahan dasar } \phi R_n = 0,75 \cdot t_e \cdot (0,60 \cdot f_u)$$

$$= 0,75 \cdot 7,07 \cdot (0,6 \times 370) = 1177,2$$

N/mm

Beban tarik terfaktor, T_u

$$T_u = 20642,49 \text{ kg}$$

$$f_u \text{ las} = 490 \text{ Mpa}$$

$$f_u \text{ plat} = 370 \text{ Mpa}$$

Panjang total las yang dibutuhkan, L_w

$$L_w = \frac{T_u}{\phi R_{nw}} = \frac{206424,9 \text{ N}}{1559 \text{ N/mm}} = 132,42 \text{ mm}$$

- Untuk profil ikatan angin atas diagonal digunakan profil:
Batang Tekan Komb. Ul 4(Ey 100%)



$$P = 50,13 \text{ ton (tekan) frame 167}$$

Profil yang dipakai : 2L 200 200 15

$$A = 115,5 \text{ cm}^2 \quad w = 90,67 \text{ kg/m}$$

$$d = 200 \text{ mm} \quad i_x = 6,14 \text{ cm}$$

$$b = 200 \text{ mm} \quad i_y = 8,63 \text{ cm}$$

$$t_b = 15 \text{ mm} \quad f_y = 410 \text{ MPa}$$

$$t_f = 15 \text{ mm} \quad I_y = 8601,58 \text{ cm}^4$$

$$e = 5,47 \text{ cm} \quad I_x = 4360 \text{ cm}^4$$

$$S_x = 299,86 \text{ cm}^3 \quad S_y = 417,55 \text{ cm}^3$$

➤ Kontrol Penampang :

- Pelat sayap :

$$\frac{B}{2 t_f} = \frac{200}{2 \times 15} = 6,7$$

$$\lambda_R = \frac{250}{\sqrt{f_y}} = \frac{250}{\sqrt{410}} = 12,35$$

$$\left. \begin{array}{l} \frac{B}{2 t_f} < \lambda_R \rightarrow \text{OK} \end{array} \right\}$$

Panjang tekuk :

$$L = 8,28146 \text{ m} = 828,146 \text{ cm}$$

$$L_k = k_c \times L = 1 \times 8,28 = 8,28 \text{ m}$$

Di mana, k_c = faktor tekuk, untuk sendi-sendi = 1

➤ Kontrol kelangsingan sebagai batang tekan :

$$\lambda_x = \frac{L_{kx}}{i_x} = \frac{828}{6,14} = 134,88 \quad \rightarrow \text{menentukan}$$

$$\lambda_y = \frac{L_{ky}}{i_y} = \frac{828}{8,63} = 95,96$$

$$\lambda = \lambda_x = 134,88$$

$$\lambda_c = \frac{\lambda}{\pi} \sqrt{\frac{f_y}{E}} = \frac{134,88}{\pi} \times \sqrt{\frac{410}{2 \times 10^5}} = 1,9$$

Untuk nilai : $\lambda_c \geq 1,5 \quad \rightarrow N_n = \frac{(0,88)}{\lambda_c^2} \cdot A_g \cdot f_y$

(RSNI T-03-2005 pasal 6.2-2)

- Kuat Nominal

$$\begin{aligned} N_n &= \frac{(0,88)}{\lambda_c^2} \cdot A_g \cdot f_y \\ &= \frac{(0,88)}{1,9^2} \cdot 115,5 \text{ cm}^2 \cdot 4100 \text{ kg/cm}^2 \\ &= 110374 \text{ kg} \end{aligned}$$

- Kontrol

$$N_u \leq \phi n \cdot N_n \quad (\text{RSNI T-03-2005 pasal 6.1-1})$$

Dengan pengertian:

$\phi n = 0,85$ (faktor reduksi \rightarrow RSNI T-03-2005 pasal 4.5.2)

$$N_n = (0,66 \lambda_c^2) \cdot A_g \cdot f_y$$

(kuat tekan terfaktor \rightarrow RSNI T-03-2005 pasal 6.2-1)

$$N_u \leq \phi n \cdot N_n$$

$$50137 \text{ kg} \leq 0,85 \cdot 110374 \text{ kg}$$

$$50137 \text{ kg} \leq 93817,92 \text{ kg} \rightarrow \text{OK}$$

Batang Tarik Komb. UI 1 kel127

$$P = 40,2975 \text{ ton (tarik) frame 185}$$

Panjang tekuk :

$$L = 8,65217 \text{ m} = 865,217 \text{ cm}$$

$$L_k = k_c \times L = 1 \times 8,65 = 8,65 \text{ m}$$

Di mana, k_c = faktor tekuk, untuk sendi-sendi = 1

➤ Kontrol kelangsingan sebagai batang tarik :

$$\begin{aligned} \lambda &= \frac{L_k}{r} \\ &= \frac{865}{6,14} = 140,13 \leq 300 \text{ OK (RSNI-T-03-2005)} \end{aligned}$$

Psl 5.3.3)

➤ Perencanaan:

a. Kekuatan Baja

$$\text{- Pelat BJ 37 } F_y = 240 \text{ Mpa}$$

$$F_u = 370 \text{ Mpa}$$

$$\text{- Baut A325 } F_u^b = 825 \text{ Mpa}$$

b. Beban Tarik terfaktor = 40297,5 kg

c. Sambungan tipe tumpu

$$\text{Rencana baut } d = 7/8'' = 7/8 \cdot 25,4 \text{ mm} = 22,23 \text{ mm}$$

$$d_1 = 22,23 \text{ mm} + 2 =$$

$$24,23 \text{ mm}$$

c1. Tinjau terhadap kekuatan geser (ϕR_n)

$$\phi R_n = 0,75 \cdot m \cdot r_1 \cdot f_{ub} \cdot A_b$$

$$= 0,75 \cdot 2 \cdot 0,4 \cdot 825 \cdot 388,1$$

$$= 192112 \text{ N} = 19,21 \text{ ton}$$

c2. Tinjau terhadap kekuatan tumpu (ϕR_n)

$$\phi R_n = 0,75 \times n \times d_b \times t_p \times f_u$$

$$(t_p) = 15 \text{ mm (Tebal pelat terkecil)}$$

$$\begin{aligned}
 n &= 2,4 \text{ (berlaku untuk semua jenis lobang baut)} \\
 \varnothing R_n &= 0,75 \times n \times d_b \times t_p \times f_u \\
 &= 0,75 \times 2,4 \times 22,23 \times 15 \times 370 \\
 &= 222028 \text{ N} = 22,2 \text{ Ton}
 \end{aligned}$$

c3. Jumlah baut

yang menentukan akibat geser

$$n = \frac{R_u}{\varnothing R_n} = \frac{40,3 \text{ ton}}{19,21 \text{ ton}} = 2,1 \rightarrow 3 \text{ baut}$$

c4. Sambungan tipe friksi

$$\varnothing R_n = 1,13 \cdot \mu \cdot m \cdot T_b$$

Dimana:

$$\mu = 0,35$$

(koefisien gesek untuk bidang kontak dalam keadaan bersih)

$$m = 2 \text{ (jumlah bidang geser)}$$

$$t_b = 39 \text{ kips} = 173,55 \text{ kN}$$

(gaya tarik baut min. 7/8", tabel 6 Tamrin Modul 6 sesi 1)

$$\varphi = 1 \text{ (faktor reduksi kekuatan untuk lobang standart)}$$

$$\begin{aligned}
 R_n &= 1,13 \cdot \mu \cdot m \cdot T_b \\
 &= 1,13 \cdot 0,35 \cdot 2 \cdot 173,55 = 137,278
 \end{aligned}$$

kN

$$\varphi R_n = 1,0 \cdot R_n = 1,0 \cdot 137,278 \text{ kN} = 13,728$$

ton

jumlah baut yang diperlukan pada sambungan tipe friksi,

$$n_b = \frac{R_u}{\varnothing R_n} = \frac{40,3 \text{ ton}}{13,728 \text{ ton}} = 2,9 \rightarrow 4 \text{ baut}$$

➤ Kontrol jarak baut

RSNI T-03-2005 Pasal 11.5.3

$$\text{Jarak ke tepi (S1)} = 1,5 d_b \text{ s/d } (4 t_p + 100) \text{ atau } 200 \text{ mm}$$

(RSNI T-03-2005 tabel 13)

$$1,5 d_b = 1,5 \cdot 22,23 \text{ mm} = 33 \text{ mm}$$

$$4tp+100 = (4 \cdot 15 \text{ mm} + 100) = 160 \text{ mm} \\ \rightarrow 8 \text{ cm}$$

$$\text{Jarak antar baut(S)} = 2,5 \text{ db s/d } 15tp \text{ atau } 200 \text{ mm} \\ 2,5 \text{ db} = 2,5 \cdot 22,23 \text{ mm} = 67 \text{ mm} \\ (\text{RSNI T-03-2005 pasal 11.5.1})$$

$$15 \text{ tp} = 15 \cdot 15 \text{ mm} = 225 \text{ mm} \\ \rightarrow 10 \text{ cm}$$

- Kontrol tahanan nominal batang tarik
Menurut RSNI T-03-2005 pasal 5.1 kuat tarik nominal yang besarnya diambil sebagai nilai terendah di beberapa kondisi berikut ini:

- Kuat tarik nominal berdasarkan kelelahan penampang bruto

$$N_n = A_g \cdot f_y \\ = 115,5 \text{ cm}^2 \cdot 4100 \text{ kg/cm}^2 = 473550 \text{ kg} \\ \phi N_n = 0,9 \cdot 473550 \text{ kg} = 426195 \text{ kg} > 40297,5$$

kg

- Kuat tarik nominal berdasarkan fraktur penampang efektif

$$N_n = A_e \cdot f_u \\ A_{nt} = A_g - (n \cdot d_{\text{baut}} \cdot t) \\ = 115,5 \text{ cm}^2 - 1 \cdot 1,5 \cdot 1,5 = 113 \text{ cm}^2$$

$$U = 1 - \frac{e}{L} = 1 - \frac{5,47}{865} = 0,99$$

$$A_e = A_{nt} \cdot U \\ = 113 \text{ cm}^2 \cdot 1 = 113 \text{ cm}^2$$

$$N_n = A_e \cdot f_u \\ = 113 \text{ cm}^2 \cdot 5500 \text{ kg/cm}^2 \\ = 623122,5 \text{ kg}$$

$$\phi N_n = 0,75 \cdot 623122,5 \text{ kg} = 467341,5 \text{ kg} >$$

40297,5 kg

- Kuat tarik nominal berdasarkan perencanaan repture penampang

$$A_{gv} = m \cdot (s_1 + s_2) \cdot t_p \\ = 2 \cdot 210 \cdot 15 = 6300 \text{ mm}^2$$

$$\begin{aligned} \text{Anv} &= \text{Agv} - m \cdot 2 \frac{1}{2} \cdot d1 \cdot tp \\ &= 6300 - 2 \cdot 2,5 \cdot 24,23 \cdot 15 = 4483,125 \end{aligned}$$

 mm^2

$$\begin{aligned} \text{Agt} &= s1 \cdot tf \cdot \text{jumlah bidang} \\ &= 5 \cdot 1,5 \cdot 2 = 15 \text{ cm}^2 = 1500 \text{ mm}^2 \end{aligned}$$

$$\begin{aligned} \text{Ant} &= \text{Agt} - m \cdot \frac{1}{2} \cdot d1 \cdot tp \\ &= 1500 - 2 \cdot \frac{1}{2} \cdot 24,2 \cdot 15 \\ &= 1136,625 \text{ mm}^2 \end{aligned}$$

$$\begin{aligned} \text{Fu} \cdot \text{Ant} &= 370 \text{ Mpa} \cdot 1136,625 \text{ mm}^2 = \\ &420551,3 \text{ N} \end{aligned}$$

$$\begin{aligned} 0,6 \cdot \text{fu} \cdot \text{Anv} &= 0,6 \cdot 370 \text{ Mpa} \cdot 4483,12 \text{ mm}^2 = \\ &995253,8 \text{ N} \end{aligned}$$

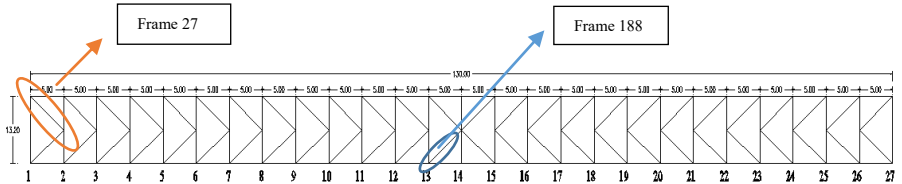
Untuk $0,6 \cdot \text{fu} \cdot \text{Anv} > \text{Fu} \cdot \text{Ant}$ (RSNI T-03-2005 5.1-7)

$$\begin{aligned} \text{Nn} &= 0,6 \cdot \text{fu} \cdot \text{Anv} + \text{Agt} \cdot \text{fy} \\ &= 995253,8 \text{ N} + 1500 \text{ mm}^2 \cdot 240 \text{ Mpa} \\ &= 1355253,8 \text{ N} = 135,5 \text{ ton} \end{aligned}$$

$$\begin{aligned} \phi \text{Nn} &= 0,75 \cdot 135,5 \text{ ton} = 101,644 \text{ ton} > \\ &40,297 \text{ ton} \end{aligned}$$

5.2 Ikatan Angin Bawah

Ikatan angin bawah terdiri dari batang Tarik dan tekan, berikut penjabarannya



Gambar 5.2 Ikatan angin bawah



$P = 48,6085 \text{ ton (tekan) frame 27}$

Profil yang dipakai : 2L 200 200 15

$A = 115,5 \text{ cm}^2$	$w = 90,67$	kg/m
$d = 200 \text{ mm}$	$i_x = 6,14$	cm
$b = 200 \text{ mm}$	$i_y = 8,63$	cm
$t_b = 15 \text{ mm}$	$f_y = 410$	MPa
$t_f = 15 \text{ mm}$	$I_y = 8601,58$	cm^4
$e = 5,47 \text{ cm}$	$I_x = 4360$	cm^4
$S_x = 299,86 \text{ cm}^3$	$S_y = 417,55$	cm^3

➤ Kontrol Penampang :

- Pelat sayap :

$$\left. \begin{aligned} \frac{B}{2 t_f} &= \frac{200}{2 \times 15} = 6,7 \\ \lambda_R &= \frac{250}{\sqrt{f_y}} = \frac{250}{\sqrt{410}} = 12,35 \end{aligned} \right\} \frac{b_f}{2 t_f} < \lambda_R \rightarrow \text{OK}$$

Panjang tekuk :

$L = 8,2801 \text{ m} = 828,01 \text{ cm}$

$L_k = k_c \times L = 1 \times 8,28 = 8,28 \text{ m}$

Di mana, k_c = faktor tekuk, untuk sendi-sendi = 1

➤ Kontrol kelangsingan sebagai batang tekan :

$$\lambda_x = \frac{L_{kx}}{i_x} = \frac{828}{6,14} = 134,85 \quad \rightarrow \text{menentukan}$$

$$\lambda_y = \frac{L_{ky}}{i_y} = \frac{828}{8,63} = 95,96$$

$$\lambda = \lambda_x = 134,88$$

$$\begin{aligned} \lambda_c &= \frac{\lambda}{\pi} \sqrt{\frac{f_y}{E}} = \frac{134,88}{\pi} \times \sqrt{\frac{410}{2 \times 10^5}} \\ &= 1,94 \end{aligned}$$

Untuk nilai : $\lambda_c \geq 1,5 \quad \rightarrow N_n = \frac{(0,88)}{\lambda_c^2} \cdot A_g \cdot f_y$

(RSNI T-03-2005 pasal 6.2-2)

- Kuat Nominal

$$\begin{aligned} N_n &= \frac{(0,88)}{\lambda_c^2} \cdot A_g \cdot f_y \\ &= \frac{(0,88)}{1,94^2} \cdot 115,5 \text{ cm}^2 \cdot 4100 \text{ kg/cm}^2 \\ &= 110410,28 \text{ kg} \end{aligned}$$

- Kontrol

$$N_u \leq \phi n \cdot N_n \quad (\text{RSNI T-03-2005 pasal 6.1-1})$$

Dengan pengertian:

$\phi n = 0,85$ (faktor reduksi \rightarrow RSNI T-03-2005 pasal 4.5.2)

$$N_n = (0,66 \lambda_c^2) \cdot A_g \cdot f_y$$

(kuat tekan terfaktor \rightarrow RSNI T-03-2005 pasal 6.2-1)

$$N_u \leq \phi n \cdot N_n$$

$$48609 \text{ kg} \leq 0,85 \cdot 110410,28 \text{ kg}$$

$$48609 \text{ kg} \leq 93848,73 \text{ kg} \rightarrow \text{OK}$$

Batang Tarik Komb. Ul 1 kel 1



Axial
95.2295 T onf
at 8.28010 m

$P = 95,2295 \text{ ton (tarik) frame 188}$

Panjang tekuk :

$L = 8,2801 \text{ m} = 828,01 \text{ cm}$

$L_k = k_c \times L = 1 \times 8,28 = 8,28 \text{ m}$

Di mana, k_c = faktor tekuk, untuk sendi-sendi = 1

➤ Kontrol kelangsingan sebagai batang tarik :

$$\lambda = \frac{L_k}{r}$$

$$= \frac{828}{6,14} = 134,85 \leq 300 \text{ OK (RSNI-T-03-2005)}$$

PsI 5.3.3)

➤ Perencanaan:

a. Kekuatan Baja

- Pelat BJ 37 $F_y = 240 \text{ Mpa}$

$F_u = 370 \text{ Mpa}$

- Baut A325 $F_u^b = 825 \text{ Mpa}$

b. Beban Tarik terfaktor = 95229,5 kg

c. Sambungan tipe tumpu

Rencana baut $d = 1'' = 1 \cdot 25,4 \text{ mm} = 25,4 \text{ mm}$

$d_1 = 25,4 \text{ mm} + 3 = 28,4$

mm

c1. Tinjau terhadap kekuatan geser (ϕR_n)

$\phi R_n = 0,75 \cdot m \cdot r_l \cdot f_{ub} \cdot A_b$

$= 0,75 \cdot 2 \cdot 0,4 \cdot 825 \cdot 506,9$

$= 250921 \text{ N} = 25,09 \text{ ton}$

c2. Tinjau terhadap kekuatan tumpu (ϕR_n)

$\phi R_n = 0,75 \times n \times d_b \times t_p \times f_u$

$$\begin{aligned}
 (tp) &= 15 \text{ mm (Tebal pelat terkecil)} \\
 n &= 2,4 \text{ (berlaku untuk semua jenis lobang baut)} \\
 \varnothing R_n &= 0,75 \times n \times db \times tp \times f_u \\
 &= 0,75 \times 2,4 \times 25,4 \times 15 \times 370 \\
 &= 253746 \text{ N} = 25,37 \text{ Ton}
 \end{aligned}$$

c3. Jumlah baut

yang menentukan akibat geser

$$n = \frac{R_u}{\varnothing R_n} = \frac{95,2 \text{ ton}}{25,09 \text{ ton}} = 3,8 \rightarrow 4 \text{ baut}$$

c4. Sambungan tipe friksi

$$\varnothing R_n = 1,13 \cdot \mu \cdot m \cdot T_b$$

Dimana:

$$\mu = 0,35$$

(koefisien gesek untuk bidang kontak dalam keadaan bersih)

$$m = 2 \text{ (jumlah bidang geser)}$$

$$t_b = 51 \text{ kips} = 226,95 \text{ kN}$$

(gaya tarik baut min. 1", tabel 6 Tamrin Modul 6 sesi 1)

$$\varphi = 1 \text{ (faktor reduksi kekuatan untuk lobang standart)}$$

$$\begin{aligned}
 R_n &= 1,13 \cdot \mu \cdot m \cdot T_b \\
 &= 1,13 \cdot 0,35 \cdot 2 \cdot 226,95 = 179,517
 \end{aligned}$$

kN

$$\varphi R_n = 1,0 \cdot R_n = 1,0 \cdot 179,517 \text{ kN} = 17,952 \text{ ton}$$

jumlah baut yang diperlukan pada sambungan tipe friksi,

$$n_b = \frac{R_u}{\varphi R_n} = \frac{95,2 \text{ ton}}{17,92 \text{ ton}} = 5,3 \rightarrow 6 \text{ baut}$$

➤ Kontrol jarak baut

RSNI T-03-2005 Pasal 11.5.3

$$\text{Jarak ke tepi (S1)} = 1,5db \text{ s/d } (4tp+100) \text{ atau } 200\text{mm}$$

(RSNI T-03-2005 tabel 13)

$$1,5 \text{ db} = 1,5 \cdot 25,4 \text{ mm} = 33 \text{ mm}$$

$$4t_p + 100 = (4 \cdot 15 \text{ mm} + 100) = 160 \text{ mm} \\ \rightarrow 8 \text{ cm}$$

$$\text{Jarak antar baut (S)} = 2,5 \text{ db s/d } 15t_p \text{ atau } 200 \text{ mm} \\ 2,5 \text{ db} = 2,5 \cdot 25,4 \text{ mm} = 76 \text{ mm} \\ (\text{RSNI T-03-2005 pasal 11.5.1})$$

$$d. \ t_p = 15 \cdot 15 \text{ mm} = \\ 225 \text{ mm} \rightarrow 10 \text{ cm}$$

- Kontrol tahanan nominal batang tarik
Menurut RSNI T-03-2005 pasal 5.1 kuat tarik nominal yang besarnya diambil sebagai nilai terendah di beberapa kondisi berikut ini:

- Kuat tarik nominal berdasarkan kelelahan penampang bruto

$$N_n = A_g \cdot f_y \\ = 115,5 \text{ cm}^2 \cdot 4100 \text{ kg/cm}^2 = 473550 \text{ kg} \\ \phi N_n = 0,9 \cdot 473550 \text{ kg} = 426195 \text{ kg} > 95229,5 \text{ kg}$$

- Kuat tarik nominal berdasarkan fraktur penampang efektif

$$N_n = A_e \cdot f_u \\ A_{nt} = A_g - (n \cdot d_{\text{baut}} \cdot t) \\ = 115,5 \text{ cm}^2 - 2 \cdot 2,8 \cdot 1,5 = 106,98 \text{ cm}^2 \\ U = 1 - \frac{e}{L} = 1 - \frac{5,47}{828,01} = 0,99$$

$$A_e = A_{nt} \cdot U \\ = 106,98 \text{ cm}^2 \cdot 1 = 106,98 \text{ cm}^2$$

$$N_n = A_e \cdot f_u \\ = 106,98 \text{ cm}^2 \cdot 5500 \text{ kg/cm}^2 \\ = 588390 \text{ kg}$$

$$\phi N_n = 0,75 \cdot 588390 \text{ kg} = 441292,5 \text{ kg} > 95229,5 \text{ kg}$$

- Kuat tarik nominal berdasarkan perencanaan reapture penampang

$$A_{gv} = m \cdot (s1 + s) \cdot t_p \\ = 2 \cdot 180 \cdot 15 = 5400 \text{ mm}^2$$

$$\begin{aligned} \text{Anv} &= \text{Agv} - m \cdot 1 \frac{1}{2} \cdot d1 \cdot \text{tp} \\ &= 5400 - 2 \cdot 1,5 \cdot 28,4 \cdot 15 = 4122 \text{ mm}^2 \end{aligned}$$

$$\begin{aligned} \text{Agt} &= s1 \cdot \text{tf} \cdot \text{jumlah bidang} \\ &= 8 \cdot 1,5 \cdot 2 = 24 \text{ cm}^2 = 2400 \text{ mm}^2 \end{aligned}$$

$$\begin{aligned} \text{Ant} &= \text{Agt} - m \cdot \frac{1}{2} \cdot d1 \cdot \text{tp} \\ &= 2400 - 2 \cdot \frac{1}{2} \cdot 28,4 \cdot 15 \\ &= 1974 \text{ mm}^2 \end{aligned}$$

$$\text{Fu} \cdot \text{Ant} = 370 \text{ Mpa} \cdot 1974 \text{ mm}^2 = 730380 \text{ N}$$

$$0,6 \cdot \text{fu} \cdot \text{Anv} = 0,6 \cdot 370 \text{ Mpa} \cdot 4122 \text{ mm}^2 = 915084 \text{ N}$$

Untuk $0,6 \cdot \text{fu} \cdot \text{Anv} > \text{Fu} \cdot \text{Ant}$ (RSNI T-03-2005 5.1-7)

$$\begin{aligned} \text{Nn} &= 0,6 \cdot \text{fu} \cdot \text{Anv} + \text{Agt} \cdot \text{fy} \\ &= 915084 \text{ N} + 2400 \text{ mm}^2 \cdot 240 \text{ Mpa} \\ &= 1491084 \text{ N} = 135,5 \text{ ton} \end{aligned}$$

$$\phi \text{ Nn} = 0,75 \cdot 135,5 \text{ ton} = 111,83 \text{ ton} >$$

95,2295ton

5.3 Perencanaan Sambungan

5.3.1 Sambungan Gelagar Melintang – Gelagar Memanjang

Alat sambung yang digunakan adalah baut mutu tinggi

Kekuatan geser baut :

Sambungan tipe friksi

$$\varnothing R_n = 1,13 \cdot \mu \cdot m \cdot T_b$$

Dimana:

$$\mu = 0,35$$

(koefisien gesek untuk bidang kontak dalam keadaan bersih)

$$m = 2 \text{ (jumlah bidang geser)}$$

(gaya tarik baut min. 1", tabel 6 Tamrin Modul 6 sesi 1)

$$\varphi = 1 \text{ (faktor reduksi kekuatan untuk lobang standart)}$$

Data – data perencanaan :

- Profil gelagar melintang WF 900.300.18.34
- Profil gelagar memanjang WF 450.200.9.14
- Pelat penyambung $\rightarrow t_p = 10 \text{ mm}$; BJ 55
- Baut $\rightarrow d_b = \text{mm}$; A325
 $\Phi \text{ lubang} = 30 + 2 = 32 \text{ mm}$ (dibor)
- Sambungan pada gelagar memanjang (1 bidang geser)

Kekuatan ijin 1 baut :

$$\begin{aligned} \varphi R_n &= 1,13 \cdot \varphi \cdot \mu \cdot m \cdot T_b \\ &= 1,13 \cdot 1 \cdot 0,35 \cdot 2 \cdot 33500 \\ &= 26498,5 \text{ kg} \end{aligned}$$

Gaya yang bekerja adalah gaya geser maksimum antara gelagar memanjang dengan melintang.

$$P_u = 66406,1 \text{ kg} / 2 = 33203,05 \text{ kg}$$

Jumlah baut yang diperlukan adalah :

$$n = \frac{33203,05 \text{ kg}}{26498,5 \text{ kg}} = 1,25 \approx 2 \text{ baut}$$

Syarat jarak baut berdasarkan segi pelaksanaan :(d = 3,0 cm)

RSNI T-03-2005 Pasal 11.5.3

$$\begin{aligned} \text{Jarak ke tepi}(S_1) &= 1,5d_b \text{ s/d } (4t_p + 100) \text{ atau } 200\text{mm} \\ &\text{(RSNI T-03-2005 tabel 13)} \end{aligned}$$

$$\begin{aligned}
 1,5 \text{ db} &= 1,5 \cdot 30 \text{ mm} = 45 \text{ mm} \\
 4\text{tp}+100 &= (4 \cdot 10 \text{ mm} + 100) = 140 \text{ mm} \\
 &\rightarrow 8\text{cm}
 \end{aligned}$$

$$\begin{aligned}
 \text{Jarak antar baut(S)} &= 2,5 \text{ db s/d } 15\text{tp} \text{ atau } 200\text{mm} \\
 2,5 \text{ db} &= 2,5 \cdot 30 \text{ mm} = 75 \text{ mm} \\
 &\quad \text{(RSNI T-03-2005 pasal 11.5.1)} \\
 15\text{tp} &= 15 \cdot 10 \text{ mm} = 150 \text{ mm} \\
 &\rightarrow 10 \text{ cm}
 \end{aligned}$$

- Sambungan pada gelagar melintang

Kekuatan ijin 1 baut :

$$\begin{aligned}
 \varphi R_n &= 1,13 \cdot \varphi \cdot \mu \cdot m \cdot T_b \\
 &= 1,13 \cdot 1 \cdot 0,35 \cdot 2 \cdot 33500 \\
 &= 26498,5 \text{ kg}
 \end{aligned}$$

Gaya yang bekerja adalah gaya geser maksimum antara gelagar memanjang dengan melintang.

$$P_u = 79844,16 \text{ kg}$$

Jumlah baut yang diperlukan adalah :

$$n = \frac{79844,16 \text{ kg}}{26498,5 \text{ kg}} = 3,01 \approx 4 \text{ baut (2 sisi)}$$

masing-masing sisi 2 buah baut

- Kontrol Pelat siku

- Luas geser pelat siku L 100.100.10

$$\begin{aligned}
 A_{nv} &= L_{nv} \times t_L \\
 &= A - n \times d_1 \times t_L \\
 &= 36 \text{ cm}^2 - 2 \cdot 1 \frac{1}{2} \cdot 3,2 \cdot 1 \\
 &= 26,4 \text{ cm}^2
 \end{aligned}$$

- Kuat rencana

$$\begin{aligned}
 \varphi P_n &= \varphi \times 0,6 \times f_u \times A_{nv} \\
 &= 0,75 \times 0,6 \times 5500 \times 26,4 \\
 &= 65340 \text{ kg}
 \end{aligned}$$

Karena 2 siku maka:

$$2 \varphi R_n > P_u$$

$$2 \times 65340 > 79844,16 \text{ kg}$$

$$130680 \text{ kg} > 79844,16 \text{ kg} \rightarrow \mathbf{OK}$$

5.3.2 Sambungan Busur Batang Atas

Direncanakan busur box dimensi 1200 x 800 x 20 x 20



Desain sambungan berdasarkan gaya max yang diterima penampang busur dari out put Sap 2000 sebagai berikut :

$$N_{ux} = 1453223,7 \text{ kg}$$

$$M_{ux} = 48432,9 \text{ kg.m}$$

$$M_{uy} = 24111,08 \text{ kg.m}$$

Alat penyambung yang dipakai adalah :

- Baut $\rightarrow d_b = 30 \text{ mm}$; A 325
- Pelat $\rightarrow t_p = 20 \text{ mm}$; BJ 55

- Kekuatan ijin 1 baut :

$$\begin{aligned} V_n &= 1,13 \times \mu \times m \times T_b \\ &= 1,13 \times 0,35 \times 1 \times 33500 \\ &= 132493 \text{ kg} \end{aligned}$$

$$\begin{aligned} V_d &= \phi_r \times V_n \\ &= 1 \times 132493 \text{ kg} \\ &= 132493 \text{ kg} \end{aligned}$$

- Jumlah baut yang dibutuhkan web

$$n = \frac{N_u}{4 \cdot R_u} + \sqrt{\frac{6 \cdot M_{ux}}{\mu \cdot R_u}} = \frac{1453223,7}{4 \cdot 132493} + \sqrt{\frac{6 \cdot 48432,9}{0,35 \cdot 132493}} = 35,3$$

$$= 36 \text{ baut}$$

- Jumlah baut yang dibutuhkan flens

$$n = \frac{Nu}{4.Ru} + \sqrt{\frac{6 \cdot Mu_y}{\mu \cdot Ru}} = \frac{1453223,7}{4.132493} + \sqrt{\frac{6 \cdot 24111,08}{0,35 \cdot 132493}}$$

$$= 33,01 = 36 \text{ baut}$$

Maka jumlah baut yang dipakai = 70

- Kontrol jarak baut

RSNI T-03-2005 Pasal 11.5.3

Jarak ke tepi (S1) = 1,5 db s/d (4tp+100) atau 200mm
(RSNI T-03-2005 tabel 13)

$$1,5 \text{ db} = 1,5 \cdot 30 \text{ mm} = 45 \text{ mm}$$

$$4tp+100 = (4 \cdot 20 \text{ mm} + 100) = 180 \text{ mm}$$

→ 10cm

Jarak antar baut (S) = 2,5 db s/d 15tp atau 200mm

$$2,5 \text{ db} = 2,5 \cdot 30 \text{ mm} = 75 \text{ mm}$$

(RSNI T-03-2005 pasal 11.5.1)

$$15tp = 15 \cdot 20 \text{ mm} = 300 \text{ mm}$$

→ 12cm

5.3.3 Sambungan Busur Batang Bawah

Direncanakan busur box dimensi 1200 x 600 x 30 x 30



Desain sambungan berdasarkan gaya max yang diterima penampang busur dari out put Sap 2000 sebagai berikut :

$$Nux = 1344532,54 \text{ kg}$$

$$M_{ux} = 44435,64 \text{ kg.m}$$

$$M_{uy} = 17398,41 \text{ kg.m}$$

Alat penyambung yang dipakai adalah :

- Baut $\rightarrow d_b = 30 \text{ mm}$; A 325

- Pelat $\rightarrow t_p = 20 \text{ mm}$; BJ 55

- Kekuatan ijin 1 baut :

$$\begin{aligned} V_n &= 1,13 \times \mu \times m \times T_b \\ &= 1,13 \times 0,35 \times 1 \times 33500 \\ &= 132493 \text{ kg} \end{aligned}$$

$$\begin{aligned} V_d &= \phi_r \times V_n \\ &= 1 \times 132493 \text{ kg} \\ &= 132493 \text{ kg} \end{aligned}$$

- Jumlah baut yang dibutuhkan web

$$n = \frac{N_u}{4.R_u} + \sqrt{\frac{6.M_{ux}}{\mu.R_u}} = \frac{1453223,7}{4.132493} + \sqrt{\frac{6.44435,64}{0,35.132493}} = 32,9$$

$$= 35 \text{ baut}$$

- Jumlah baut yang dibutuhkan flens

$$n = \frac{N_u}{4.R_u} + \sqrt{\frac{6.M_{uy}}{\mu.R_u}} = \frac{1453223,7}{4.132493} + \sqrt{\frac{6.17398,41}{0,35.132493}}$$

$$= 30,11 = 30 \text{ baut}$$

Maka jumlah baut yang dipakai = 64

- Kontrol jarak baut

RSNI T-03-2005 Pasal 11.5.3

Jarak ke tepi (S_1) = 1,5 db s/d ($4t_p + 100$) atau 200 mm
(RSNI T-03-2005 tabel 13)

$$1,5 \text{ db} = 1,5 \cdot 30 \text{ mm} = 45 \text{ mm}$$

$$4t_p + 100 = (4 \cdot 20 \text{ mm} + 100) = 180 \text{ mm}$$

$\rightarrow 10 \text{ cm}$

Jarak antar baut (S) = 2,5 db s/d 15 t_p atau 200 mm

$$2,5 \text{ db} = 2,5 \cdot 30 \text{ mm} = 75 \text{ mm}$$

(RSNI T-03-2005 pasal 11.5.1)

$$15t_p = 15 \cdot 20 \text{ mm} = 300 \text{ mm}$$

$\rightarrow 12 \text{ cm}$

5.3.4 Sambungan Busur dan Gelagar Melintang

Data-data perencanaan:

Profil gelagar melintang WF 900.300.18.34

Profil box 600 x 1200 x 30

Pelat penyambung → tp = 20 mm ; BJ 55

Baut → db = 30 mm ; A325

Φ lubang = 30 + 2 = 32 mm (dibor)

Sambungan pada box (1 bidang geser)

Kekuatan ijin 1 baut :

$$\begin{aligned}\varphi R_n &= 1,13 \cdot \varphi \cdot \mu \cdot m \cdot T_b \\ &= 1,13 \cdot 1 \cdot 0,35 \cdot 1 \cdot 33500 \\ &= 13249,25 \text{ kg}\end{aligned}$$

Gaya yang bekerja adalah gaya geser maksimum antara gelagar melintang ke box

$$P_u = 126276,25 \text{ kg}$$

Jumlah baut yang diperlukan adalah :

$$n = \frac{126276,25 \text{ kg}}{13249,25 \text{ kg}} = 4,76 \approx 5 \text{ baut}$$

RSNI T-03-2005 Pasal 11.5.3

Jarak ke tepi(S1) = 1,5db s/d (4tp+100) atau 200mm
(RSNI T-03-2005 tabel 13)

$$1,5 \text{ db} = 1,5 \cdot 30 \text{ mm} = 45 \text{ mm}$$

$$4tp+100 = (4 \cdot 20 \text{ mm} + 100) = 180$$

mm → 50cm

Jarak antar baut(S) = 2,5 db s/d 15tp atau 200mm

$$2,5 \text{ db} = 2,5 \cdot 30 \text{ mm} = 75 \text{ mm}$$

(RSNI T-03-2005 pasal 11.5.1)

$$15tp = 15 \cdot 20 \text{ mm} = 300$$

mm → 100cm

Sambungan pada gelagar melintang (2 bidang geser)

Kekuatan ijin 1 baut :

$$\begin{aligned}\varphi R_n &= 1,13 \cdot \varphi \cdot \mu \cdot m \cdot T_b \\ &= 1,13 \cdot 1 \cdot 0,35 \cdot 2 \cdot 33500 \\ &= 26498,5 \text{ kg}\end{aligned}$$

Gaya yang bekerja adalah gaya geser maksimum antara gelagar melintang ke box

$$V_u = 24015,77 \text{ kg}$$

Jumlah baut yang diperlukan adalah :

$$n = \frac{24015,77 / 2 \text{ kg}}{26498,5 \text{ kg}} = 0,43 \approx \text{pasang 2 baut}$$

Syarat jarak baut berdasarkan segi pelaksanaan :(d = 3,0 cm)

RSNI T-03-2005 Pasal 11.5.3

Jarak ke tepi(S1) = 1,5db s/d (4tp+100) atau 200mm
(RSNI T-03-2005 tabel 13)

$$\begin{aligned} 1,5 \text{ db} &= 1,5 \cdot 30 \text{ mm} &&= 45 \text{ mm} \\ 4tp+100 &= (4 \cdot 20 \text{ mm} + 100) &&= 180 \\ &\text{mm} \rightarrow 150\text{cm} \end{aligned}$$

Jarak antar baut(S) = 2,5 db s/d 15tp atau 200mm
2,5 db = 2,5 · 30 mm = 75 mm
(RSNI T-03-2005 pasal 11.5.1)

$$\begin{aligned} 15tp &= 15 \cdot 20 \text{ mm} &&= 300 \\ &\text{mm} \rightarrow 200\text{cm} \end{aligned}$$

• Kontrol Pelat siku

- Luas geser pelat siku L 200 x 20

$$\begin{aligned} A_{nv} &= L_{nv} \times t_L \\ &= A - n \times d_1 \times t_L \\ &= 60 - 2 \cdot 1 \frac{1}{2} \cdot 3,2 \cdot 1 \\ &= 50,4 \text{ cm}^2 \end{aligned}$$

- Kuat rencana

$$\begin{aligned} \phi P_n &= \phi \times 0,6 \times f_u \times A_{nv} \\ &= 0,75 \times 0,6 \times 5500 \times 50,4 \\ &= 124740 \text{ kg} \end{aligned}$$

Karena 2 siku maka:

$$\begin{aligned} 2 \phi R_n &> P_u \\ 2 \times 124740 &> 79844,16 \text{ kg} \\ 249480 \text{ kg} &> 79844,16 \text{ kg} \rightarrow \mathbf{OK} \end{aligned}$$

5.4 Perencanaan Perletakan

5.4.1 Perencanaan Perletakan Sendi

Direncanakan perletakan baja

- Mutu baja = BJ 55 ($f_y = 410 \text{ MPa}$; $f_u = 550 \text{ MPa}$)
- Mutu beton = $f_c' = 35 \text{ Mpa}$

Pada konstruksi jembatan ini menggunakan perletakan sendi dan rol. Untuk jenis ukuran dari kursi penumpu engsel dan rol dapat ditentukan menurut cara yang di berikan oleh Muller – Breslau berdasarkan literatur Djembatan , Ir.H.J.Struyk hal 249.

Tabel 5.1 Muller – Breslau

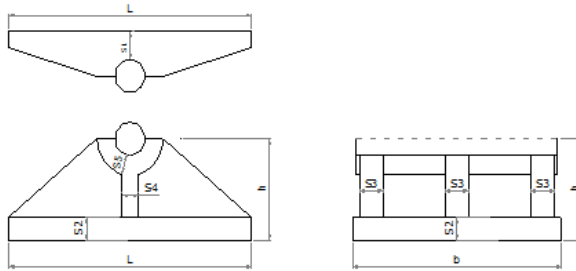
$\frac{h}{S_2}$	$\frac{b}{aS_3}$	W
3	4	$0,2222 ah^2S_3$
4	4,2	$0,2251 ah^2S_3$
5	4,6	$0,2236 ah^2S_3$
6	5	$0,2315 ah^2S_3$

Jika jumlah rusuk = a maka , S2 dan S3 dapat ditentukan dari daftar diatas. Perbandingan $\frac{h}{S_2}$ hendaknya diambil

antara 3 dan 5, sedangkan tebal $S_4 = \frac{h}{6}$ dan $S_5 = \frac{h}{4}$

dan untuk mencari nilai $S_1 = \frac{1}{2} \sqrt{\frac{3PI}{b\sigma_b}}$

adapun sketsa perletakan seperti gambar di bawah ini



Gambar 5.3 Detail perletakan sendi

Dari hasil analisa SAP 2000 didapatkan reaksi perletakan (pada pilar).

- H = 122383,7 kg
- V = 1186168,5 kg
- Luas alas kursi / bantalan

$$F = \frac{V}{fc'} = \frac{1186168,5}{350} = 3389,05 \text{ cm}^2$$

Direncanakan L = 100 cm, maka

$$b = \frac{F}{L} = \frac{3389,05}{100} = 33,89 \text{ cm}$$

Ambil b = 100 cm = L = 100 cm

Direncanakan dimensi bantalan dengan panjang (L) = 100 cm dan lebar (b) = 100 cm, serta bantalan landasan yang berbatasan langsung dengan beton. Maka ukuran – ukuran dari perletakan dapat ditentukan :

- Tebal kursi dan bantalan

$$S_1 = 0,5 \times \sqrt{\frac{3 \times V \times L}{b \times f_y}} = 0,5 \times \sqrt{\frac{3 \times 1186168,5 \times 100}{100 \times 4100}}$$

$$= 14,73 \text{ cm}$$

Ambil $S_1 = 20 \text{ cm}$

$$W_{\text{baja}} = M \text{ max}$$

$$M_{\text{max}} = \frac{V}{2} \times \frac{b}{4} = \frac{1186168,5}{2} \times \frac{100}{4}$$

$$= 14827106,25 \text{ kgcm}$$

$$W = \frac{M \text{ max}}{\sigma_{\text{baja}}} = \frac{14827106,25}{4100} = 3616,37 \text{ cm}^3$$

a direncanakan 2 buah

dari Tabel 10.1 diambil nilai $\frac{h}{s_2} = 4$, jadi $\frac{b}{a \cdot S_3} = 4,2$

dan $W = 0,2251 ah^2 S_3$, maka:

$$S_3 = \frac{b}{a \times 4,2} = \frac{100}{2 \times 4,2} = 11,9 = 12 \text{ cm}$$

$$h^2 = \frac{W}{0,2251 \times a \times S_3} = \frac{3616,37}{0,2251 \times 2 \times 12} = 669,4$$

$h = 25,8 \text{ cm}$ dipakai 30 cm

$$S_2 = \frac{h}{4} = \frac{30}{4} = 7,5 \text{ cm di pakai } 8 \text{ cm}$$

$$S_4 = \frac{h}{6} = \frac{30}{6} = 5 \text{ cm di pakai } 5 \text{ cm}$$

$$S_5 = \frac{h}{4} = \frac{30}{4} = 7,5 \text{ cm di pakai } 8 \text{ cm}$$

Dari hasil perhitungan didapatkan :

$$S_1 = \text{tinggi pelat penumpu atas sendi} = 20 \text{ cm}$$

$$S_2 = \text{tebal pelat pemumpu perletakan} = 8 \text{ cm}$$

$$S_3 = \text{tebal pelat penyokong Vertikal} = 12 \text{ cm}$$

$$S_4 = \text{tebal pelat vertikal penumpu} = 5 \text{ cm}$$

$$S_5 = \text{tebal pelat lengkung penumpu} = 8 \text{ cm}$$

- Perhitungan diameter engsel
Didapatkan $L = 100 \text{ cm}$

$$r = 0,8 \times \frac{V}{\sigma_{baja} \times L} = 0,8 \times \frac{1186168,5}{4100 \times 100} = 2,314 \text{ cm}$$

diambil, $r = 10 \text{ cm}$

$$d_1 = 2 \cdot r = 2 \times 10 = 20 \text{ cm}$$

$$d_2 = d_1 + (2 \times 2,5) = 20 + (2 \times 2,5) = 25 \text{ cm}$$

$$d_3 = \frac{d_2}{4} = 6,25 \approx 7 \text{ cm}$$

- Kontrol Kekuatan Engsel

Syarat : \rightarrow Engsel harus mampu menahan geser

$$(a.S_3) \cdot d_1 \cdot f_y > V$$

$$(2 \times 12) \times 20 \times 4100 > 1186168,5$$

$$1968000 \text{ kg} > 1186168,5 \text{ kg} \dots \text{OK}$$

- Perhitungan Pengangkuran Sendi

$$H = 122383,7 \text{ kg}$$

Mutu baut A490

$$f_y = 825 \text{ MPa}$$

$$f_u = 1035 \text{ MPa}$$

$$d_b = 22 \text{ mm} \rightarrow \text{M-22}$$

Mutu pelat BJ-55

$$f_y = 410 \text{ MPa}$$

$$f_u = 550 \text{ MPa}$$

$$t_p = 50 \text{ mm}$$

- Kekuatan geser baut

$$\begin{aligned} \phi V_d &= 0,75 \cdot m \cdot r_1 \cdot f_{ub} \cdot A_b \\ &= 0,75 \cdot 1 \cdot 0,4 \cdot 1035 \cdot \frac{1}{4} \cdot 3,14 \cdot 2,2^2 \\ &= 11803,12 \text{ kg} \quad (\text{menentukan}) \end{aligned}$$

- Kekuatan tumpu baut

$$\begin{aligned} \phi R_d &= 0,75 \times 2,4 \times d_b \times t_p \times f_{up} \\ &= 0,75 \times 2,4 \times 2,2 \times 5 \times 5500 \\ &= 108900 \text{ kg} \end{aligned}$$

$$V_d = 11803,12 \text{ kg} \text{ (diambil yang terkecil)}$$

Jumlah baut yang diperlukan

$$- n = \frac{Vu}{Vd} = \frac{122383,7}{11803,12} = 11 \text{ baut}$$

Syarat jarak baut berdasarkan segi pelaksanaan :

$$3d_b \leq S \leq 15t_p$$

$$1,5d_b \leq S_1 \leq (4t_p + 100) \text{ atau } 200 \text{ mm}$$

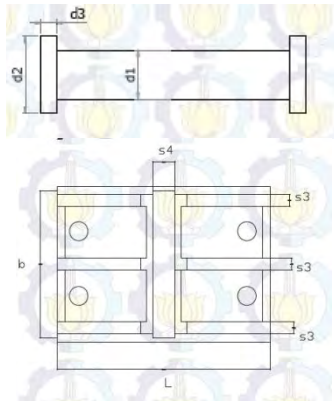
$$1,25d_b \leq S_2 \leq 12t_p \text{ atau } 150 \text{ mm}$$

Jadi :

$$66 \text{ mm} \leq 80 \leq 750 \text{ mm}$$

$$33 \text{ mm} \leq 50 \leq 300 \text{ mm atau } 200 \text{ mm}$$

$$27.5 \text{ mm} \leq 50 \leq 600 \text{ mm atau } 150 \text{ mm}$$



Gambar 5.4 Detail perletakan pen sendi dan letak baut angker

Perencanaan Perletakan Rol

Direncanakan perletakan baja

- Mutu baja = BJ 55 ($f_y = 410 \text{ MPa}$; $f_u = 550 \text{ MPa}$)
- Mutu beton = $f_c' = 35 \text{ Mpa}$

Dari hasil analisa SAP 2000 didapatkan reaksi :

- H = 0 kg
- V = 1179640,1 kg

- Luas alas kursi / bantalan

$$F = \frac{V}{\sigma' b} = \frac{1179640,1}{350} = 3370,4 \text{ cm}^2$$

$$b = \frac{F}{L} = \frac{3370,4}{100} = 33,7 \text{ cm}$$

Ambil $b = 100 \text{ cm}$

$L = 100 \text{ cm}$

- Tebal kursi dan bantalan

$$S_1 = 0,5 \times \sqrt{\frac{3 \times V \times L}{b \times f_y}}$$

$$= 0,5 \times \sqrt{\frac{3 \times 1179640,1 \times 100}{100 \times 4100}} = 14,69 \text{ cm}$$

Ambil $S_1 = 15 \text{ cm}$

- Garis tengah gelinding

Direncanakan jari-jari gelinding (r_1) = 10 cm

$$B = \frac{1}{2r_1} = 0,05$$

$$\gamma^2 = 0,75 \times 10^6 \times \frac{P \cdot \ell}{L}$$

$$= 0,75 \times 10^6 \times \frac{1179640,1 \cdot 0,05}{100}$$

$$= 442365037,5 \text{ kg/cm}^3$$

$$d_4 = \frac{0,75 \times 10^6 \times P}{L \times \gamma^2} = \frac{0,75 \times 10^6 \times 1179640,1}{100 \times 442365037,5}$$

$$= 20 \text{ cm}$$

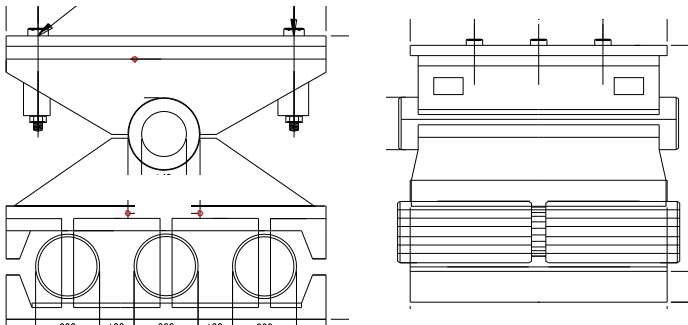
dipakai 3 buah gelinding, maka

$$d_4 = \frac{20}{3} = 6,667 \text{ cm}$$

maka diambil $d_4 = 7 \text{ cm}$

$$d_5 = d_4 + (2 \times 2,5) = 7 + (2 \times 2,5) = 12 \text{ cm}$$

d_6 ambil 5 cm



Gambar 5.5 Perletakan rol

- Perhitungan Pengangkuruan Perletakan Rol

$$H = 786426,733 \text{ kg}$$

Mutu baut A490

$$f_y = 825 \text{ MPa}$$

$$f_u = 1.035 \text{ MPa}$$

$$d_b = 22 \text{ mm}$$

Mutu pelat BJ-55

$$f_y = 410 \text{ MPa}$$

$$f_u = 550 \text{ MPa}$$

$$t_p = 50 \text{ mm}$$

- Kekuatan geser baut

$$\phi V_d = 0,75 \cdot m \cdot r_1 \cdot f_{ub} \cdot A_b$$

$$= 0,75 \cdot 1 \cdot 0,4 \cdot 1035 \cdot \frac{1}{4} \cdot 3,14 \cdot 2,2^2$$

$$= 11803,12 \text{ kg} \quad (\text{menentukan})$$

$$\begin{aligned}
 \phi R_d &= 0,75 \times 2,4 \times d_b \times t_p \times f_{up} \\
 &= 0,75 \times 2,4 \times 2,2 \times 5 \times 5500 \\
 &= 108900 \text{ kg}
 \end{aligned}$$

$$V_d = 11803,12 \text{ kg (diambil yang terkecil)}$$

Jumlah baut yang diperlukan

$$- n = \frac{V_u}{V_d} = \frac{786426,733}{11803,12} = 67 \text{ buah}$$

Syarat jarak baut berdasarkan segi pelaksanaan :

$$\begin{aligned}
 3d_b &\leq S \leq 15t_p \\
 1,5d_b &\leq S_1 \leq (4t_p + 100) \text{ atau } 200 \text{ mm} \\
 1,25d_b &\leq S_2 \leq 12t_p \text{ atau } 150 \text{ mm}
 \end{aligned}$$

Jadi :

$$\begin{aligned}
 66 \text{ mm} &\leq 80 \leq 750 \text{ mm} \\
 33 \text{ mm} &\leq 50 \leq 300 \text{ mm atau } 200 \text{ mm} \\
 27,5 \text{ mm} &\leq 50 \leq 600 \text{ mm atau } 150 \text{ mm}
 \end{aligned}$$

BAB VI

METODE PELAKSANAAN

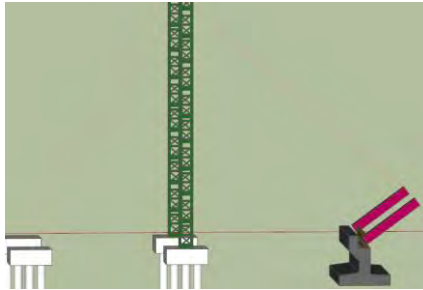
Metode pelaksanaan jembatan busur box baja yang menghubungkan desa Pulorejo-Blooto akan direncanakan dengan metode Staging analisis, adapun tahapan pekerjaannya antara lain:

1. Pengecekan Struktur Bawah
Pembangunan jembatan dimulai dari tahapan struktur bawah, pastikan kondisi abutment, perletakan serta bangunan bawah lainnya dalam keadaan baik.
2. Pekerjaan Persiapan Gelagar
Pekerjaan persiapan gelagar-gelagar baja, meliputi pekerjaan pelapisan cat anti karat serta pemotongan baja sesuai dengan kebutuhan
3. Pekerjaan pemasangan tongkang/ponton/berge
Merupakan salah satu sarana atau alat angkutan laut yang biasanya banyak digunakan untuk mengangkut barang, konstruksi bangunan baik barang padat (kayu log, mesin – mesin), curah (batubara), ataupun cair (minyak mentah/crude oil). Pada ponton ini terdapat beberapa alat berat serta tower crane yang berfungsi mempermudah pada saat pengangkutan baja.
4. Pemasangan shoring atau perancah
Berfungsi sebagai alat bantu untuk penyokong gelagar serta untuk mempermudah pada pekerja pada saat melakukan pembautan, pengelasan pada segmen sambungan baja.
5. Pabrikasi gelagar
Sebelum gelagar-gelagar terpasang, harus di pabrikasi dahulu, pembautan tiap segmen gelagar, serta dilakukan bending pada busur baja yang melengkung, proses penekukan atau pembengkokan menggunakan mesin bending.

6. Pemasangan frame

Adapun pemasangan frame dibagi menjadi beberapa segmen, antara lain:

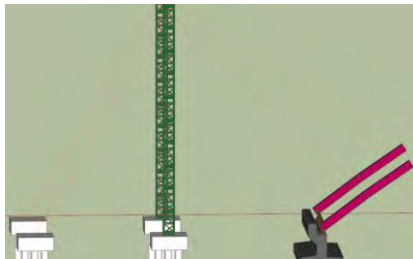
- Segmen 1



Gambar 6.1 Pemasangan segmen 1

Pemasangan busur baja untuk segmen 1 sepanjang $1\lambda = 5\text{m}$ yang di angkat dengan tower crane yang berada diatas ponton dan sudah dipabrikasi. Untuk mengimbangi berat yang terjadi maka busur tersebut ditarik dengan dengan kabel dengan bantuan temporary tower yang sudah disiapkan sebelumnya.

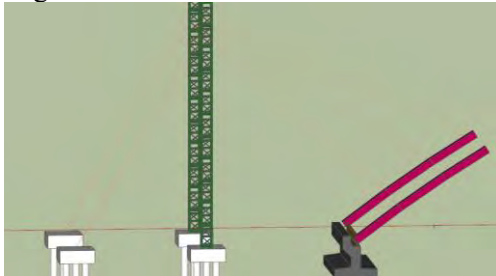
- Segmen 2



Gambar 6.2 Pemasangan segmen 2

Pemasangan busur baja untuk segmen 2 sepanjang $\lambda = 5\text{m}$ serta ditarik dengan kabel dengan bantuan temporary tower yang sudah disiapkan sebelumnya

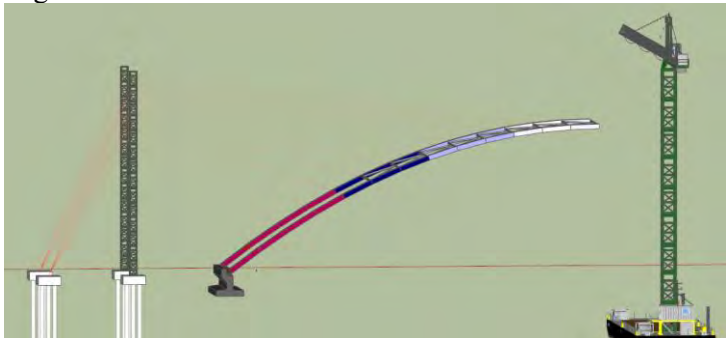
- Segmen 3



Gambar 6.3 Pemasangan segmen 2

Pemasangan busur baja untuk segmen 3 sepanjang $\lambda=5\text{m}$ serta ditarik dengan kabel dengan bantuan temporary tower yang sudah disiapkan sebelumnya

- Segmen 4-13



Gambar 6.4 Pemasangan segmen 4-13

Pemasangan busur baja untuk segmen 4-13 sama, untuk tiap segmen sepanjang $\lambda=5\text{m}$ serta ditarik dengan kabel dengan bantuan temporary tower yang sudah disiapkan sebelumnya

7. Pekerjaan deck jembatan



Gambar 6.5 Pemasangan deck jembatan

Setelah dilakukan pekerjaan pemasangan frame, gelagar serta penggantung maka dilakukan pekerjaan bekisting pada deck jembatan, lalu dilanjutkan dengan pekerjaan pembesian dan pengecoran pada lantai kendaraan.

8. Pekerjaan Finishing



Gambar 6.6 Pekerjaan Finishing

Setelah dilakukan pengecoran pada deck jembatan/ lantai kendaraan selanjutnya dilakukan pekerjaan pengaspalan sepanjang bentang jembatan, pekerjaan pembuatan marka, pemasangan tiang sandaran dan pemasangan lampu pada sepanjang bentang jembatan

Kontrol Penampang Cable:

Kabel penarik jembatan:

ASTM B-416 - 7 No 5 Awg.

fu = 1864 Mpa

f ijin = 0,7 x 1864 Mpa = 1304,8 Mpa

E = 19500 Mpa

Dimensi Kabel

n = 1 buah

D = 12,4 mm

As = $\frac{1}{4} \times 3,14 \times 12,4^2 \text{ mm} = 120,763 \text{ mm}^2$ Pn = $\varphi \cdot Fu \cdot As$ = 0,75 x 1864 Mpa x 120,763 mm²

= 168826,4246 N

= 168,825 kN

Tabel 6.1 Gaya Kabel Penarik Jembatan

Frame	Pu	Asc	n. kabel	Asc Actual	Pn	Status
	(kN)	(mm ²)	(strand)	(mm ²)	(kN)	
Berat 1 Segmen	270.5071731	207.317	2	241.526	315.1427	OK
Berat 2 Segmen	541.0143462	414.634	4	483.051	630.2853	OK
Berat 3 Segmen	811.5215192	621.951	6	724.577	945.428	OK
Berat 4 Segmen	1082.028692	829.268	8	966.103	1260.571	OK
Berat 5 Segmen	1352.535865	1036.585	10	1207.628	1575.713	OK
Berat 6 Segmen	1623.043038	1243.902	12	1449.154	1890.856	OK
Berat 7 Segmen	1893.550212	1451.219	14	1690.680	2205.999	OK
Berat 8 Segmen	2164.057385	1658.536	14	1690.680	2205.999	OK
Berat 9 Segmen	2434.564558	1865.853	16	1932.205	2521.141	OK
Berat 10 Segmen	2705.071731	2073.170	18	2173.731	2836.284	OK
Berat 11 Segmen	2975.578904	2280.487	20	2415.256	3151.427	OK
Berat 12 Segmen	3246.086077	2487.804	22	2656.782	3466.569	OK
Berat 13 Segmen	3516.59325	2695.121	24	2898.308	3781.712	OK

Kabel penahan temporary tower:

ASTM B-416 - 7 No 5 Awg.

$f_u = 1864 \text{ Mpa}$

$f_{\text{ijin}} = 0,7 \times 1864 \text{ Mpa} = 1304,8 \text{ Mpa}$

$E = 19500 \text{ Mpa}$

Dimensi Kabel

$n = 1 \text{ buah}$

$D = 14,5 \text{ mm}$

$A_s = \frac{1}{4} \times 3,14 \times 14,5^2 \text{ mm} = 165,13 \text{ mm}^2$

$P_n = \varphi \cdot F_u \cdot A_s$
 $= 0,75 \times 1864 \text{ Mpa} \times 165,13 \text{ mm}^2$
 $= 230851,689 \text{ N}$
 $= 230,85 \text{ kN}$

Tabel 6.2 Gaya Kabel Penahan Temporary Tower

Gaya	Pu	Asc	n. kabel	Asc Actual	Pn	Status
	(kN)	(mm ²)	(strand)	(mm ²)	(kN)	
Gaya Kabel 1	322.5428236	247.197	2	330.260	430.9232	OK
Gaya Kabel 2	318.9762164	244.464	2	330.260	430.9232	OK
Gaya Kabel 3	315.5827023	241.863	2	330.260	430.9232	OK
Gaya Kabel 4	312.3547784	239.389	2	330.260	430.9232	OK
Gaya Kabel 5	309.2854767	237.037	2	330.260	430.9232	OK
Gaya Kabel 6	306.3683227	234.801	2	330.260	430.9232	OK
Gaya Kabel 7	303.5972978	232.677	2	330.260	430.9232	OK
Gaya Kabel 8	303.5972978	232.677	2	330.260	430.9232	OK
Gaya Kabel 9	300.9668057	230.661	2	330.260	430.9232	OK
Gaya Kabel 10	298.4716417	228.749	2	330.260	430.9232	OK
Gaya Kabel 11	296.1069652	226.937	2	330.260	430.9232	OK
Gaya Kabel 12	296.1069652	226.937	2	330.260	430.9232	OK
Gaya Kabel 13	293.8682746	225.221	2	330.260	430.9232	OK

Lampiran

Revisi :

Afif Navir Revani, ST., MT

1. Lendutan dicantumkan

Nur Achmad Husin, ST.,MT

2. Detail Shear Connector
3. Urutan tahapan pelaksanaan
4. Ø pin untuk hangar
5. Pengaruh / prosedur perawatan pada struktur
6. Koefisien R pada gempa jembatan

Ir. Sungkono, CES

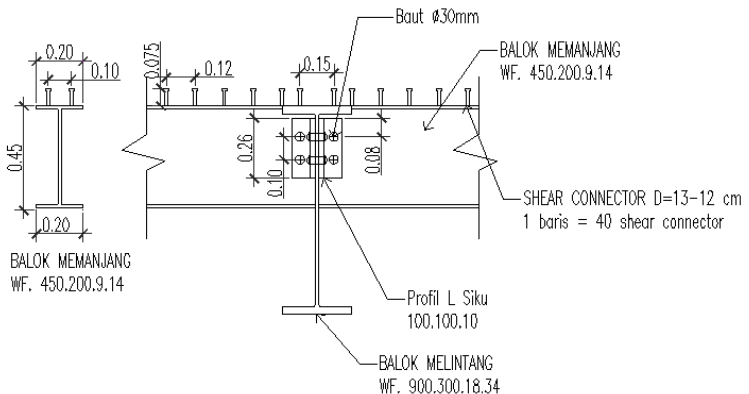
7. Hubungan gelagar melintang dengan box
8. Detail hangar disempurnakan
9. Gambar 13

Pembahasan:

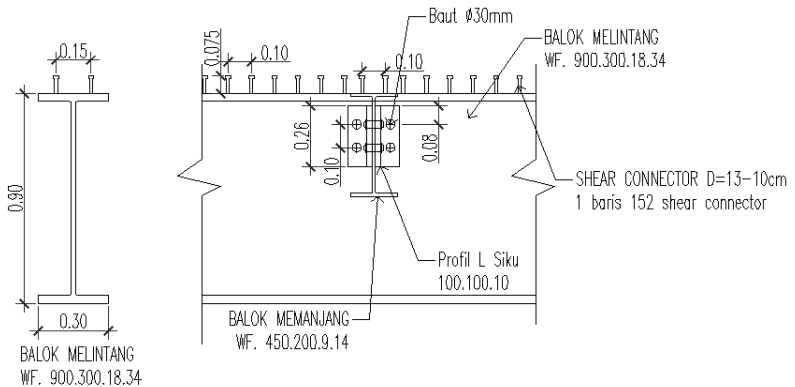
1. Gelagar Memanjang → Lendutan = $\delta = 0,568 \leq \delta_{ijin} = 0,63$

Gelagar Melintang → Lendutan = $\delta = 0,7 \leq \delta_{ijin} = 1,65$

2. Shear Connector Gelagar memanjang



Shear Connector Gelagar melintang



3. Urutan Tahapan pelaksanaan:

1. Pengecekan Struktur Bawah

Pembangunan jembatan dimulai dari tahapan struktur bawah, pastikan kondisi abutment, perletakan serta bangunan bawah lainnya dalam keadaan baik.

2. Pekerjaan Persiapan Gelagar

Pekerjaan persiapan gelagar-gelagar baja, meliputi pekerjaan pelapisan cat anti karat serta pemotongan baja sesuai dengan kebutuhan

3. Pekerjaan pemasangan tongkang/ponton/berge

Merupakan salah satu sarana atau alat angkutan laut yang biasanya banyak digunakan untuk mengangkut barang, konstruksi bangunan baik barang padat (kayu log, mesin – mesin), curah (batubara), ataupun cair (minyak mentah/crude oil). Pada ponton ini terdapat beberapa alat berat serta tower crane yang berfungsi mempermudah pada saat pengangkutan baja.

4. Pemasangan shoring atau perancah

Berfungsi sebagai alat bantu untuk penyokong gelagar serta untuk mempermudah pada pekerja pada saat melakukan pembautan, pengelasan pada segmen sambungan baja.

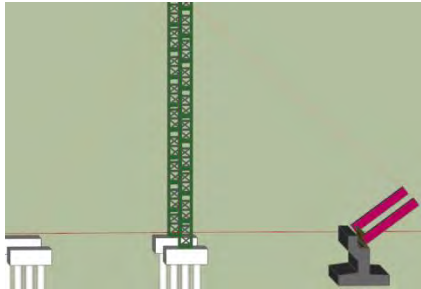
5. Pabrikasi gelagar

Sebelum gelagar-gelagar terpasang, harus di pabrikasi dahulu, pembautan tiap segmen gelagar, serta dilakukan bending pada busur baja yang melengkung, proses penekukan atau pembengkokan menggunakan mesin bending.

6. Pemasangan frame

Adapun pemasangan frame dibagi menjadi beberapa segmen, antara lain:

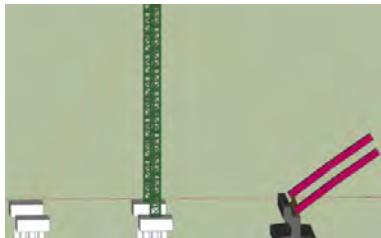
- Segmen 1



Gambar Pemasangan segmen 1

Pemasangan busur baja untuk segmen 1 sepanjang $1\lambda = 5\text{m}$ yang di angkat dengan tower crane yang berada diatas ponton dan sudah dipabrikasi. Untuk mengimbangi berat yang terjadi maka busur tersebut ditarik dengan dengan kabel dengan bantuan temporary tower yang sudah disiapkan sebelumnya.

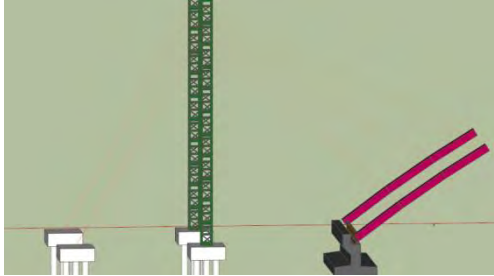
- Segmen 2



Gambar Pemasangan segmen 2

Pemasangan busur baja untuk segmen 2 sepanjang $\lambda=5\text{m}$ serta ditarik dengan kabel dengan bantuan temporary tower yang sudah disiapkan sebelumnya

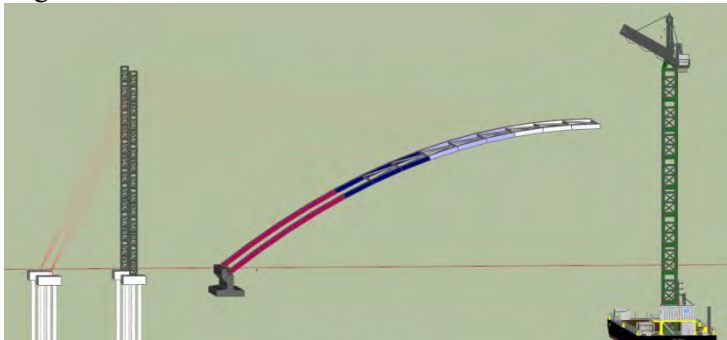
- Segmen 3



Gambar Pemasangan segmen 3

Pemasangan busur baja untuk segmen 3 sepanjang $\lambda=5\text{m}$ serta ditarik dengan kabel dengan bantuan temporary tower yang sudah disiapkan sebelumnya

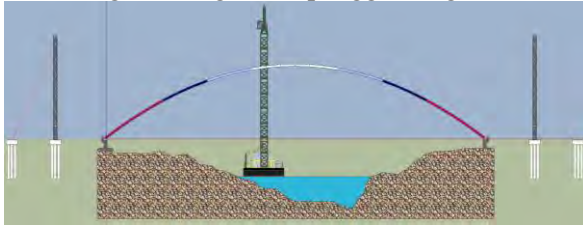
- Segmen 4-13



Gambar Pemasangan segmen 4-13

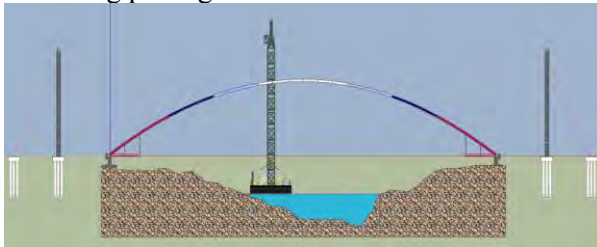
Pemasangan busur baja untuk segmen 4-13 sama, untuk tiap segmen sepanjang $\lambda=5\text{m}$ serta ditarik dengan kabel dengan bantuan temporary tower yang sudah disiapkan sebelumnya

7. Pemasangan Gelagar dan penggantung

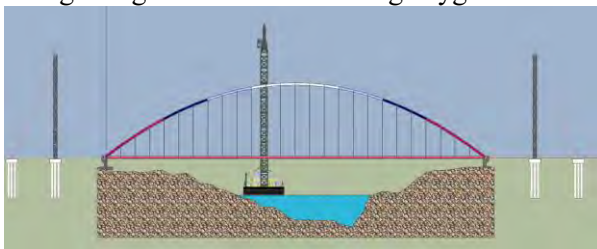


Gambar Pemasangan busur

Pastikan batang tekan busur sudah menyatu dengan baik, setelah itu lakukan pemasangan gelagar memanjang dan melintang per segmen.



Gambar Pemasangan gelagar dan penggantung awal
Pekerjaan ini di lakukan hingga semua elemen struktur saling menguatkan elemen 1 dengan yg lain.



Gambar pemasangan gelagar dan penggantung akhir

Pada tahap ini dilakukan hingga tahapan pemasangan gelagar dan penggantung selesai semua

8. Pekerjaan deck jembatan



Gambar Pemasangan deck jembatan

Setelah dilakukan pekerjaan pemasangan frame, gelagar serta penggantung maka dilakukanan pekerjaan bekisting pada deck jembatan, lalu dilanjutkan dengan pekerjaan pembesian dan pengecoran pada lantai kendaraan.

9. Pekerjaan Finishing



Gambar Pekerjaan Finishing

Setelah dilakukan pengecoran pada deck jembatan/ lantai kendaraan selanjutnya dilakukan pekerjaan pengaspalan sepanjang bentang jembatan, pekerjaan pembuatan marka, pemasangan tiang sandaran dan pemasangan lampu pada sepanjang bentang jembatan

1. Ø pin untuk hangar

Pada brosur OVM hanging cable pada D56mm *breaking force* nya didapatkan 1823 kN = 182,3 ton.

sedangkan pada brosur Houston struktur didapatkan 310 ton (1ton = 2000 lbs)

1 ton = 2204,62 lbs

$2000 \text{ lbs} / 2204,62 \text{ lbs} = 0,97$

$310 \text{ ton} \times 0,97 = 281 \text{ ton}$ (Ø pin = 4 13/16 in. = 12,22 cm)

sehingga perbandingan 50% antara 182,3 ton dengan 281 ton.

maka baut pin menggunakan Ø pin = 2 9/16 in. = 6,5 cm.

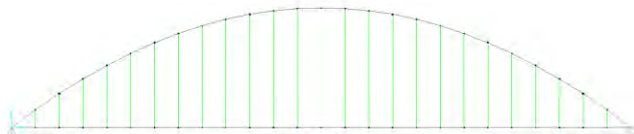
2. Pengaruh / prosedur perawatan pada struktur

Pengaruh / prosedur perawatan pada struktur lain yaitu

- Penutupan kegiatan lalu lintas pada jembatan.
- Pengencangan ulang baut-baut
- Pengecatan ulang pada lapisan baja untuk mencegah terjadinya karat
- Perawatan penggantung cable

Adapun beberapa kondisi kritis pada cable

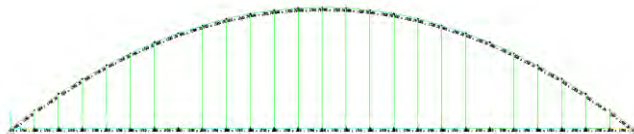
- Kondisi tanpa penggantung tengah



$P_{max} = 65,41 \text{ ton}$

$P_{min} = 34,81 \text{ ton}$

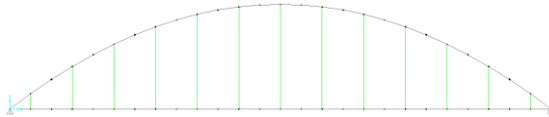
- Kondisi tanpa penggantung tepi



$P_{max} = 66,54 \text{ ton}$

$P_{min} = 34,84 \text{ ton}$

- Kondisi 50% tanpa penggantung



$P_{max} = 89,05$ ton

$P_{min} = 62,48$ ton

Jadi kondisi yang paling kritis adalah Kondisi 50% tanpa penggantung

3. Koefisien R pada gempa jembatan
RSNI Gempa Jembatan 2833:201X pada pasal 5.9.2 yang terletak pada zona 2, nilai $R/2$ tidak boleh kurang dari 1.
 R (pada tabel 6 RSNI - 2833:201X) = 1,5
 $R/2 = 1,5/2 = 0,75$
sedangkan nilai $R/2$ tidak boleh kurang dari 1, sehingga koefisien yang digunakan $R = 1$

Load Case Data - Response Spectrum

Load Case Name: GEMPA X Notes: Load Case Type: Response Spectrum

Modal Combination: DDCE GMC r1: 1. Directional Combination: SRSS
 SRSS GMC r2: 0. CDC3
 Absolute Periodic + Rigid Type: SRSS Absolute
 GMC Scale Factor: Double Sum

Modal Load Case: Use Modes from this Modal Load Case: MODAL

Load Type	Load Name	Function	Scale Factor
Accel	U1	gempa 500H	9.8
Accel	U1	gempa 500H	9.8

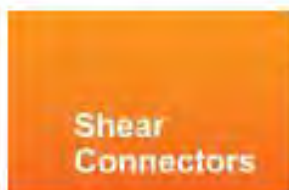
9,8 x I/R

Other Parameters: Modal Damping: Constant at 0.05

4. Hubungan gelagar melintang dengan box (terlampir gambar A3)
5. Detail hangar disempurnakan(terlampir gambar A3)
6. Gambar 13(terlampir gambar A3)

“Halaman ini sengaja dikosongkan”

LAMPIRAN



Shear Connectors

Headed Shear Connectors are used as an essential component in composite beam design and construction.

Shank Diameter (d)	Length (L) tolerance	Head Diameter tolerance	Minimum head height HT
14.0 +0.00 -0.40	43.0	31.7 ± 0.4	6.5
22.2 +0.00 -0.30	±1.0	34.9 ± 0.4	9.5

Material	LOW CARBON STEEL A514AS S1010 to S1020 Or K1010 to K1020		
Mechanical Properties	Tensile Yield Elongation Reduction of area	→ 410MPa (min) 345MPa (min)	27% 50% (min)

Shear Connectors		
Size	Part Number	Pack Size
13 X 50	ESC11-13-050	250
13 X 75	ESC11-13-075	150
13 X 100	ESC11-13-100	125
16 X 75	ESC11-16-075	125
16 X 100	ESC11-16-100	100
16 X 150	ESC11-16-150	75
19 X 75	ESC11-19-075	100
19 X 95	ESC11-19-095	75
19 X 100	ESC11-19-100	75
19 X 105	ESC11-19-105	75
19 X 115	ESC11-19-115	60
19 X 120	ESC11-19-120	60
19 X 127	ESC11-19-127	60
19 X 150	ESC11-19-150	50
19 X 178	ESC11-19-178	40
19 X 198	ESC11-19-198	40
22 X 100	ESC11-22-100	50
22 X 115	ESC11-22-115	50
22 X 150	ESC11-22-150	40
22 X 178	ESC11-22-178	40
22 X 198	ESC11-22-198	35



contoh →



Structural Steel Erection, Millwright/Processing
 & Fabrication Contractors

Distributed by: ANTEC ENGINEERING PTY LTD
 9 Chicago Avenue, Blackburn, NSW, 2148, Australia
 Ph: +61 (02) 9622-9622 | Fax: +61 (02) 9622-6199
www.antecc.com.au

Strand Tied-cable System

Strand tied-cable system is a kind of full anticorrosive system, which has much better anticorrosive quality. It also prevents the HDPE cover splitting by the stress effectively. The cable system has A and B types, A type is plain (or zinc-plating) steel strand cable system and is divided into two types, A1 and A2. A1 is single layer HDPE structure and A2 is double layer HDPE structure, which adopts the technology of low stress anticorrosive cable system. B type is epoxy coating steel strand cable system with double protective HDPE layers, which the internal layer is endless reinforcement structure. See the following structures:

Structure Diagram of Strand Tied-cable



Technical Parameters of Strand Cable

Type A1:

Model of Cable System	Nominal Sectional Area of Steel Strand (mm ²)	Unit Mass of Steel Strand (kg/m)	Unit Mass of Cable (kg/m)	Outer Diameter of Cable (mm)	Breaking Force (kN)
OVXGG15-7	9.8	7.7	8.5	58	1823
OVXGG15-12	18.8	13.2	14.2	72	3128
OVXGG15-19	28.6	20.9	22.4	88	4948
OVXGG15-22	30.8	24.2	25.8	97	5729
OVXGG15-27	37.8	29.7	31.8	109	7031
OVXGG15-31	43.4	34.1	36.3	110	8072
OVXGG15-37	51.8	40.7	43.4	123	9635

Type A2:

Model of Cable System	Nominal Sectional Area of Steel Strand (mm ²)	Unit Mass of Steel Strand (kg/m)	Unit Mass of Cable (kg/m)	Outer Diameter of Cable (mm)	Breaking Force (kN)
OVXGG15-7	9.8	7.7	9.2	62	1823
OVXGG15-12	18.8	13.2	15.4	80	3128
OVXGG15-19	28.6	20.9	23.5	96	4948
OVXGG15-22	30.8	24.2	27.0	105	5729
OVXGG15-27	37.8	29.7	33.1	114	7031
OVXGG15-31	43.4	34.1	37.8	118	8072
OVXGG15-37	51.8	40.7	44.9	131	9635

Electrical properties of Araweld® ground wire A.C. current 60 Hz.

Designation	Max. current at 20°C kA/1000 m	Current 20% of Capacity at 75°C	Inductive reactance Ω/km	Capacitive Reactance Ω/km	AC 50 Hz kV/cm
10F 3.0Aeg	3.727	2.212	0.450	0.196	0.990
10F 3.0Aeg	2.118	1.292	0.448	0.202	0.759
10F 3.0Aeg	2.296	1.398	0.456	0.207	0.771
10F 3.0Aeg	2.467	1.477	0.463	0.211	0.783
10F 3.0Aeg	4.078	2.528	0.449	0.218	0.984
10F 3.0Aeg	5.571	3.339	0.449	0.219	1.331
10F 3.0Aeg	0.750	0.451	0.455	0.195	0.907
10F 3.0Aeg	0.954	0.570	0.448	0.198	1.002
10F 3.0Aeg	1.162	0.692	0.450	0.201	1.114
10F 3.0Aeg	1.378	0.817	0.452	0.203	1.233
10F 3.0Aeg	1.594	0.943	0.454	0.205	1.358
10F 3.0Aeg	2.817	1.690	0.449	0.208	1.500
10F 3.0Aeg	3.940	2.365	0.449	0.211	1.640
10F 3.0Aeg	5.071	3.050	0.450	0.212	1.780
10F 3.0Aeg	0.950	0.570	0.450	0.202	1.000
10F 3.0Aeg	1.400	0.840	0.450	0.202	1.400
10F 3.0Aeg	1.850	1.110	0.450	0.202	1.850
10F 3.0Aeg	2.300	1.380	0.450	0.202	2.300
10F 3.0Aeg	2.750	1.650	0.450	0.202	2.750
10F 3.0Aeg	3.200	1.920	0.450	0.202	3.200
10F 3.0Aeg	3.650	2.190	0.450	0.202	3.650
10F 3.0Aeg	4.100	2.460	0.450	0.202	4.100
10F 3.0Aeg	4.550	2.730	0.450	0.202	4.550
10F 3.0Aeg	5.000	3.000	0.450	0.202	5.000
10F 3.0Aeg	5.450	3.270	0.450	0.202	5.450
10F 3.0Aeg	5.900	3.540	0.450	0.202	5.900
10F 3.0Aeg	6.350	3.810	0.450	0.202	6.350
10F 3.0Aeg	6.800	4.080	0.450	0.202	6.800
10F 3.0Aeg	7.250	4.350	0.450	0.202	7.250
10F 3.0Aeg	7.700	4.620	0.450	0.202	7.700
10F 3.0Aeg	8.150	4.890	0.450	0.202	8.150
10F 3.0Aeg	8.600	5.160	0.450	0.202	8.600
10F 3.0Aeg	9.050	5.430	0.450	0.202	9.050
10F 3.0Aeg	9.500	5.700	0.450	0.202	9.500
10F 3.0Aeg	9.950	5.970	0.450	0.202	9.950
10F 3.0Aeg	10.400	6.240	0.450	0.202	10.400
10F 3.0Aeg	10.850	6.510	0.450	0.202	10.850
10F 3.0Aeg	11.300	6.780	0.450	0.202	11.300
10F 3.0Aeg	11.750	7.050	0.450	0.202	11.750
10F 3.0Aeg	12.200	7.320	0.450	0.202	12.200
10F 3.0Aeg	12.650	7.590	0.450	0.202	12.650
10F 3.0Aeg	13.100	7.860	0.450	0.202	13.100
10F 3.0Aeg	13.550	8.130	0.450	0.202	13.550
10F 3.0Aeg	14.000	8.400	0.450	0.202	14.000
10F 3.0Aeg	14.450	8.670	0.450	0.202	14.450
10F 3.0Aeg	14.900	8.940	0.450	0.202	14.900
10F 3.0Aeg	15.350	9.210	0.450	0.202	15.350
10F 3.0Aeg	15.800	9.480	0.450	0.202	15.800
10F 3.0Aeg	16.250	9.750	0.450	0.202	16.250
10F 3.0Aeg	16.700	10.020	0.450	0.202	16.700
10F 3.0Aeg	17.150	10.290	0.450	0.202	17.150
10F 3.0Aeg	17.600	10.560	0.450	0.202	17.600
10F 3.0Aeg	18.050	10.830	0.450	0.202	18.050
10F 3.0Aeg	18.500	11.100	0.450	0.202	18.500
10F 3.0Aeg	18.950	11.370	0.450	0.202	18.950
10F 3.0Aeg	19.400	11.640	0.450	0.202	19.400
10F 3.0Aeg	19.850	11.910	0.450	0.202	19.850
10F 3.0Aeg	20.300	12.180	0.450	0.202	20.300
10F 3.0Aeg	20.750	12.450	0.450	0.202	20.750
10F 3.0Aeg	21.200	12.720	0.450	0.202	21.200
10F 3.0Aeg	21.650	12.990	0.450	0.202	21.650
10F 3.0Aeg	22.100	13.260	0.450	0.202	22.100
10F 3.0Aeg	22.550	13.530	0.450	0.202	22.550
10F 3.0Aeg	23.000	13.800	0.450	0.202	23.000
10F 3.0Aeg	23.450	14.070	0.450	0.202	23.450
10F 3.0Aeg	23.900	14.340	0.450	0.202	23.900
10F 3.0Aeg	24.350	14.610	0.450	0.202	24.350
10F 3.0Aeg	24.800	14.880	0.450	0.202	24.800
10F 3.0Aeg	25.250	15.150	0.450	0.202	25.250
10F 3.0Aeg	25.700	15.420	0.450	0.202	25.700
10F 3.0Aeg	26.150	15.690	0.450	0.202	26.150
10F 3.0Aeg	26.600	15.960	0.450	0.202	26.600
10F 3.0Aeg	27.050	16.230	0.450	0.202	27.050
10F 3.0Aeg	27.500	16.500	0.450	0.202	27.500
10F 3.0Aeg	27.950	16.770	0.450	0.202	27.950
10F 3.0Aeg	28.400	17.040	0.450	0.202	28.400
10F 3.0Aeg	28.850	17.310	0.450	0.202	28.850
10F 3.0Aeg	29.300	17.580	0.450	0.202	29.300
10F 3.0Aeg	29.750	17.850	0.450	0.202	29.750
10F 3.0Aeg	30.200	18.120	0.450	0.202	30.200
10F 3.0Aeg	30.650	18.390	0.450	0.202	30.650
10F 3.0Aeg	31.100	18.660	0.450	0.202	31.100
10F 3.0Aeg	31.550	18.930	0.450	0.202	31.550
10F 3.0Aeg	32.000	19.200	0.450	0.202	32.000
10F 3.0Aeg	32.450	19.470	0.450	0.202	32.450
10F 3.0Aeg	32.900	19.740	0.450	0.202	32.900
10F 3.0Aeg	33.350	20.010	0.450	0.202	33.350
10F 3.0Aeg	33.800	20.280	0.450	0.202	33.800
10F 3.0Aeg	34.250	20.550	0.450	0.202	34.250
10F 3.0Aeg	34.700	20.820	0.450	0.202	34.700
10F 3.0Aeg	35.150	21.090	0.450	0.202	35.150
10F 3.0Aeg	35.600	21.360	0.450	0.202	35.600
10F 3.0Aeg	36.050	21.630	0.450	0.202	36.050
10F 3.0Aeg	36.500	21.900	0.450	0.202	36.500
10F 3.0Aeg	36.950	22.170	0.450	0.202	36.950
10F 3.0Aeg	37.400	22.440	0.450	0.202	37.400
10F 3.0Aeg	37.850	22.710	0.450	0.202	37.850
10F 3.0Aeg	38.300	22.980	0.450	0.202	38.300
10F 3.0Aeg	38.750	23.250	0.450	0.202	38.750
10F 3.0Aeg	39.200	23.520	0.450	0.202	39.200
10F 3.0Aeg	39.650	23.790	0.450	0.202	39.650
10F 3.0Aeg	40.100	24.060	0.450	0.202	40.100
10F 3.0Aeg	40.550	24.330	0.450	0.202	40.550
10F 3.0Aeg	41.000	24.600	0.450	0.202	41.000
10F 3.0Aeg	41.450	24.870	0.450	0.202	41.450
10F 3.0Aeg	41.900	25.140	0.450	0.202	41.900
10F 3.0Aeg	42.350	25.410	0.450	0.202	42.350
10F 3.0Aeg	42.800	25.680	0.450	0.202	42.800
10F 3.0Aeg	43.250	25.950	0.450	0.202	43.250
10F 3.0Aeg	43.700	26.220	0.450	0.202	43.700
10F 3.0Aeg	44.150	26.490	0.450	0.202	44.150
10F 3.0Aeg	44.600	26.760	0.450	0.202	44.600
10F 3.0Aeg	45.050	27.030	0.450	0.202	45.050
10F 3.0Aeg	45.500	27.300	0.450	0.202	45.500
10F 3.0Aeg	45.950	27.570	0.450	0.202	45.950
10F 3.0Aeg	46.400	27.840	0.450	0.202	46.400
10F 3.0Aeg	46.850	28.110	0.450	0.202	46.850
10F 3.0Aeg	47.300	28.380	0.450	0.202	47.300
10F 3.0Aeg	47.750	28.650	0.450	0.202	47.750
10F 3.0Aeg	48.200	28.920	0.450	0.202	48.200
10F 3.0Aeg	48.650	29.190	0.450	0.202	48.650
10F 3.0Aeg	49.100	29.460	0.450	0.202	49.100
10F 3.0Aeg	49.550	29.730	0.450	0.202	49.550
10F 3.0Aeg	50.000	30.000	0.450	0.202	50.000
10F 3.0Aeg	50.450	30.270	0.450	0.202	50.450
10F 3.0Aeg	50.900	30.540	0.450	0.202	50.900
10F 3.0Aeg	51.350	30.810	0.450	0.202	51.350
10F 3.0Aeg	51.800	31.080	0.450	0.202	51.800
10F 3.0Aeg	52.250	31.350	0.450	0.202	52.250
10F 3.0Aeg	52.700	31.620	0.450	0.202	52.700
10F 3.0Aeg	53.150	31.890	0.450	0.202	53.150
10F 3.0Aeg	53.600	32.160	0.450	0.202	53.600
10F 3.0Aeg	54.050	32.430	0.450	0.202	54.050
10F 3.0Aeg	54.500	32.700	0.450	0.202	54.500
10F 3.0Aeg	54.950	32.970	0.450	0.202	54.950
10F 3.0Aeg	55.400	33.240	0.450	0.202	55.400
10F 3.0Aeg	55.850	33.510	0.450	0.202	55.850
10F 3.0Aeg	56.300	33.780	0.450	0.202	56.300
10F 3.0Aeg	56.750	34.050	0.450	0.202	56.750
10F 3.0Aeg	57.200	34.320	0.450	0.202	57.200
10F 3.0Aeg	57.650	34.590	0.450	0.202	57.650
10F 3.0Aeg	58.100	34.860	0.450	0.202	58.100
10F 3.0Aeg	58.550	35.130	0.450	0.202	58.550
10F 3.0Aeg	59.000	35.400	0.450	0.202	59.000
10F 3.0Aeg	59.450	35.670	0.450	0.202	59.450
10F 3.0Aeg	59.900	35.940	0.450	0.202	59.900
10F 3.0Aeg	60.350	36.210	0.450	0.202	60.350
10F 3.0Aeg	60.800	36.480	0.450	0.202	60.800
10F 3.0Aeg	61.250	36.750	0.450	0.202	61.250
10F 3.0Aeg	61.700	37.020	0.450	0.202	61.700
10F 3.0Aeg	62.150	37.290	0.450	0.202	62.150
10F 3.0Aeg	62.600	37.560	0.450	0.202	62.600
10F 3.0Aeg	63.050	37.830	0.450	0.202	63.050
10F 3.0Aeg	63.500	38.100	0.450	0.202	63.500
10F 3.0Aeg	63.950	38.370	0.450	0.202	63.950
10F 3.0Aeg	64.400	38.640	0.450	0.202	64.400
10F 3.0Aeg	64.850	38.910	0.450	0.202	64.850
10F 3.0Aeg	65.300	39.180	0.450	0.202	65.300
10F 3.0Aeg	65.750	39.450	0.450	0.202	65.750
10F 3.0Aeg	66.200	39.720	0.450	0.202	66.200
10F 3.0Aeg	66.650	39.990	0.450	0.202	66.650
10F 3.0Aeg	67.100	40.260	0.450	0.202	67.100
10F 3.0Aeg	67.550	40.530	0.450	0.202	67.550
10F 3.0Aeg	68.000	40.800	0.450	0.202	68.000
10F 3.0Aeg	68.450	41.070	0.450	0.202	68.450
10F 3.0Aeg	68.900	41.340	0.450	0.202	68.900
10F 3.0Aeg	69.350	41.610	0.450	0.202	69.350
10F 3.0Aeg	69.800	41.880	0.450	0.202	69.800
10F 3.0Aeg	70.250	42.150	0.450	0.202	70.250
10F 3.0Aeg	70.700	42.420	0.450	0.202	70.700
10F 3.0Aeg	71.150	42.690	0.45		

Closed Bridge Sockets

UF 600 'C' SERIES

Material Specification

- Sockets are ASTM A148 Grade 105/85
- All sockets are magnetic particle inspected at critical areas and proof tested on special order



Note: This drawing illustrates three grooves used on sockets 1 5/8" and larger. Sockets 1/2" and smaller use 1 groove and sockets 9/16" - 1 1/2" have two grooves.

Part #	Rope Diameter	Stand Diameter	Std. Take Up	A FOR TAKE-UP										
				Std.	48"	72"	84"	94"	B	C	d	D	J	
601	1/2	1/2	9	17	56	80	92	104	1 1/4	3 3/8	5/8	1 3/4	3 1/8	
602	3/8	9/16-5/8	9	19	58	82	94	106	1 5/8	4 3/8	3/4	1 7/16	3 1/4	
603	3/4 - 7/8	1 1/16 - 3/4	9	20	59	83	95	107	1 23/32	4 3/4	7	1 11/16	4 3/8	
604	1	1 3/16 - 7/8	9	22	61	85	97	109	1 29/32	5 3/16	1 1/8	2 1/16	5	
605	1 1/8	1 5/16 - 1	9	23	62	86	98	110	2 1/16	5 3/8	1 1/4	2 5/16	5 13/16	
606	1 1/4	1 7/16 - 1 1/8	12	27	63	87	99	111	2 1/8	6	1 3/8	2 9/16	6	
607	1 5/8	1 3/16 - 1 1/4	12	28	64	88	100	112	2 11/32	6 3/4	1 5/8	2 13/16	6 1/4	
608	1 7/8	1 5/16 - 1 3/8	12	30	66	90	102	114	2 1/2	7 3/16	1 3/4	3 1/16	6 7/16	
609	1 5/8 - 1 3/4	1 7/16 - 1 1/2	15	34	67	91	103	115	2 27/32	8 1/2	2	3 9/16	6 11/16	
610	1 7/8 - 2	1 9/16 - 1 3/4	15	36	69	93	105	117	3 5/32	9	2 1/4	3 13/16	7 7/8	
611	2 1/8 - 2 1/4	1 13/16 - 2	18	42	72	96	108	120	3 21/32	10 1/4	2 1/2	4 5/16	8 11/16	
612	2 3/8 - 2 1/2	2 1/16 - 2 1/4	18	45	75	99	111	123	4 5/32	11 1/2	2 3/4	4 13/16	10 1/8	
613	2 5/8 - 2 3/4	2 5/16 - 2 3/8	18	48	78	102	114	126	4 5/8	12 3/4	3	5 1/16	11 13/16	
614	2 7/8 - 3	2 7/16 - 2 5/8	21	53	80	104	116	128	4 27/32	13 3/8	3 1/4	5 5/16	12 13/16	
615	3 1/4	2 11/16 - 2 3/4	21	55	82	106	118	130	5 1/16	14 1/8	3 1/2	5 13/16	13 1/2	
616	3 1/2	2 7/8 - 3	21	58	85	109	121	133	5 17/32	15 1/4	3 3/4	6 13/16	15 1/4	
617	3 3/4	3 1/8 - 3 1/4	24	65	89	113	125	137	6 1/8	17 1/4	4	7 1/16	17 1/8	
618	(none)	3 3/8 - 3 1/2	24	69	93	117	129	141	6 29/32	18 5/16	4 1/4	7 5/16	18 1/4	
619	4	3 5/8 - 3 3/4	24	72	96	120	132	144	7 5/16	19 3/8	4 1/2	7 9/16	18 1/4	
620	4 1/4 - 4 3/8	3 7/8 - 4	24	75	99	123	135	147	7 23/32	20 7/16	4 3/4	7 13/16	20	
621	4 1/2 - 4 3/4	4 1/8 - 4 3/8	25	78	101	125	137	149	7 21/32	20	5	7 5/16	20	
622	5 - 5 1/4	4 1/2 - 4 3/4	27	81	102	126	138	150	7 29/32	21	5 1/4	7 9/16	21 1/4	
623	5 1/2 - 5 3/4	4 7/8 - 5 1/8	30	87	106	129	141	153	8 9/32	22	5 1/2	8 1/16	22 3/4	
624	6	5 1/4 - 5 1/2	31	91	108	132	144	156	8 17/32	23	5 3/4	8 9/16	24 1/8	

AN ULVEN COMPANY

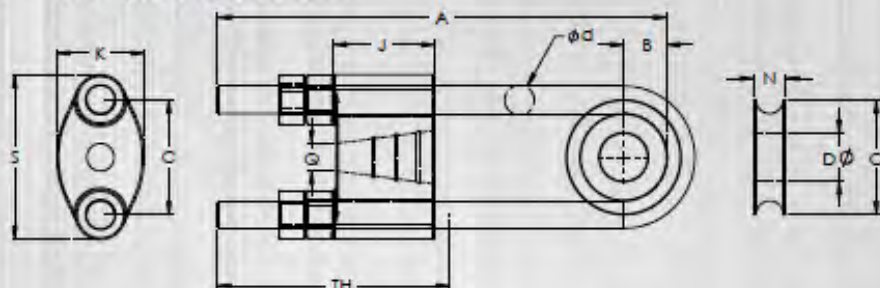
HOUSTON STRUCTURES INC

Closed Bridge Sockets

UF 600 'C' SERIES

Tolerances:

- Dimensions under 4": $\pm 1/8"$
- Dimensions over 4": $\pm 1/4"$
- Q (smaller sizes): $\pm 1/32"$
- D: $+0 - 1/32"$ in a self-colored socket



K	N	TH TAKE-UP					Q	s	WT. (LBS) TAKE-UP					Part #
		3/4"	48"	72"	84"	96"			3/4"	48"	72"	84"	96"	
2 1/8	1	10 1/2	49 1/2	73 1/2	85 1/2	97 1/2	5/8	4 3/4	9	16	20	22	24	601
2 1/2	1 1/8	10 3/4	49 3/4	73 3/4	85 3/4	97 3/4	5/8	5 1/8	14	26	32	35	38	602
3 1/4	1 7/16	11 1/4	50 1/4	74 1/4	86 1/4	98 1/4	1	6 1/2	20	45	56	61	67	603
3 3/4	1 9/16	11 1/2	50 1/2	74 1/2	86 1/2	98 1/2	1 1/8	7 3/8	40	62	75	82	89	604
4 1/8	1 11/16	11 3/4	50 3/4	74 3/4	86 3/4	98 3/4	1 1/4	8 1/8	55	82	99	107	115	605
4 11/16	1 13/16	15	51	75	87	99	1 1/2	8 5/8	68	98	118	129	139	606
4 3/4	2 1/16	15 1/2	51 1/2	75 1/2	87 1/2	99 1/2	1 5/8	9 3/4	100	142	170	185	199	607
5 1/4	2 3/8	15 3/4	51 3/4	75 3/4	87 3/4	99 3/4	1 3/4	10 7/16	124	173	206	222	238	608
4 3/8	2 9/16	19 1/4	52 1/4	76 1/4	88 1/4	100 1/4	2	11 11/16	108	167	209	231	250	609
7 1/4	2 13/16	19 3/4	52 3/4	76 3/4	88 3/4	100 3/4	2 1/4	13 1/8	249	323	377	404	431	610
8 1/8	3 1/16	23 1/4	53 1/4	77 1/4	89 1/4	101 1/4	2 1/2	14 3/4	356	439	506	539	573	611
8 3/4	3 5/16	23 3/4	53 3/4	77 3/4	89 3/4	101 3/4	2 3/4	16 1/2	485	586	667	707	747	612
8 1/8	3 11/16	24 1/4	54 1/4	78 1/4	90 1/4	102 1/4	3	18	610	730	826	874	922	613
10 5/8	3 15/16	27 3/4	54 3/4	78 3/4	90 3/4	102 3/4	3 1/4	19 1/4	776	903	1015	1072	1128	614
11 1/4	4 3/16	28 1/4	55 1/4	79 1/4	91 1/4	103 1/4	3 1/2	20 1/4	882	1029	1160	1225	1290	615
11 7/8	4 1/2	28 3/4	55 3/4	79 3/4	91 3/4	103 3/4	3 3/4	22	1180	1349	1499	1574	1649	616
13	4 3/4	32 1/4	56 1/4	80 1/4	92 1/4	104 1/4	4	24	1509	1679	1849	1938	2020	617
13 7/8	5	32 3/4	56 3/4	80 3/4	92 3/4	104 3/4	4 1/8	26	1621	1814	2006	2100	2199	618
12 3/4	5 1/4	33 1/4	57 1/4	81 1/4	93 1/4	105 1/4	4 1/2	27 5/8	2031	2247	2463	2571	2679	619
13 7/16	5 1/2	33 3/4	57 3/4	81 3/4	93 3/4	105 3/4	4 3/4	29 7/16	2444	2685	2925	3046	3166	620
14	5 3/4	36	57	82 1/2	94 1/2	106 1/2	5 1/4	30	2310	2566	2832	2966	3099	621
14 7/8	6	37	58	83 1/2	95 1/2	107 1/2	5 3/4	30 1/4	2910	3167	3461	3600	3755	622
16	6 1/4	40 1/2	58 1/2	84 1/2	96 1/2	108 1/2	6 1/4	31 1/2	3425	3667	3990	4151	4313	623
17	6 1/2	40 1/2	59 1/2	84 1/2	96 1/2	110 1/2	6 1/2	33	4165	4415	4788	4966	5120	624

AN ULVEN COMPANY

HOUSTON STRUCTURES INC

Galvanized Structural Strand (ASTM A586)



Minimum Breaking Strength in Tons of 2000 lbs.

Strand Diameter (in.)	Grade 1			Grade 2	Approx. Metallic Area (sq. in.)	Approx. wt/lb (lb.)
	Class A Coating Throughout	Class A Coating Inner Wires	Class B Coating Outer Wires	Class C Coating Outer Wires		
1/2	15.0	14.5	14.2	17.5	0.15	0.52
9/16	19.0	18.4	18.0	21.9	0.17	0.66
5/8	24.0	23.3	22.8	27.6	0.23	0.82
11/16	29.0	28.1	27.5	33.4	0.28	0.99
3/4	34.0	33.0	32.3	39.1	0.34	1.2
13/16	40.0	38.8	38.0	46.0	0.40	1.4
7/8	46.0	44.6	43.7	52.9	0.46	1.6
15/16	54.0	52.4	51.3	60.1	0.53	1.9
1	61.0	59.2	57.9	70.2	0.60	2.1
1 1/16	67.0	64.9	63.5	79.4	0.68	2.4
1 1/8	73.0	70.7	74.1	89.7	0.76	2.7
1 3/16	80.0	77.4	81.7	98.9	0.85	3.0
1 1/4	96.0	94.1	92.2	110	0.94	3.3
1 5/16	104.0	104.0	102.0	122	1.0	3.6
1 3/8	116.0	114.0	111.0	133	1.1	4.0
1 7/16	126.0	123.0	121.0	145	1.2	4.3
1 1/2	138.0	135.0	130.0	159	1.4	4.7
1 9/16	150.0	147.0	144.0	173	1.5	5.1
1 5/8	162.0	159.0	155.0	186	1.6	5.6
1 11/16	176.0	172.0	169.0	202	1.7	6
1 3/4	188.0	184.0	180.0	216	1.8	6.4
1 13/16	202.0	198.0	194.0	230	2.0	7.0
1 7/8	216.0	212.0	207.0	248	2.1	7.4
1 15/16	230.0	226.0	221.0	265	2.3	7.9
2	245.0	241.0	236.0	282	2.4	8.4
2 1/16	261.0	257.0	253.0	300	2.6	8.9
2 1/8	277.0	273.0	269.0	319	2.7	9.5
2 3/16	293.0	289.0	284.0	337	2.9	10
2 1/4	310.0	305.0	301.0	357	3.0	11
2 5/16	327.0	322.0	317.0	376	3.2	11
2 3/8	344.0	339.0	334.0	396	3.4	12
2 7/16	360.0	355.0	349.0	414	3.6	12
2 1/2	376.0	370.0	365.0	432	3.8	13
2 9/16	392.0	386.0	380.0	451	3.9	14
2 5/8	417.0	411.0	404.0	480	4.1	14
2 11/16	432.0	425.0	419.0	497	4.3	15
2 3/4	452.0	445.0	438.0	520	4.5	16
2 7/8	474.0	466.0	459.0	548	4.7	17
3	509.0	500.0	492.0	619	5.4	19
3 1/8	564.0	555.0	546.0	672	5.9	21
3 1/4	625.0	616.0	606.0	719	6.3	22
3 3/8	673.0	663.0	653.0	774	6.8	24
3 1/2	724.0	714.0	702.0	833	7.4	26
3 5/8	788.0	777.0	765.0	883	7.9	28
3 3/4	822.0	810.0	797.0	945	8.4	30
3 7/8	870.0	858.0	852.0	1010	9.0	32
4	925.0	911.0	897.0	1060	9.6	34

AN ULVEN COMPANY

HOUSTON STRUCTURES INC

BAB VII KESIMPULAN

7.1 Kesimpulan

Dari hasil Modifikasi Struktur Jembatan Pulorejo-Blooto Dengan system Busur Box Baja di Kota Mojokerto, dapat disimpulkan sebagai berikut:

1. Mutu baja profil yang di gunakan:
 - BJ 55 → $f_u = 550 \text{ Mpa}$
 $f_y = 410 \text{ Mpa}$Mutu beton $f_c' = 35 \text{ Mpa}$
2. Tebal Pelat = 250 mm
Tebal aspal = 50 mm
Tulangan melintang yang dipakai D16-200 mm
Tulangan memanjang D13-300mm
3. Kerb → $b = 1000 \text{ mm}$
 $h = 200 \text{ mm}$
Tulangan utama yang dipakai D12-150 mm
Tulangan susut D8-150mm
4. Tiang dan Pipa Sandaran
Jarak tiang sandaran = 2,5 m
Diameter luar (do) = 60,5 mm
Kolom Tiang Sandaran → $b = 20 \text{ cm}$
 $h = 20 \text{ cm}$
 $L = 1,2 \text{ m}$
Tulangan Utama Dipasang 4D12
Tulangan Geser diPasang $\Phi 8-90\text{mm}$
5. Gelagar Memanjang menggunakan profil WF 450.200.9.14
Shear Connector D = 13 mm dan L = 75 mm
Jumlah Shear connector = 81 buah (untuk 2 baris)
= 40 buah (untuk 1 baris)
dipasang dengan jarak 12 cm
Rasio = 0,73
Lendutan = $\delta = 0,568 \leq \delta_{ijin} = 0,63$
6. Gelagar Melintang menggunakan profil WF 900.300.18.34

Shear Connector D = 13 mm dan L = 75 mm
 Jumlah Shear connector = 304 buah (untuk 2 baris)
 = 152 buah (untuk 1 baris)

dipasang dengan jarak 10 cm

Rasio = 0,9

Lendutan = $\delta = 0,7 \leq \delta_{\text{ijin}} = 1,65$

7. Batang penggantung
 Profil yang dipakai OVMXG15-7 D= 56 mm
8. Profil Busur Atas (tengah) → box 1200 800 20
 Rasio = 0,62
 Profil Busur Atas (tepi) → box 1200 800 30
 Rasio = 0,83
 Profil Busur Bawah → box 1200 600 30
9. Ikatan Angin Atas (Vertikal) → WF 250 x 250 x 14 x 14
 Rasio = 0,8
 Ikatan Angin Atas (Diagonal) → 2L 200 200 15
 Rasio = 0,51
10. Ikatan Angin bawah (Diagonal) → 2L 200 200 15
 Rasio = 0,22
11. Perletakan berupa sendi - rol

7.2 Saran

1. Sebaiknya dimensi pada box batang Tarik minimal elevasi dengan gelagar melintang sama, dari dimensi box 1200x600x30 menjadi 1200 x 900 x 30, karena dimensi tinggi gelagar melintang 900 mm yang bertujuan menghindari terjadinya blok shear.

DAFTAR PUSTAKA

1. Standar Nasional Indonesia (SNI) T-02-2005. Standar Pembebanan Untuk Jembatan. Departemen Pekerjaan Umum.
2. Standar Nasional Indonesia (SNI) T-03-2005. Perencanaan Struktur Baja Untuk Jembatan. Departemen Pekerjaan Umum.
3. Standar Nasional Indonesia (SNI) T-12-2004. Perencanaan Struktur Beton Untuk Jembatan. Departemen Pekerjaan Umum.
4. Bridge Design Manual Bridge Management System (BMS). 1992. Departemen Pekerjaan Umum Dirjen Bina Marga.
5. Standar Nasional Indonesia (SNI) 2833-2013. Perancangan Jembatan Terhadap Beban Gempa
6. Ir. H. J. Struyk, Prof. Ir. K. H. C. W. Van Der Veen, dan Soemargono.1990. Jembatan.
7. Brockenbrough, R.L., Merritt, F.S. (2006) : Structural Steel Designer's Handbook, 4th edition, McGraw-Hill, New York

“Halaman ini sengaja dikosongkan”



Luki Dia Utariningrum, Penulis dilahirkan di Surabaya, 03 Nopember 1993, merupakan anak kedua dari empat bersaudara. Penulis telah menempuh pendidikan formal di TK Sholahuddin Wates Mojokerto, SD Negeri Wates VI Mojokerto, SMP Negeri 2 Mojokerto, SMA Negeri 2 Mojokerto. Setelah lulus dari SMA Negeri 2 Mojokerto tahun 2012, Penulis mengikuti ujian masuk Diploma III Teknik Sipil ITS dan diterima pada tahun 2012 dan terdaftar dengan NRP 3112.030.039. Di jurusan Teknik Sipil ini penulis mengambil bidang studi Bangunan Gedung. Penulis mengikuti ujian masuk Diploma IV LJ Teknik Sipil ITS dan diterima pada tahun 2015 dan terdaftar dengan NRP 3115.040.504. Penulis pernah aktif dalam beberapa kegiatan seminar dan pelatihan yang diselenggarakan oleh kampus ITS Manyar yaitu KOMPAS-ITS. Penulis juga aktif dalam kegiatan organisasi kampus, Selain itu penulis juga aktif dalam berbagai kepanitiaan dibeberapa kegiatan yang ada selama menjadi mahasiswa di Institut Teknologi Sepuluh Nopember.

“Halaman Ini Sengaja Dikosongkan”